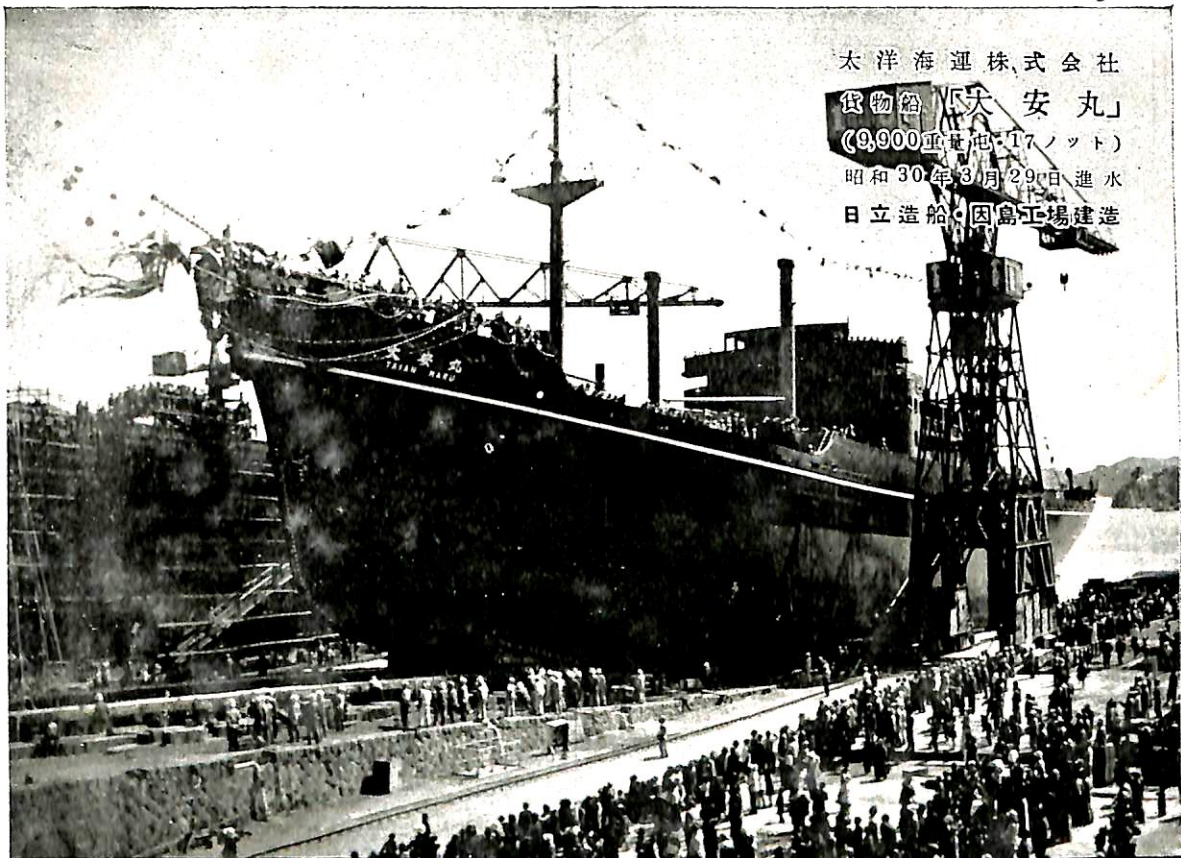


昭和五年三月二十日  
回二十九年三月二十日  
八二第三種船舶免稅  
新省別府行司  
昭和第三年四月二日  
四〇六年四月二日  
月十七日  
發印行

# 船舶

# 4

## VOL.28



大洋海運株式会社  
貨物船「天安丸」  
(9,900重噸・17ノット)  
昭和30年3月29日進水  
日立造船・因島工場建造

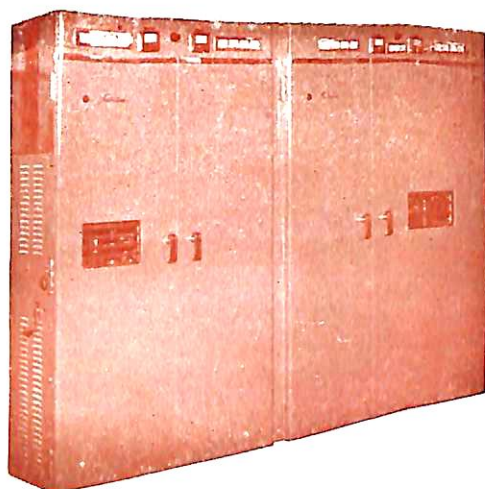


## 日立造船株式會社

天然社

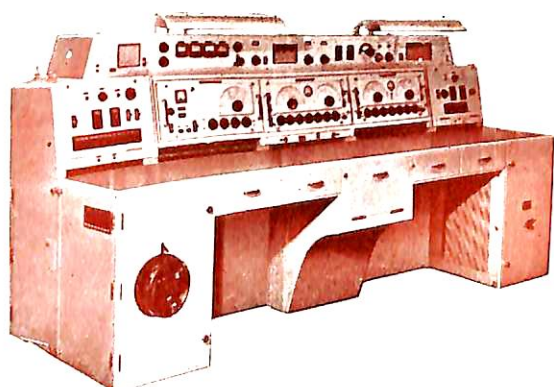
Toshiba

常に最高水準を征く



完璧の設計と  
伝統の技術

東芝の  
船舶用  
無線装置



東京芝浦電気株式会社

川崎市堀川町72 電話川崎2571~5

FIWCC

# 傳統を誇る 藤倉の

## 舶用電線

本社及  
深川工場  
沼津工場  
大阪販売店  
福岡販売店  
名古屋出張所  
駐在員  
東京都江東区深川平久町一ノ四  
沼津市本字七通り 360  
大阪市北区伊勢町二九ノ一  
福岡市上市小路十二大博通り  
名古屋市中村区広井町3-98  
札幌・仙台

### 藤倉電線株式會社



渦巻ポンプ。  
軸流ポンプ。  
タービンポンプ。  
ウォシントンポンプ。  
ターボ及シロッコ送風機  
軸流送風機



株式會社

# 荏原製作所

東京  
丸ビル

大阪  
朝日ビル

**AKASAKA  
DIESEL**

創業 50年  
50 B.H.P.—8,000 B.H.P.

船舶 主機 駆用  
船舶 駆用  
貨物 船用  
貨物 船用  
エンジン 駆動用  
一般 动力用

株式会社赤阪鉄工所

本社 東京都中央区銀座6丁目3TEL(03)1414-6439  
工場 静岡県焼津市中392の1 TEL焼津1010~1014

**BOILER COMPOUND**

△  
三ツ目印

**清罐劑  
罐水試驗器**

燃料節約・汽罐保護  
汽罐全能力發揮

内外化學製品株式會社

東京都品川區大井寺下町一四二一番  
電話 大森(06) 2464・2465・2466 番

**三機の船舶用機材**

**厨房設備**  
(ギャレ グリル・ベーカリー・バー)  
(喫茶・食品加工設備一式)

**冷藏設備**  
客船・貨物船・捕鯨船等何れにも適する様  
設計製作施工いたします

**洗濯設備**

客船

**三機工業**

社長 山田 熊男  
支店 大阪・名古屋・福岡・札幌・廣島  
工場 川崎・鶴見・中津

本社 東京都千代田區有樂町(三信ビル)  
電話 東京59局(59) 代表5251~(10) 代表5261~(10) 代表5351~(10)

伝統を誇る  
**電縫鋼管**

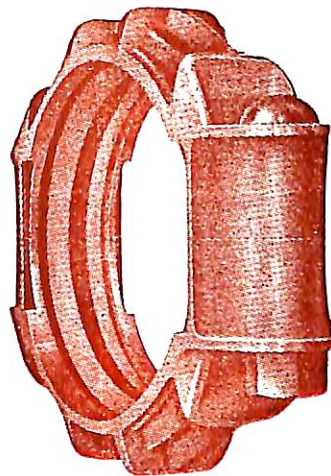
△  
斯 管  
瓦 空 気 予 热 管  
ボイラー チューブ  
ラジエーター チューブ  
其他 艇船用鋼管



日本ヴィクトリック株式会社

# VICTAULIC

LEAKTIGHT  
PIPE



FLEXIBLE  
JOINTS

販賣總代理

淺野物産株式会社  
東京都中央区日本橋小舟町  
二丁目（小倉ビル）  
電話茅場町(66)代表0188~10  
代表7531~5

大阪支店  
門司支店  
札幌支店  
支 店  
出 張 所  
大阪市東区瓦町二丁目瓦町三和ビル  
門司市棧橋通一、郵船ビル  
札幌市南一條西二丁目一八番地  
横濱・名古屋・神戸  
廣島・高松・福岡・八幡  
長崎・熊本・仙台・釧路

ABC

DE LAVAL

Aktiebolaget Separator  
Stockholm, Sweden

燃料油清淨機

ディーゼル油用

パンカー油用

潤滑油清淨機

ディーゼル

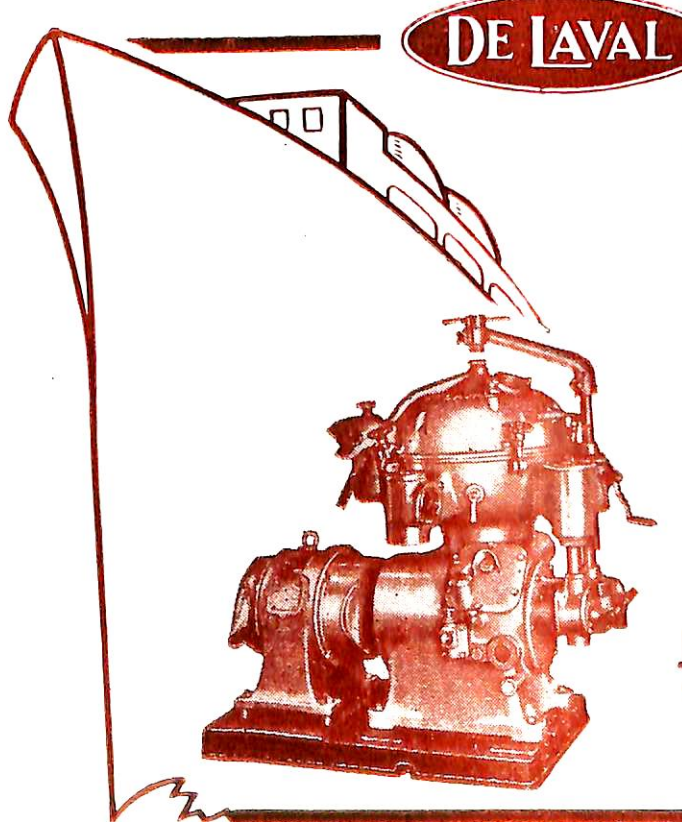
ターピン油用

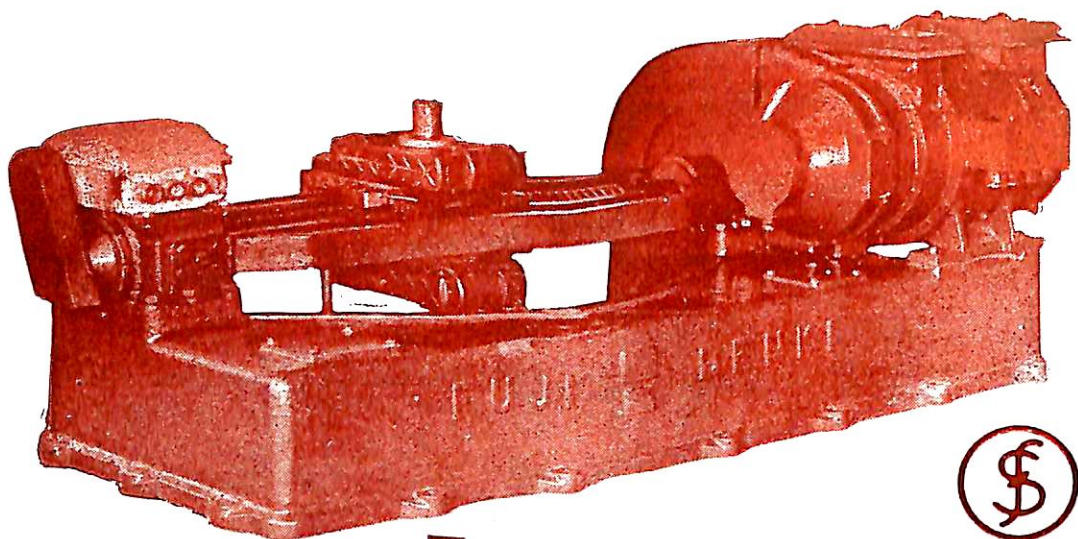
其他 各種遠心分離機

瑞典セパレーター会社日本總代理店

長瀬産業株式会社機械部

大阪市西区立斐堀南通1丁目1番地  
電話 新町(53)40-41-950-956  
東京都中央区日本橋小舟町2の3の12  
電話 茅場町 970  
京都市下京区吉野院船戸町50  
京都市下京区吉野院船戸町50





効率のよい  
軽量小型な  
据置付が容易です

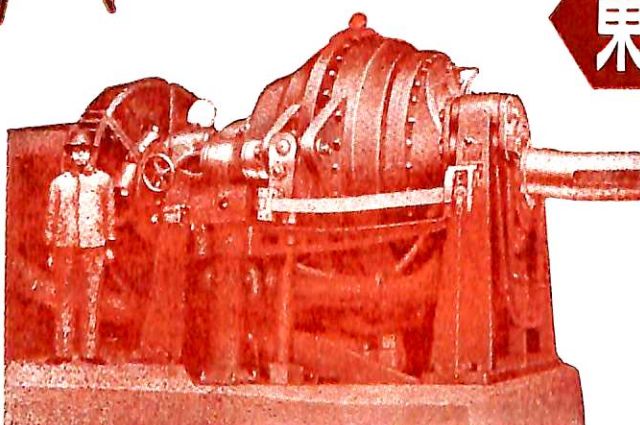
# 富士

捻子棒式

舵取機

富士電機製造株式會社

## 時代に先駆する



### 東京衡機の試験機

1. 試験機 一般機式
- A. 金属材料試験機 下定式
- B. 東京衡機フルーマー定器 馬力測定器
2. 電衡電機 一歪式
3. 電衡電機 二歪式
4. 電衡電機 三歪式

株式  
会社

# 東京衡機製造所



営業所所在地 東京都品川区北品川4-516電話大崎(49)1883~5

出張所 大阪市南区八幡町6 電話 南(75) 6140

福岡市雁林町10 電話 西(2) 0418

本社 東京都中央区日本橋江戸橋1-13電話(27)2178~9

# 船舶

第28卷 第4号

昭和30年4月12日発行

天 然 社

## ◇ 目 次 ◇

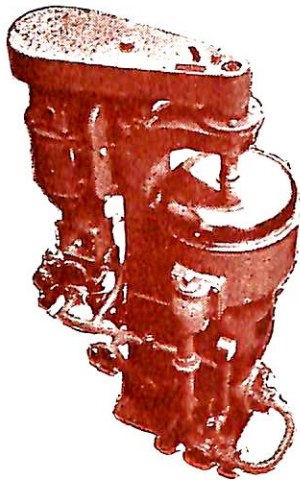
### 〔船体構造特集〕

- 波型隔壁の強度 ..... 永井保 ... (281)  
船体上部構造の損傷について ..... 山越道郎 ... (294)  
船体構造についての実船研究 ..... 川崎重工業株式会社造船設計部 ... (299)  
開口部の補強構造に関する試験研究概観(1) ..... 安藤文隆 ... (306)  
  
造船技術上の諸問題(6)(安定性能関係續稿) ..... 松本喜太郎 ... (313)  
軍艦はどう変りつつあるか?(その2) ..... 堀元美 ... (326)  
汽効化された日出丸の機関部について ..... 加藤繁 ... (331)  
水槽試験資料 51.—巡視船の模型試験 ..... 船舶編集室 ... (337)  
鋼船建造状況月報(2月) ..... 運輸省船舶局造船課 ... (341)  
舶用機器製造状況表(29年12月) ..... 運輸省船舶局関連工業課 ... (336)  
特許解説 ..... 大谷幸太郎 ... (343)

(写真) 高忠丸 ANDREAS V. 羽黒山丸 才八平戸丸 上佐海援丸

阿州丸 らぶらた丸 10吋新型レーダー用ブラウン管

パンカーオイルを常用するディーゼル船に……



## 新型シャープレス油清淨機

処理能力 (L/H)

機械 型式	タービン及 ディーゼル	ディーゼル 油	パンカーコンバーチャル 重油	Light Fuel oil	Heavy Fuel oil
油種	潤滑油				
No. 16-V	2000~2500	2500~3000	2000~2500	1500~2000	

米国シャープレス・コーポレーション日本総代理店

セントリフューガス・リミテッド日本総代理店

## 巴工業株式会社

本社 東京都中央区銀座1の6(皆川ビル内)  
電話京橋(56)8681(代表), 8682~5  
神戸出張所 神戸市生田区京町79(日本ビル内) 電話算合(2) 0288  
工場 東京都品川区北品川4の535 電話大崎(49) 4679・1372

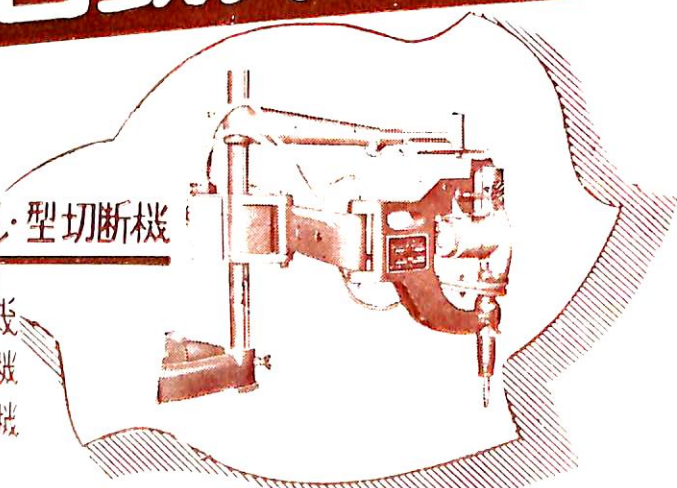
## IK自動ガス切断機

IK54号・ポータブル型切断機

IK1号5号・型切断機

IK12号30号・ポータブル切断機

ディーゼル・ポータブル切断機



## 小池酸素工業株式会社

本社 東京都墨田区太平町3の11 電話東新(63) 代表4181~5  
大阪営業所 大阪市西区阿波座下通1の19 電話新町(53) 4010

高忠丸  
(K O C H U M A R U)

船主 大同海運株式会社  
造船所 三菱造船・長崎造船所

長	(垂)	140.00m
幅	(型)	19.40m
深	(型)	12.20m
吃水		約 8.75m
總噸数		約 9,250噸
載貨重量		約 11,600噸
速力		約 19節
主機	三菱長崎ディーゼル機関 6 UEC 75/150型×1	
出船力		8,500 B.H.P.
級		NK, LR
起工		29—11—17
進水		30—3—10



8

つの

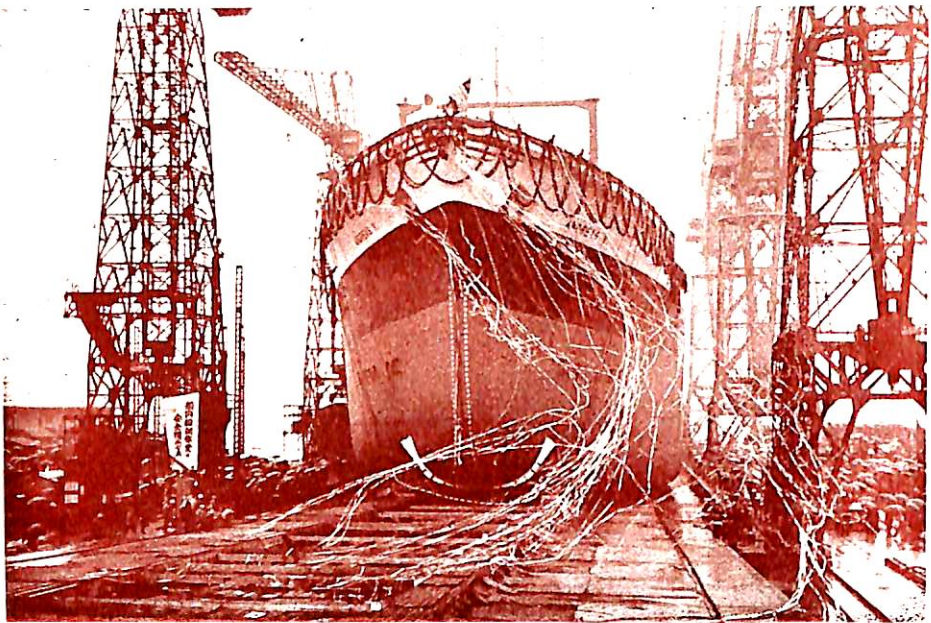
船舶塗料

- ビニレツクス (塩化ビニール樹脂塗料)
- LZプライマー (鉄面用下塗り塗料)
- CRマリーンペイント (ノンチヨーキング型合成樹脂塗料)
- シアナミドヘルゴン (高度のきび止塗料)
- 桧印船舶用調合ペイント (船舶用特殊塗料)
- 桧印無水銀鉄船々底塗料 (鉄船々底塗料)
- タイカリツト (防火塗料)
- ノンスリップ (滑止め塗料)

大阪市大淀区浦江北4  
東京都品川区南品川4



日本ペイント

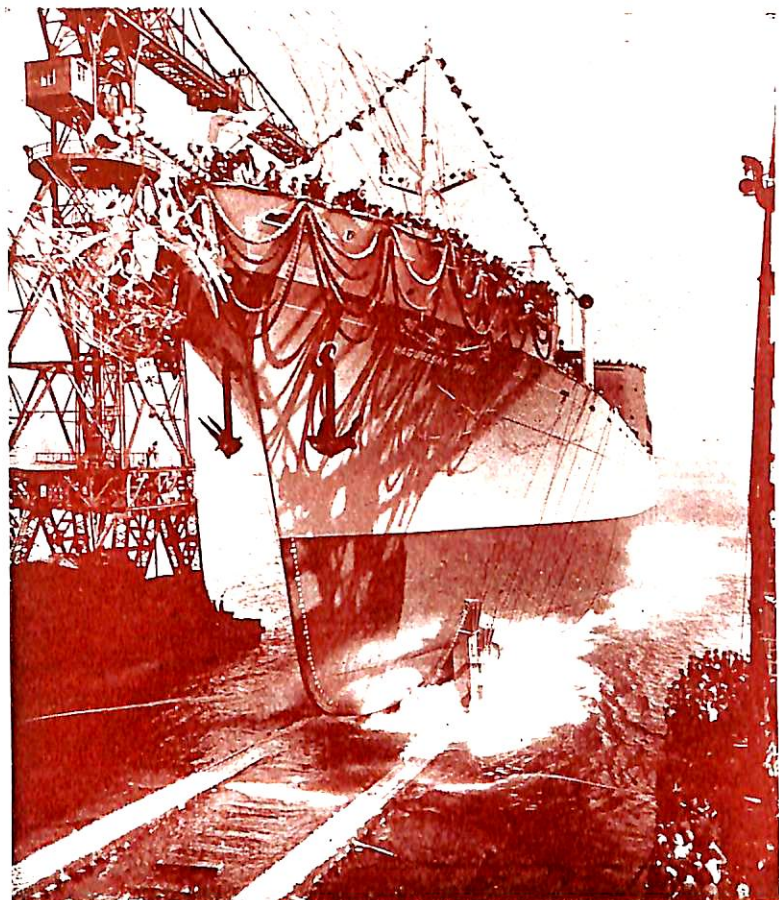


S/T "ANDREAS V."



← らふらた丸

“羽黒山丸”  
(HAGUROSAN MARU)



要目	船名 S/T "ANDREAS V."	らぶらた丸	羽黒山丸
全長	677'-10"	約 151.11m	
長 (垂)	640'-0"	140.00m	145.00m
幅 (型)	90'-0"	19.20m	19.60m
深 (型)	46'-0"	12.30m	12.50m
吃水	約 34'-7 3/4"	約 9.10m	8.32m
総噸数	約 22,000噸	約 8,800噸	7,200噸
載貨重量	約 34,200噸	約 11,100噸	10,600噸
速力	約 17.4節	16.25節	(満載) 18.5節
主機	タービン	三菱神戸ズルサー ギーゼル機関×1	三井B&Wギーゼル機関 (ターボチャージャー付)
出力	17,500 S.H.P	8,500 B.H.P.	11,250 B.H.P.
船級	L R	NK, LR	LR, NK
起工	29—10—20	29—11—13	29—11—6
進水	20—3—9	30—2—26	30—2—26
竣工	30—7—上旬予定	30—6—中旬	30—6—10予定
船主	TRANSOCEAN MARINE CORPORATION MON- ROVIA, LIBERIA	大阪商船株式会社	三井船舶株式会社

造船所 日本鋼管・鶴見造船所 新三菱・神戸造船所 三井造船・玉野造船所



二等旅客室

小型旅客船“第八平戸丸”

船主 平戸運輸株式会社  
造船所 有限会社 松浦鉄工造船所

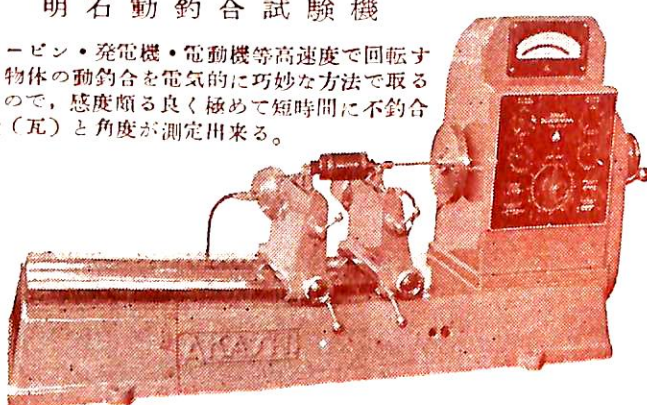
長	(垂)	22.80m	航 行 区 域	平水区域
幅	(型)	6.00m		(航海時間 1時間未満)
深	(型)	2.30m	主 機 械	阪神単衝四衝程ディーゼル機関×1
總 噸 数		141.83噸		
旅 客 定 員		二等 17名	出 力	220 B.H.P.
		三等 393名	速 度	11,402節
		合計 410名	(最高)	10節
			(航海)	
			進 水	20-- 2--15



材料試験機  
動約合試験機  
振動計  
電子顕微鏡  
ねじ転造盤

明石動約合試験機

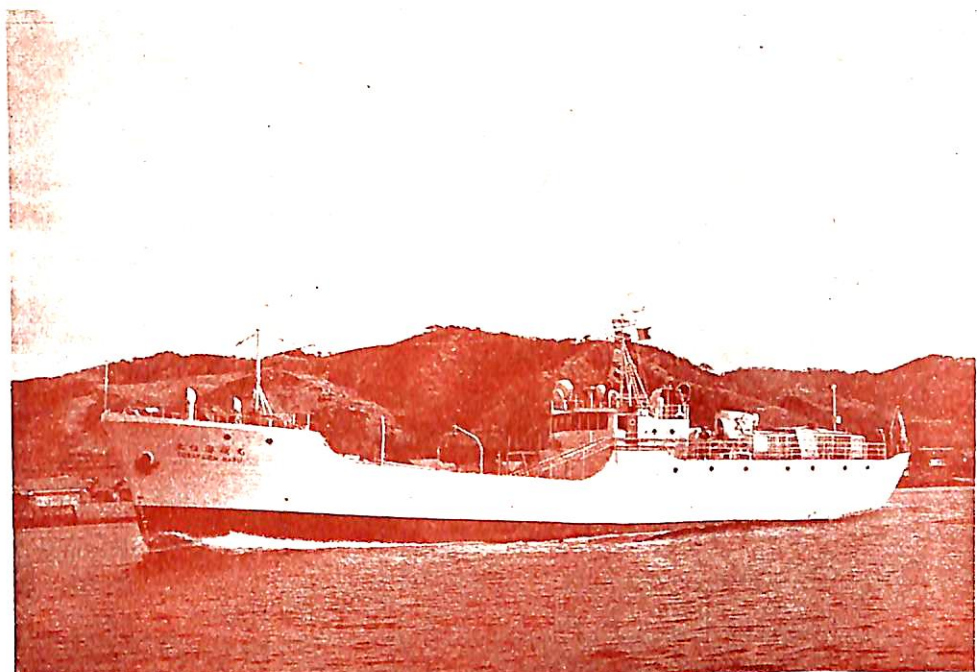
ターピン・発電機・電動機等高速度で回転する物体の動約合を電気的に巧妙な方法で取るもので、感度頗る良く極めて短時間に不釣合量(瓦)と角度が測定出来る。



# 株式会社 明石製作所

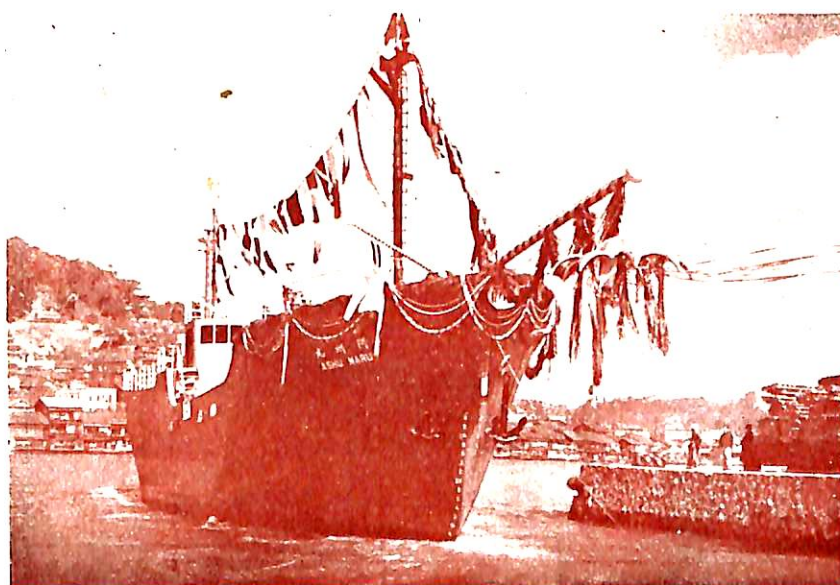
本社・工場 東京都品川区東品川五丁目一  
電話 大崎(49) 8146 (代表) 8147・8148・8149

大阪出張所 大阪市北区網笠町五〇 堂ビル611号  
電話 堀川(35) 0951・1820・6650・9815 (直通)



土佐海援丸（鋼製漁業実習船）

3—3—15竣工



阿州丸（鋼製漁業実習船）

\* 土佐海援丸の要目は下記  
阿州丸の要目と同じ

船主 德島県教育委員会

造船所 日立造船・向島工場

長	(漁船法による)	39.50m	速	力(試運転最高)	約 11.5節
幅	(型)	7.30m	乗組員	(教育及び生徒)	約 52名
深	(型)	3.70m	船級	遠海区域第3種漁船	
満載吃水		3.10m	起工		29 12 16
総噸数		約 320噸	進水		30 3 10
主機	ディーゼル機関×1		竣工	30—4—未予定	
出力	65.0 B.H.P.				



## 10吋新型レーダー用ブラウン管10KP7

日立製作所では既に今後の船舶にはなくてはならないレーダー装置の心臓部レーダー用ブラウン管について、5吋、7吋、12吋を生産しつつあつたが、この程映像面直径10吋の新品種を完成了した、これで今後はレーダー用ブラウン管も輸入に依存しなくともよくなつて来た。このレーダー用ブラウン管は、10吋丸型バルブを用い、電磁偏向、電磁集束方式のもので蛍光色は青、残光は特に長く、その色は黄である。10吋のものとしては我国ではじめての製品である。10KP7の概略仕様は下記の通りである。

外 形 全長448±10 mm.

バルブ最大径 267 $\phi$ ±3 mm

ネック直径 36.5 $\phi$ ±1.6 mm

有効直径 332 $\phi$ 以上

口 金 デュオデカル 5脚、キャビティキャップ

ヒーター 電圧 6.3V、電流 0.51~0.66A、

電極間静電容量 第一格子—他電極 6.5 $\mu\mu$ F

陰 極 — 他電極 5.  $\mu\mu$ F

最大陽極電圧 12,000V

最大第2格子電圧 770V

最大第一格子電圧 180V

ヒーター陰極尖頭電圧 125V以下

第一格子回路抵抗 1.5MΩ以下

船内裝備  
設計と施工  
日本橋  
高島屋 裝飾部  
電話千代田(27) 4,111

カネガフチ  
ディーゼル

漁船用 120-850 HP  
動力用 25-850 HP  
自家発電用 120-850 HP

鐘淵ディーゼル工業株式会社  
東京都墨田区横田町2丁目  
電話 東京 (68) 代表 5391~3番

本邦に於ける唯一の内燃機関専門雑誌。1月創刊号発行以来遂月好評賛々、  
特に船舶機関関係者の御購読を期待します。

4月号

新製品、川崎M.A.N.VV20/30型 4サイクル ディーゼル機関に就て	川崎重工	雄光市二郎郎
2サイクル機関の性能に就て	東京発動機	宗維中
原子動力の諸問題	運輸技術研究所	田田岡
軽量大馬力高速ディーゼル機関の新傾向	三菱日本重工	金健次
農発の推移に就て	機械試験所	海上
ジェットエンジンの現勢	日本ジェットエンジン	今井兼一
2サイクル排気ターボ過給機付 STORK機関	リンデテベス会社	秋山武
英國ガスタービン鋼の発展とその特性		林弘太郎
=技術スナップ=		
微粉炭燃焼ガスタービン		
内燃機関のネジ結合と2硫化モリブデン潤滑剤		
サーフェスイグニションの研究のための補助点火栓		
=電装品の頁=		
機関始動用スターターに関する諸問題	沢藤電機	杉本茂久治
自動車用電圧電流調整機に就て	日本電装	加藤秀太郎
=海外文獻=		
舶用ガスタービンの燃料系統と制御	運輸技術研究所	三輪光砂
ジェットエンジンの非定常性能の測定	機械試験所	山本勝郎
翼列の研究	運輸技術研究所	山内正彦
アメリカで定めた燃焼関係用語の定義	"	青木和彥
=連載講座=		
内燃機関の熱力学(4)	名古屋大学	小林明豪
ガスタービン(4)	慶應大学	佐藤嘉
=新製品紹介= 横浜M.A.N.K10Z78/140, LAB型ディーゼル機関		

5月号 (4月15日発売)

L12FH 17S型 700馬力 4サイクルディーゼル機関に就て	新潟鉄工所	忠砂男
小型ガスタービン	運輸技術研究所	一直明博
過給機付4サイクルディーゼル機関の性能	石川島芝浦タービン	作誠
ディーゼル機関の掃気に就て	大阪市立大学	泰作
高過給4サイクルディーゼル機関 JB8A型)に就て	新三菱重工神戸	良康
カソリン機関の燃焼に関する1実験	富士精密	大吉
小型機関のラッピング運転に就て	大阪府立工業奨勵館	東田
ジェットエンジンの燃料制御系統	石川島重工	塔本
横浜M.A.N.K10Z78/140LAB型ディーゼル機関に就て	三菱日本重工	大島章
陸船用ディーゼル機関軸承の故障と修理	住吉鉄工	貝谷
トヨツに於けるディーゼル機関車	鐵道技術研究所	長谷川
最近の精密鋳造の精度に就て	石川島重工	中村
船舶用ディーゼル機関クラランク軸の強度計算	日本ジェットエンジン	三輪
原子力発電に就て	廣島大学	原栄
=連載講座=		
内燃機関の熱力学(5)	名古屋大学	小林明豪
ガスタービン(5)	慶應大学	佐藤嘉
=海外文獻=		
点火栓を2個用いた表面点火の解説	運輸技術研究所	青木和彦
ノックの原因と思われるO-H基の連載反応	日本大学	齊間厚
翼列の2次の流れの観察研究	運輸技術研究所	大塚新太郎

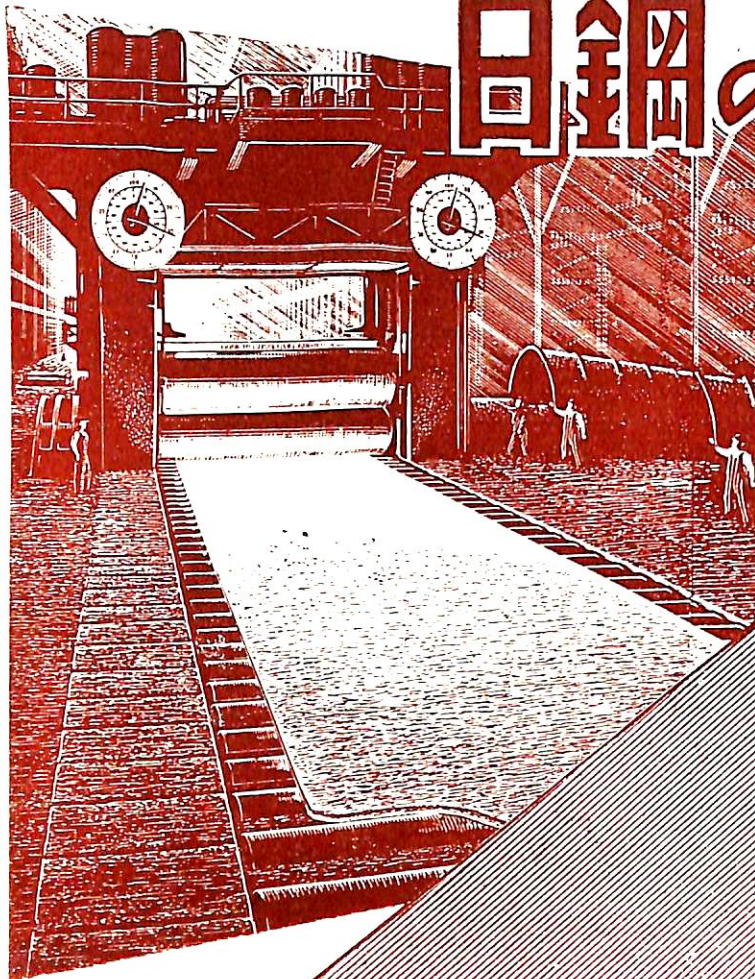
定価 1ヶ月 150円 (税込)

半年 800円 (税込)

1年 1500円 (税込)

上記雑誌、書店品切の節は直接弊社へ御申込下さい。尚1月創刊号、2月号、3月号、4月号共に弊社に在庫あり、  
(定価 各 150円)

# 日鋼の厚鋼板



キルド鋼板・セミキルド鋼板・リムド鋼板  
巾・7呎～15呎 (2.5米～4.5米)  
厚さ・12耗～200耗 (1.2吋～8吋)  
長さ・30呎～60呎 (9米～18米)

厚み12耗以下6耗まで如何ような寸法にでも御求めに応じます。

日本製鋼所

東京都中央区京橋1の5・大正海上ビル  
支社 大阪市北区堂島中1の18  
営業所 福岡市天神町・札幌市南一条

# 波型隔壁の強度

永井 保

横濱國立大學助教授

最近建造される油槽船の隔壁には波型が大巾に採用されて來た<sup>1)</sup>。これを波型隔壁 (Corrugated BHD., Cranked PL. BHD.) とよんでいる (第1圖参照)。

ロイドの基準では波の深さ 100 mm 以上一邊の長さ 635mm 以下斜邊の角度 45° 以上となつてゐる。この際設計者の立場として波型隔壁の強度に関する知識の保有は波の型あるいは大きさ決定に當り大變に氣強い。波型隔壁の採用理由の第一は普通隔壁では强度上防撲材を必要とするがこれは板自身防撲材の役目をもつてゐること、第二に防撲材附板等があつてもその數は非常に少ないので普通隔壁よりも表面積がずつと小さい (防撲材を多く用いるなら波板本來の使命に反することになる)。從つて油水槽の仕切に使われる時溝掃に便利でまた防錆保存に有利になる。以上二大理由により油槽船の縦横油密隔壁に使う外貨物船の深水船の隔壁にもなつてゐる。波型隔壁の波には用途により水平垂直の二様がある。油槽船では縦隔壁は船體縦強力部材に算入する關係上水平波を用いる。横隔壁は何うでもよいが縦横隔壁交叉點の工作法の簡易性と甲板荷重を支えるのに有利な理由のため垂直波が用いられる。そして船側水壓の支えは船側との間に少し平らな部分を作つて防撲材を取付け一種の特設肋骨の役目をさせているのをみる。これはまたビルジの曲つた外板と波板の接接上の困難性をさけている。さて波板<sup>2)</sup>が普及して來た今日前述の二大理由以外にさらに强度上にも有利な點がありそうである。これについては本邦においても學者技術者により早くから論ぜられて來たり<sup>3), 4)</sup>。それらの申注目すべき結果は (1)  $I/y$  を等しくして比較實驗を行つた際波板はひどい座屈を起して破壊しているのに普通隔壁の方は殆んど變形しなかつた、(2)  $I$  を等しくした時發生した最大應力は計算上の  $I/y$  が波板の方が普通隔壁より 15% 大きいにもかかわ

らずほぼ等しい。また中央部の撲みは波板の方が 15% も大きい。但しこの際波板と普通隔壁の重量比は 68:100 で板の方が少い。もし撲みを等しくすれば 80:100 にてやはり波板の方が少い。以上得られた結果も兩隔壁における縦横端縁の拘束度の不同により嚴密性の程度が不明である。

## 第1章 曲げ強度

(單純曲げ實驗との比較)

非座屈動作: — 第2圖にある標準の波板を示す。ここで  $b$  = フランジの巾,  $c$  = ウエブの長さ,  $d$  = 波の頂底間深さ (板の中心線間の),  $t$  = 板厚,  $p$  = 波のピッチ

單一波型 (第2圖) につき次の幾何學的性質を計算しておく。  $\frac{t}{d}$  が小さい故中性軸に關して断面積  $A = 2t(b+c)$ , 面積モーメント  $H = \frac{td}{2}(2b+c)$ , 断面係數  $Z = \frac{td}{3}(3b+c)$ , 二次モーメント  $I = \frac{td^2}{6}(3b+c)$  となる。これを基にし曲げ理論で計算した彈性應力および撲みは單純曲げを受ける鋼<sup>5)</sup>あるいは Al 合金<sup>6)</sup>の波板實驗とよい一致を示す。第3圖に  $\frac{b}{c}$  に對し  $\frac{I}{td^2}$  の理倫値並びに試験片 13 個の撲みより求めた實驗値とを示す。最外表面應力が比例限  $f_{pl}$  に到つた時の曲げモーメント  $M_{pl}$  は單純曲げ理論の應用出来る最大限度であり  $M_{pl} = Zf_{pl}$  となる。實際上波板の剪斷剛性は餘り重要ではない。もし  $F$  を波型一個の波板において曲げの中性軸に垂直な断面上に作用する剪斷力とすればウエブ内の平均および最大剪斷應力は  $q_{mean} = \frac{F}{2td}$ ,  $q_{max} = \frac{F}{2td} \times \frac{H}{Z}$  で與えられる。波波が  $M_{pl}$  以上の曲げモーメントをうける時板の抵抗モーメントの計算をするには板材料の應力と歪關係の知識を必要とする。さらに山谷の壓縮をうけるフランジ面上では最大纖維歪のある限界値で座屈を生ずる。そこで與えられたモーメントに對する最大歪變化をかなりの嚴密さで豫測することが重要になる。古典理論では應力と歪關係は完全彈性と完全塑性の兩域を示す 2 本の直線で示される。これは歪硬化現象をもたぬか降伏應力  $f_y$  が比例限  $f_{pl}$  より少しし

1) N. Carter Modern Tanker Construction  
N.E.C. Vol. 66 1953

\*1 波型隔壁を便宜上略して波板と以下呼ぶことにする。

2) 渡邊惠弘「Corrugated BHD. の強度について」昭和 25 年播磨造船婦接研究會

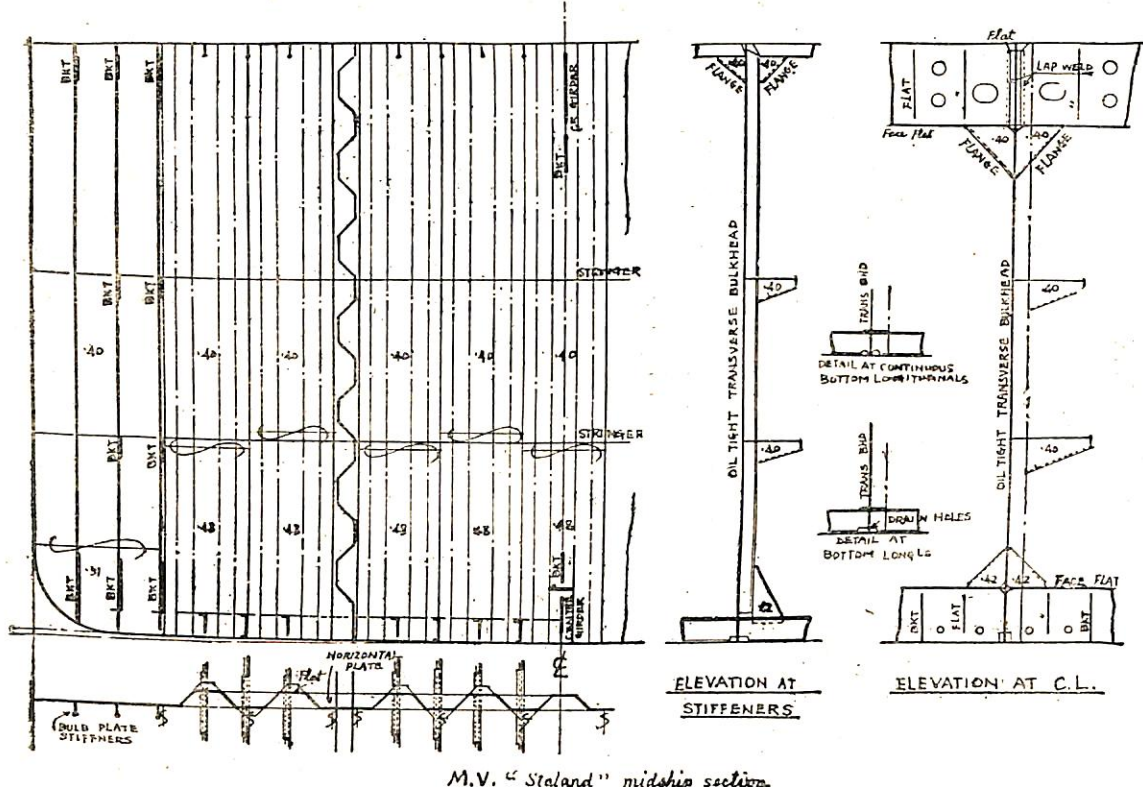
3) 造船研究協会 昭和 27 年度研究題目「波板の有効幅に關する研究」

4) 山口博, 宮長一志「波型隔壁の強度」三井造船技術第 1 號 昭和 27 年

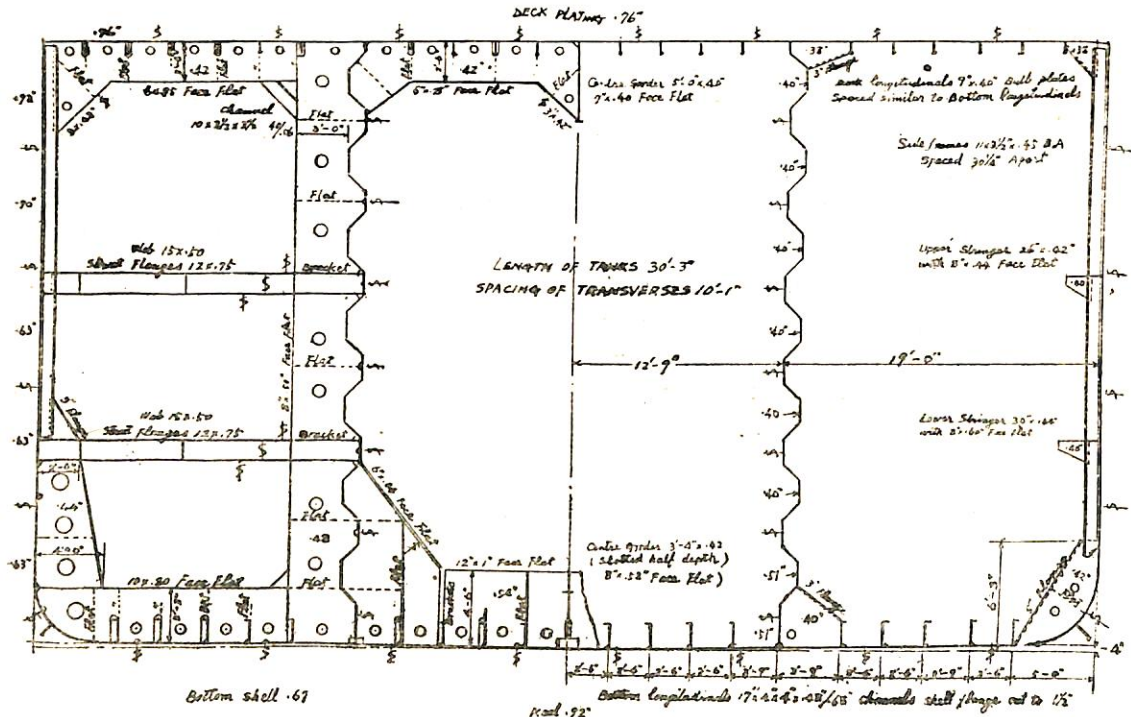
5) 永井保, 造船協会會誌 317 號掲載豫定昭和 30 年

6) J. B. Caldwell 「Bending strength of corrugated plate」 Nov. 7, 1952 Engineering

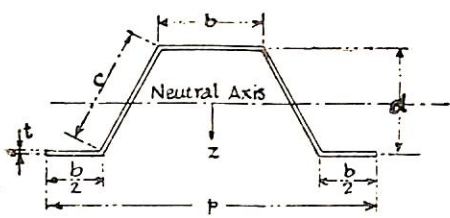
### Oiltight transverse bulkheads



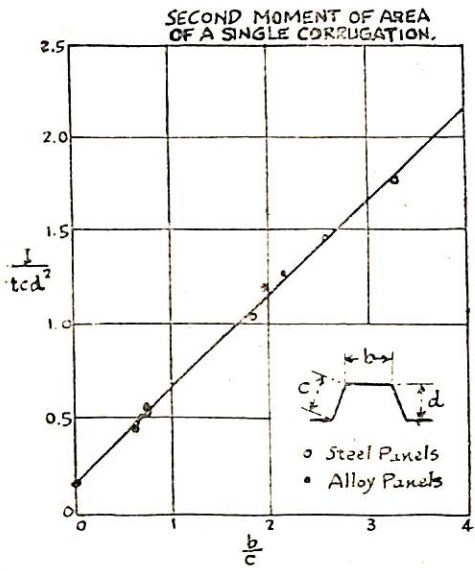
M.V. "Sialand" midship section



# 第 1 圖



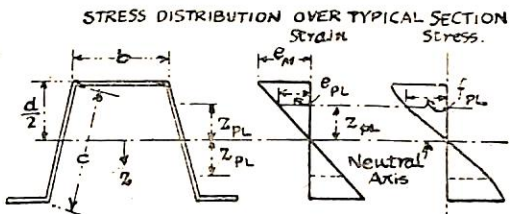
第 2 圖



第 3 圖

か大きくないような構造用軟鋼に對しては充分嚴密と思われる。しかし Al-Mg 合金の如き材料に對して（これは一般に船體構造用軽合金には最も適している）は彈性から塑性への變化は緩慢である、そこで抵抗モーメントの計算に理想化された直線關係を使用することは最大纖維歪を過小評價することになる。積分可能な形に應力と歪との關係を表現するため次の如くおく  $0 < f < f_{PL}$  の時  $f = Ee$ ,  $f_{PL} < f_y$  に對して  $f = f_y - \frac{E}{a} \exp[-a(e - e_{PL})]$  ここで  $f$  と  $e$  は應力と歪、 $E$  はヤング率、 $e_{PL}$  は比例限  $f_{PL}$  に對する歪、 $a$  は無次元數、そして  $f_y$  は應力と歪曲線の傾斜がそこで零になる應力と定義する。これは鋼並びに Al 合金に對し降伏點と名付けられよう。以上の表現にて波型断面の抵抗モーメントを計算するには更に材料は壓縮引張兩側で同一な應力歪特性をもつと假定する。すると断面上の應力分布は常に中性軸に關し對稱となる（第 4 圖参照）。そして波型の抵抗モーメント  $M_R$  は中性軸より距離  $Z_{PL}$  の應力が  $f_{PL}$  の時

$$M_R = \int_{-\frac{d}{2}}^{\frac{d}{2}} f Z dA = \int_{-Z_{PL}}^{Z_{PL}} E e Z dA + 2 \int_{-Z_{PL}}^{Z_{PL}} [f_y - \frac{E}{a} \exp(-a(e - e_{PL}))] Z dA$$



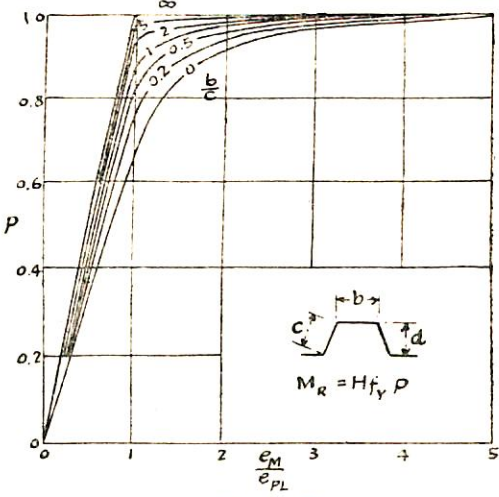
第 4 圖

$$= \frac{E}{a} \exp[-a(e - e_{PL})] Z dA + 2 \left[ f_y - \frac{E}{a} \exp[-a(e - e_{PL})] \right] \frac{d}{2} bt$$

もし中性軸より距離  $\frac{d}{2}$  の歪が  $e_M$  であるとすると  $M_R = \rho H f_y$  とおける。但し  $\rho$  はある材料に對して  $\frac{e_M}{e_{PL}}$  と  $\frac{b}{c}$  の函數。船材料では  $f_y = 26 \text{ tons/in}^2$ ,  $E = 13000 \text{ tons/in}^2$ ,  $a = \infty$  と假定出来る。典型的な Al-Mg 合金の實驗例では  $f_y = 15.0 \text{ tons/in}^2$ ,  $E = 4300 \text{ tons/in}^2$ ,  $a = 1,000$  を示した。 $\rho$  の  $\frac{e_M}{e_{PL}}$  に對する變化を鋼に對し第 5 圖 Al-合金に對し第 6 圖に示す。與えられた曲げモーメントによる波板上の最大纖維歪は  $\rho$  の對應値により定義される。大きめ歪では  $\rho$  は單位值に近づく從つて非座屈パネルの局限曲げ強度は  $M_{ult.} = H f_y = \frac{td}{2} (2b + c) f_y$  あるいは  $\frac{M_{ult.}}{tdcf_y} = \frac{b}{c} + \frac{1}{2}$  これを鋼材波板パネルの實驗値とともに第 7 圖に示す。

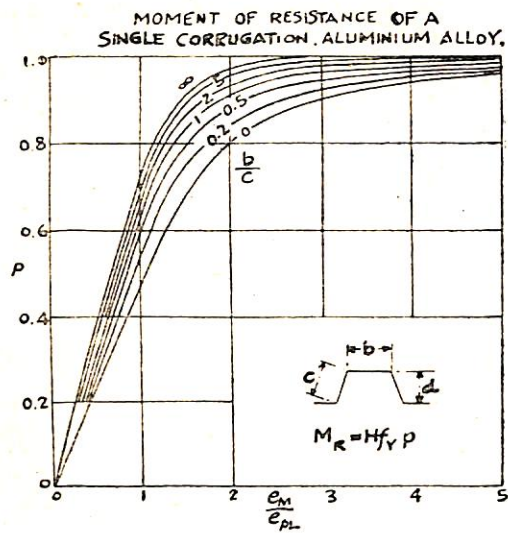
さて非座屈動作の範囲で波板を設計するにはロイ

MOMENT OF RESISTANCE OF A SINGLE CORRUGATION, MILD STEEL.

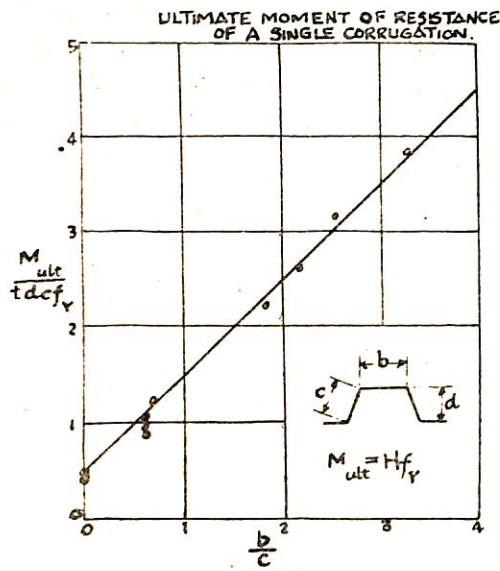


第 5 圖

- 7) R.D. Middleton 「Section moduli for bulkhead stiffeners and their application to cranked plate bulkheads」 shipbuilding and Shipping Record, Oct. 1, 1953

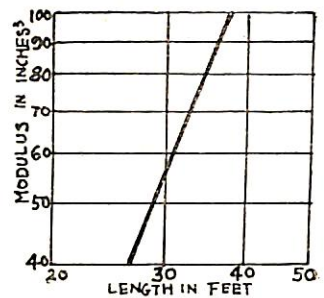


第6圖

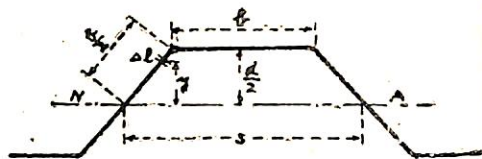


第7圖

ド規則 3 表を波板に適用することがあるいは有効かも知れない。その理はこの表は隔壁防材の断面係数を長さに對し示しているからである。しかしそれには長さ 27 ft. 以上の波板に適合出来るように次の如く範囲を擴大する必要がある。今 L (スパンの長さ) と Z (断面係数) を x と y に改め  $y = mx^n$  とすれば對数關係では  $\log y = \log m + n \log x$  ここで m, n を決めるにはド規則の x, y を代入し m, n に對する聯立方程式を解けば  $m = 6.85$ ,  $n = 2.73$  と決まる (第8圖参照) かくて波板のスパン 27 ft 以上に利用するにはさらに波型断面  $I_{NA}$  と Z に關し次の如く取扱う (第9圖参照)。



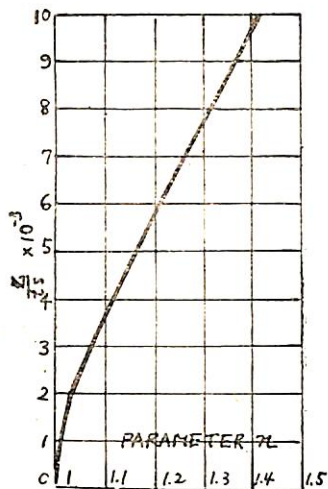
第8圖 Stiffeney modulus graph



第9圖 Crank detail

T. Corin によれば波型の最有効な型は相等しい巾の側板 (ウエブ) をもつことであるからその場合 Z は變數 t, b, d の函数となる。故に  $I_{NA} = 2pt \int_0^{\frac{d}{2}} y^3 dl + \frac{tbd^2}{4}$  また  $dl = kdy$ ,  $\rho = 1$  として  $I_{NA}$  は  $2tk \int_0^{\frac{d}{2}} y^3 dy + \frac{tbd^2}{4}$  となる。積分を實施し兩邊を  $\frac{d}{2}$  で除すれば  $Z = \frac{tkd}{6} + \frac{tbd}{2}$  これに  $\frac{b}{2} = k \frac{d}{2}$  を代入すると  $Z = \frac{2}{3} tbd$  になる。等しい側板の巾の故  $I = \frac{ts^3}{6} n(n-1)$  である。従つて  $\frac{I}{ts^3 d} = \frac{n(n-1)}{6d}$  ここで  $2b = ns$  さて  $d = \sqrt{s(n-1)s}$  を右邊に代入すれば  $\frac{Z}{ts^2} = \frac{n\sqrt{n-1}}{3}$  板厚は適當に選定されるかまたは規則より求められる。そして頂底のフランジ巾の變數 n は  $\frac{Z}{ts^2} = \frac{n\sqrt{n-1}}{3}$  に對し計算される、これを第10圖に示す。これより n の任意値を讀取ることが出来る。そこで s がわかればわれわれの要求する板巾  $b(2b=ns)$  が定まる。一方 n, s が知れると第10圖より Z が讀取れるから  $Z = \frac{3}{2} tbd$  より d が決定される。かくて板巾に對し最有効の型が設計されるであろう。

座屈動作:—断面係数 Z および断面積 A の表現式よりパネルの重量對強さの比は板厚に無關係になる。深い谷をもつた薄板は浅い谷の厚板より曲げでは一層有利であることは明らかだが構成板の座屈によるパネルの破損は板厚にある極少値を與えるはずである、波板が母線方向に垂直な軸に關して曲げを受ける時壓縮せるフ



第10圖 Graph to give required plate width

シジは均等圧縮応力であるがウエブは一方のフランジから他方フランジにかけて圧縮から引張に等しい大きさで線型に変化する、これらの負荷が板に座屈を生ぜしめこの各々に對する限界應力は板境界に理想的な條件を假定することで決定される<sup>8)</sup>。波板ではウエブと壓縮せるフランジとの共通線の條件は兩板の巾の比により影響される、この際座屈荷重の決定には共通線の拘束度と断面の座屈形を知らなければならない。座屈した後の形は第11圖の如くである、そして座屈後共通線は見掛上直線でウ

#### BUCKLED FORMS OF CORRUGATED PLATE.



第 11 圖

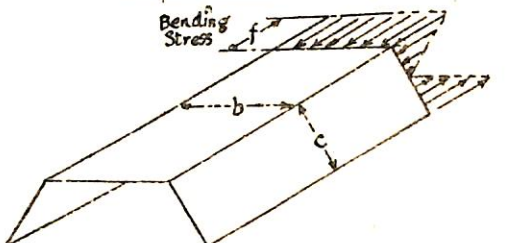
エブとフランジとのなす傾斜角は變化なく保持されると考えられる、波板に座屈を生ぜしめる曲げモーメントの厳密解は次の撓み形をウエブが満足することを要求する、 $\frac{dJw}{dx} = (\alpha + \beta y) \frac{\partial^2 w}{\partial x^2}$  ここで  $x, y$  はウエブ板内の直角坐標  $w$  は  $(x, y)$  點における撓みでウエブ面に垂直な方向にある、 $\alpha, \beta$  は端の圧縮荷重分布を決める係數、この式の解  $w$  は無限級数の形で與えられるが以下の解析上この解は不適當である、従つて厳密解は非實用的となるためウエブの端では同一座屈値をあたえる相等深さ  $c_1 = \lambda c$  を假想しこの  $c_1$  上を均等圧縮力が作用する如き場合に置換えて考えることにする、すなわち

$\frac{\partial^2 w}{\partial x^2}$  の係數をば既知常數に置換すれば  $w$  の解は簡単に容易に解ける、さて長い平板が板内にて曲げをうける際座屈は兩端の壓縮應力が次に値に達すると発生する。

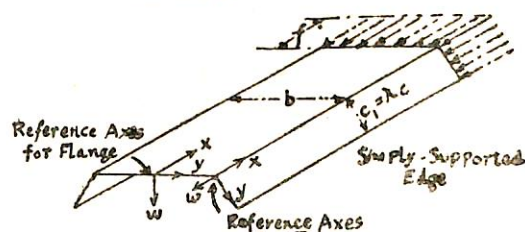
$$\text{すなわち} \frac{K_c^2 D}{t c^2} \quad \text{ここで}$$

$D = \frac{E t^3}{12(1-\nu^2)}$ ,  $t$  と  $c$  は板厚および板巾である、( $E$ : ヤング率  $\nu$ : ポアソン比) そして  $K_c$  は板の巾對長さの比と板の端縁の拘束度により變化する常數項である、上述と同一境界條件であるが巾  $c_1$  の板が對應端上に均等圧縮應力をうけた際は座屈應力  $f_{cr1} = \frac{k_{c1}^2 D}{t c_1^2}$  の時座屈する、以上兩者の座屈應力が等しくなるためには  $f_{cr} = f_{cr1}$  あるいは  $\frac{c_1}{c} = \frac{k_{c1}}{K_c} = \lambda$  である、このことは巾  $c$  のウエブをば巾  $\lambda c$  の有効ウエブで置換えあたかも均等壓力をうけているウエブの如く考える、しかも  $\lambda$  は同等断面をもつウエブスパン上にて發生する圧縮座屈應力が曲げ條件の最初のウエブの座屈應力と一致するように選ばれる必要がある(第12圖参照)、この方法では最初のおよび同等のウエブの座屈形波長の差異については何ら解決されない、故近似的取扱方法である、そして  $\lambda$  の最適値は實驗により決められる、この同等断面のウエブと壓縮フランジは微分方程式  $\frac{dJw}{dx} = -\frac{f}{D} \frac{\partial^2 w}{\partial x^2}$  ( $w$ : 撓み  $f$ : 長さ方向圧縮應力  $t$ : フランジまたはウエブの板厚) を満足する、板の負荷端は單純支持され  $x$  方向には  $m$  個の半波に座屈し  $y$  方向は半波1個とする、その時境界條件を満たす上式の解  $w$  が見出される、この表現式は各々の板で異なる4個の未知數をそれぞれ包

#### BENDING STRESS IN CORRUGATED PLATE.



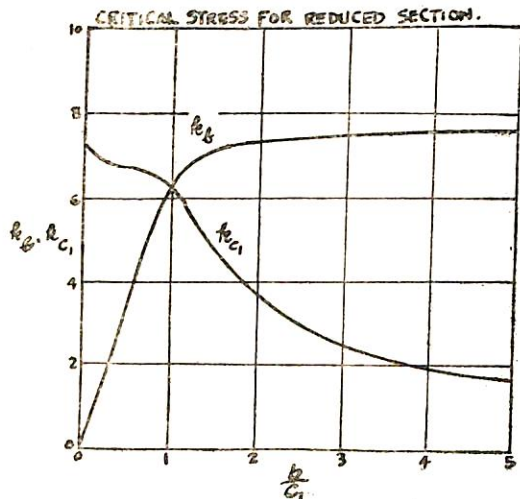
EQUIVALENT SECTION WITH REDUCED WEB



第 12 圖

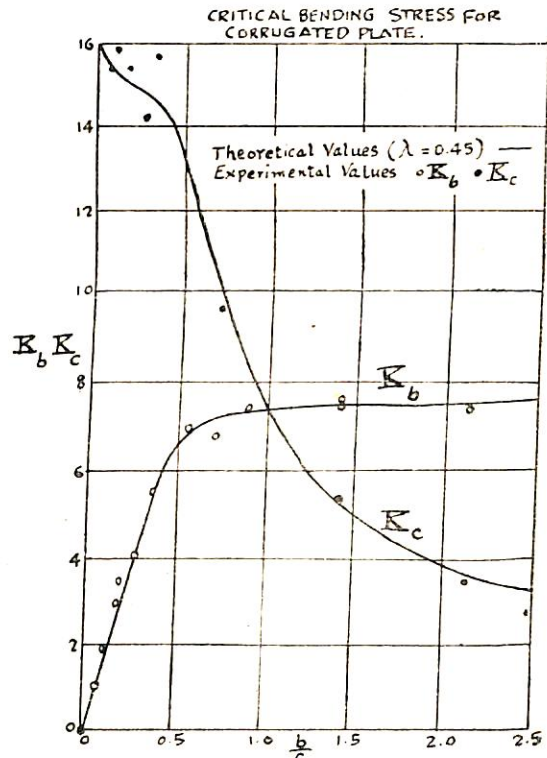
8) S. Timoshenko 「Theory of elastic stability」  
(Mc Graw-Hill Book Co. 1936)

有する。従つて8個の常数が8個の境界条件によつて決定される必要がある。第12圖の記号を用いると條件は以下の如くなる。フランジに對して(1)  $y=0$  で板には剪断力がない、(2)  $y=0$  で板の傾斜  $\frac{\partial w}{\partial y}$  が零、(1)(2) 條件は對称條件より導かれる。(3)  $y=\frac{b}{2}$  で  $w=0$  次に連續條件(4) フランジとウエアの傾斜は共通線で等しい、(5) 共通線で曲げモーメントが等しい、(3)(4)(5) の諸條件は第11圖の座屈形の假定より導かれる。一方ウエアに對して(6)  $y=0$  で  $w=0$  (7)  $y=c_1$  で  $w=0$  (8)  $y=c_1$  で曲げモーメントなし、(7)(8) の兩條件は最初のウエアを同等ウエアにより置換してえられる。以上の諸條件を撓み函数の導函数の項で書き8個の一次聯立方程式より8個の未知數が得られる。これら方程式の解が零でない値をもつための條件より座屈値  $f_{cr}$  が決められる。 $f_{cr} = \frac{k_b^2 D}{tb^2} = \frac{k_{c1}^2 D}{tc_1^2}$  ここで  $k_b$  はフランジ巾  $b$  のウエア深さ  $c_1$  との比および板長と  $b$  との比の函数。實際は大抵の場合パネルの長さは  $k_b$  すなわち座屈値に無関係になるので座屈現象はただ材料の性質と  $\frac{b}{c_1}$  および  $\frac{t}{b}$  によつて決定される(第13圖参照)そこで最初の曲げをうける波板に對し壓縮フランジ内の座屈應力  $f_{cr}$  は  $f_{cr} = \frac{K_b^2 D}{tb^2} = \frac{K_c^2 D}{tc^2}$  と書かれる( $\lambda$  の値を選定して)以上の理論は板の應力が到る處材料の比例限をこえないことを基底とした。今  $f_{cr} > f_{pl}$  であれば  $E$  をば修正率にて置換することを要する。そして實驗結果から  $f_{cr}$  が  $f_{pl}$  に比して餘り大きくなれば  $E_{sec}$  (secant modulus =  $\frac{\text{應力}}{\text{全}}$ ) の利用は座屈値に對



第13圖

しかたり信頼度の高い値を與える。さて  $E_{sec}$  を用いて波板に座屈を生ぜしめる压縮フランジ内の限界歪は  $\epsilon_{cr} = \frac{K_b^2 t^2}{12(1-\nu^2)b^2} = \frac{K_c^2 t^2}{12(1-\nu^2)c^2}$  、そしてこの式は彈性塑性兩域に應用出来る。減少率  $\lambda$  は單純曲げ状態にある波板の試験により決定された。この實驗にて試験片の  $\frac{b}{c}$  は  $0 \sim 2.15$  の範囲で中央斷面に座屈が発生するまで静的に負荷された。座屈應力が材料の比例限をこえれば座屈は試験片の急激な破壊によつて發見されるので比較的容易に座屈點が決められる。彈性内座屈の特徴としては压縮フランジの波の増大がみられる。そこで座屈値の實測はここではウエアとの共通線に對するフランジの撓みを測定して Southwell<sup>1)</sup> の解析法によつた。荷重と歪との關係は撓んだパネルの曲率を測定すれば求められるので従つて座屈限界歪が導出される。これら結果とパネルの既知寸法より  $K_b$  および  $K_c$  の値が計算される。第14圖では座屈常数  $K_b$ ,  $K_c$  と  $\frac{b}{c}$  の理論値並びに實測値を示す( $\lambda=0.45$  として)そこで半ば實驗的解が正當化されたので第14圖は單純曲げの座屈限界



第14圖

1) R. Southwell, Proc. Roy. Soc., vol. 135, p 601  
1932

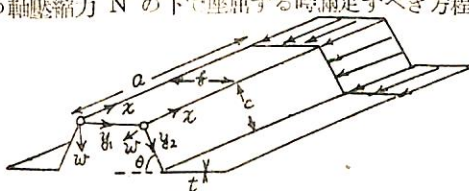
歪を評価するために利用される一方第5, 6図より最大纖維歪に對する與えられたモーメントを讀取ることが出来る。これが限界モーメント  $M_{cr}$  である。

**断面寸法の選定:** ——以上により與えられた寸法の波板パネルに對し曲げモーメント  $M_{PL}$   $M_{ult}$   $M_{cr}$  がそれぞれ計算出来る。パネル破損の形式はこれらモーメントの相對値に支配される。もし  $M_{cr} < M_{PL}$  ならば座屈後でも負荷される荷重は支えられ終局破損は變形断面の降伏による。もし  $M_{PL} < M_{cr} < M_{ult}$  ならばパネルの終局強度は  $M_{cr}$  である。もし  $M_{cr} = M_{ult}$  ならばパネルは座屈による破壊以前に材料の降伏により弱つてしまふ。船體構造上彈性座屈は接手の水密性保持上さけねばならない。從つて水油槽隔壁の寸法は  $M_{cr} > M_{PL}$  を要す。一方パネルの単位重量當りの曲げ強度比は板厚  $t$  に無關係であるから  $M_{cr}$  は  $t$  とともに増大する。從つて最有効隔壁は  $M_{cr} = M_{PL}$  に作製されるを要す。一方區割隔壁は working load がパネルの破壊荷重をば限定する。そこで波板の完全な曲げ強度をもたせるためには  $M_{cr}$  が  $M_{ult}$  より小さ過ぎてはならない。かくていづれの場合でも断面寸法要素  $b$ ,  $c$ ,  $d$ ,  $p$ ,  $t$  の關係はパネルの有効性を考慮に入れて定める必要がある。さて  $M_{cr}$  あるいは  $M_{ult}$  の値は負荷條件から知られさらに断面の幾何學的性質  $p = 2b + 2(c^2 - d^2)^{1/2}$  の三條件が上の未知數5個に對應するが、この内ある寸法は多くの實船の場合空間 (space) とか減接部材との結合性の便宜さ等により限定される故残りの寸法要素は最有効断面形を備えるよう決定されると思われる。

## 第2章 壓縮強度 (壓縮試験との比較)

波板は甲板荷重に耐えるため充分な壓縮強度を保たねばならない。この場合非座屈現象は全負荷荷重  $W$  が  $\sigma A$  ( $A$ : 全断面積) に等しい故計算は容易である。次に座屈現象を取扱うことにする。

**座屈動作<sup>10)</sup>:** ——フランジあるいはウエブが單位長さ當りの軸壓縮力  $N$  の下で座屈する時満足すべき方程式



第15圖

10) T. Nagai, 「One note measurement of buckling stress in plate structure」日本應用力學聯合講演會, 昭和29年9月

は前述の通り  $4\delta w = -\frac{N}{D} - \frac{\partial^2 w}{\partial x^2}$  第15圖を參照して  $y_2 = c$  線で支持の時 (他の條件は第1章と同様) 座屈壓縮力  $N$  (kg/mm) は

$$\alpha = \sqrt{\frac{m^2 \pi^2}{a^2} + \sqrt{\frac{N}{D} \frac{m^2 \pi^2}{a^2}}},$$

$$\beta = \sqrt{-\frac{m^2 \pi^2}{a^2} + \sqrt{\frac{N}{D} \frac{m^2 \pi^2}{a^2}}} \quad \text{として}$$

$$\alpha \tan \beta c \left( 1 + \operatorname{th} \frac{ba}{2} \operatorname{th} \alpha c \right) = \beta \operatorname{th} \alpha c \left( 1 - \tan \frac{b\beta}{2} \tan \beta c \right)$$

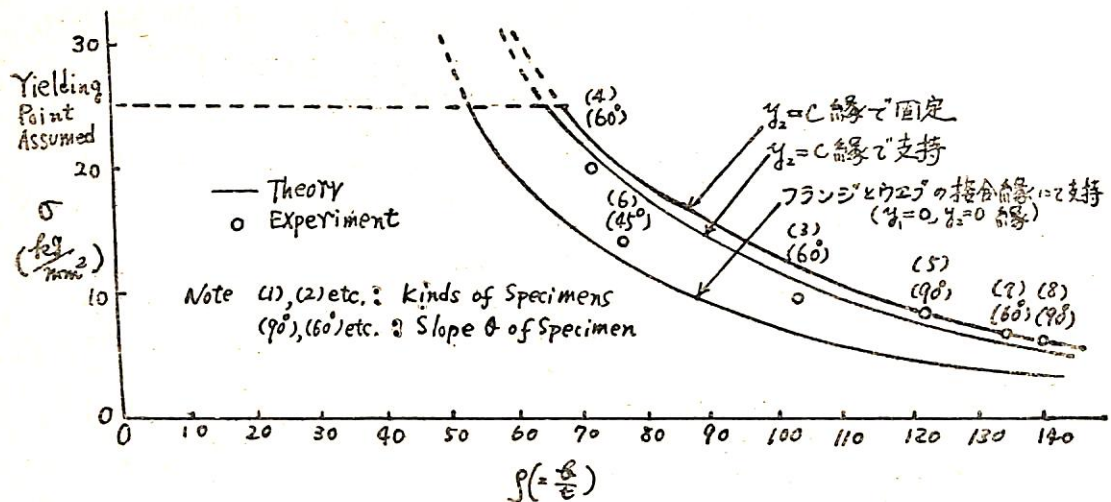
より決まる。次に  $y_2 = c$  線で固着の時座屈力  $N$  は

$$2\alpha\beta \cos \frac{b\beta}{2} \operatorname{ch} \frac{ba}{2} + a^2 \sin \beta c \cos \frac{b\beta}{2} \operatorname{sh} \alpha \left( c + \frac{b}{2} \right) \\ = \alpha\beta \cos \beta c \cos \frac{b\beta}{2} \left( \operatorname{ch} \alpha c + \frac{b}{2} \right) \\ + \alpha\beta \operatorname{ch} \frac{ba}{2} \operatorname{ch} \alpha c \cos \beta \left( c + \frac{b}{2} \right) \\ + \beta^2 \operatorname{ch} \frac{ba}{2} \operatorname{sh} \alpha c \sin \beta \left( c + \frac{b}{2} \right)$$

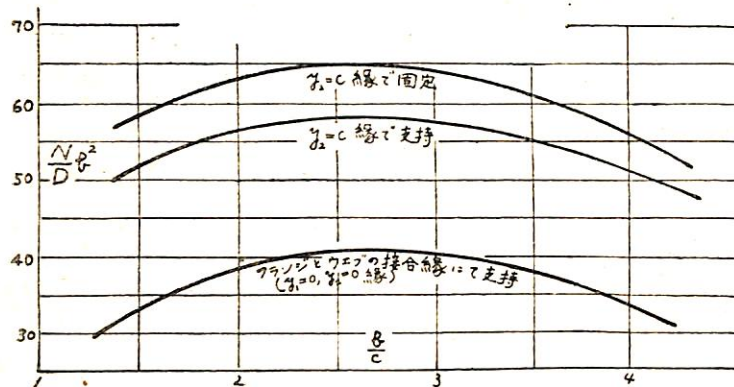
より決まる。さらにフランジが  $y_1 = 0$ ,  $y_2 = 0$  兩線で支持されている時は  $\sigma = \frac{k\pi^2 E}{12(1-\nu^2)} \frac{t^2}{b^2} \cdot \frac{t}{b}$  に對する  $\sigma$  につき以上三條件の場合で數値計算すると第16圖の如くなる (實驗は圓點)。實驗は  $\frac{a}{c}$  を一定にして  $\frac{b}{c}$

に對する座屈值を檢べてみた。なお  $\frac{a}{b}$  が實船の如く大きい場合は  $\frac{a}{b}$  の變化は座屈値に無關係となる。第17圖は  $\frac{b}{c}$  に對する  $\frac{N}{D} b^2$  を示す。從つてこの圖より波型隔壁の設計では  $\frac{b}{c}$  に對し  $\frac{N}{D} b^2$  を讀取りこれに  $\frac{b}{t}$ ,  $\nu$ ,  $E$  の既知數を代入すればその材料固有の壓縮座屈應力  $\sigma$  を決定することが出来る。第16圖の實驗方法はウエブとの共通線に對するフランジの撓み  $\delta$  を直接機械的に測定するには困難を伴なう故歪計を板の表裏に貼付けその差の自乘から解析して求めたものである。その際利用した基礎式は撓み  $\delta$  として表裏に貼布した歪計による歪を  $\varepsilon_0$ ,  $\varepsilon_1$  また  $x$  方向の座屈半波數  $m$ , 板厚  $t$  を用いれば  $\delta^2 = \frac{(\varepsilon_0 + \varepsilon_1)^2}{64t^2} \left( \frac{a}{m} \right)^4$  にて表わされる。そこで吉謙の  $\delta^2$ -法<sup>11)</sup> を應用すれば座屈荷重  $P_c$  (kg) として  $P_c = P_e + E \left( \frac{b}{t} \right) \left( \frac{a}{m} \right)^2 \frac{\pi^2}{1024} (\varepsilon_0 - \varepsilon_1)^2 \equiv P_e + K(\varepsilon_0 - \varepsilon_1)^2$  となる故  $(\varepsilon_0 - \varepsilon_1)^2$  に對し壓縮力  $P$  を置點した曲線に接線  $\theta = \tan^{-1} K$  を引けばこれが縱軸  $P$  と交わる點がすなわち  $P_c$  となる。板厚 1.2 mm の軟鋼試験片材料の性質は引張試験により定めた。そして  $E = 21300 \sim 21550 \text{ kg/mm}^2$ ,  $\nu = 0.3$  を得た故ヤング率は

11) M. Yoshikawa, Bull. Univ. of Tokyo No. 2, vol 24, 1954



第16圖 Retation between  $\sigma$  and  $\rho$



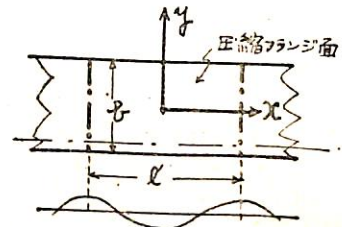
第17圖 Relation between  $\frac{N}{D} \cdot b^2$  and  $\frac{b}{c}$

2100 kg/mm<sup>2</sup> として計算を施した。理論中にはウェブとフランジとのなす傾斜角  $\theta$  (第15圖参照) の変化を含んでない。そこでこの効果を實驗的に大體検べてみると丁度  $\frac{b}{c}$  が小さくなるにつれ ( $c, t$  を一定に保てば  $\frac{b}{t}$  が小さくなることと同等) 實驗座屈點は理論より幾分小さく出るが  $\theta$  の減少もこれと同一傾向を示している。

### 第3章 曲げ強度 (均等水壓実験との比較)

波型2個の断面をもつ梁に均等水壓をかけた実験と理論値の比較について述べる<sup>12)</sup>。第1章では単純曲げ座屈を論じたが實船では水壓をうけることが要々ある故こ

こでは均等水壓による座屈動作を論ずる。ニネルギー法によれば圧縮フランジの一波長間  $l'$  をとり座屈應力を求めるには(第18圖参照)



第18圖

$$\sigma = \frac{D}{t} \frac{\int_{-\frac{b}{2}}^{\frac{b}{2}} \int_{-\frac{p}{2}}^{\frac{p}{2}} (dw)^2 dx dy}{\int_{-\frac{b}{2}}^{\frac{b}{2}} Y^2 dy \int_{-\frac{p}{2}}^{\frac{p}{2}} \left[ 1 - k_2 \left( \frac{x}{l'} \right)^2 \right] X'^2 dx}$$

$$\text{但し } \Delta = \frac{\partial^2}{\partial x^2} + \frac{\partial^2}{\partial y^2} \quad w = AX(x)Y(y)$$

$$X' = \frac{dX}{dx} \quad t: \text{板厚} \quad D = \frac{Et^3}{1 - \nu^2}$$

$k_2$ : 母線方向の端条件により決まる常数

この式において  $\sigma$  が  $l'$  のある値で極小値をもつならその時の  $\sigma$  が座屈應力であり  $l'$  が座屈波長となる。故

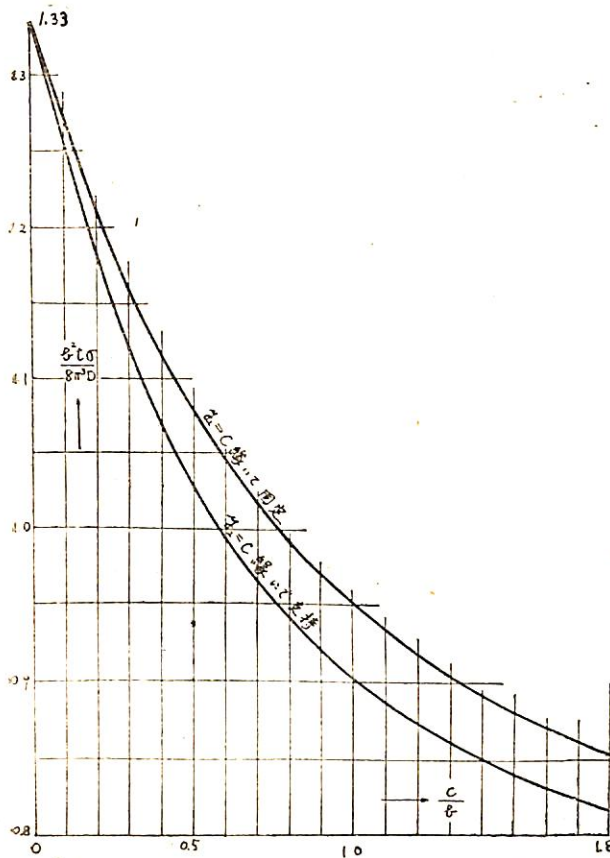
$$\text{に座屈波長 } l' \text{ は } \frac{l'}{b} = \sqrt{\frac{3 + \frac{32}{3\pi}\alpha + \alpha^2}{1 + \frac{2}{3\pi}\alpha + \frac{\alpha^2}{16}}} \text{, 座屈限界}$$

12) 永井保, 「波板の均等水壓実験」未発表 昭和30年

#### 第4章 荷重と最大撓みとの関係

(均等水壓実験との比較例)

波型隔壁の使用目的によつては有限な撓みが荷重除去後においても残留してかお波板は未だ充分の負荷に耐えまた無限の撓みも生じない條件をばわれば屢々必要とする。この章は以上の要求に応じて材料の比例限をこえてさらに高い荷重をうけた際未だ波板が充分の餘剰負荷能力をもつための限界點を知るのに役立てようとするものである。第20圖の如く波板内に  $x$  方向をとる。



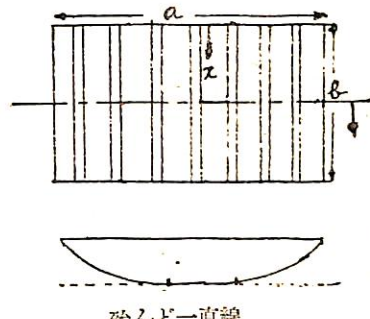
第19圖 Relation between  $\frac{c}{b}$  and  $\frac{b^2 t \sigma}{8\pi^3 D}$

$$\text{応力 } \theta \text{ は } \frac{t \sigma}{8\pi^3} - \frac{b^2}{D} = \sqrt{\frac{3(1 + \frac{2\alpha}{3\pi} + \frac{\alpha^2}{16})}{3 + \frac{32\alpha}{3\pi} + \alpha^2}}$$

$$+ \frac{1 + \left(\frac{5}{3} + \frac{1}{\pi}\right)\alpha + \frac{\alpha^2}{4}}{3 + \frac{32\alpha}{3\pi} + \alpha^2}$$

によつてそれぞれ計算出来

る。ここで  $\alpha$  は第15圖の記號に従えば  $y_2 = c$  線の拘束度によつて決まる常數で支持の時  $\alpha = -\frac{4\pi}{3} \frac{c}{b}$  固定で  $\alpha = \pi \frac{c}{b}$  となる。實際にはこの兩條件の中間にある。さて上式の示す如く  $\frac{t}{b}$  および  $\frac{t \sigma b^2}{8\pi^3 D}$  は  $\frac{c}{b}$  のみの函数にある。 $\frac{c}{b}$  に對し  $\frac{t \sigma b^2}{8\pi^3 D}$  の關係をば第19圖に示す。波板の設計に當つてはこの圖より任意の  $\frac{c}{b}$  に對する  $\frac{t \sigma b^2}{8\pi^3 D}$  を讀取ることが出来る故さらに波板材料の性質である  $E$   $\nu$  と波板寸法  $t, b$  を代入すれば座屈限界應力  $\sigma$  が知れる。



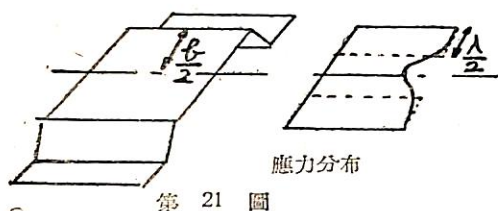
第20圖

實船波板の寸法比では波の母線方向 ( $x$  軸方向) の中點を連ねる撓曲線は  $\frac{a}{b} > 1.3$  で殆んどその中心附近は直線状をなしもし  $\frac{a}{b} > 2$  ではその撓曲線の絶対値は一定になり直線状部分が増加する傾向をもつ。この性質は彈性状態に限らず板の一部に塑性域をもつともいえる。さて塑性領域の問題<sup>13)</sup> では種々の影響例えは應力集中、剪断歪、引張力、殘留應力、局部座屈等が含有されている。これらの綜合効果は既に普通の梁で從来までの種々なる實驗結果により示された如く撓曲の増加と耐えうる最大荷重の低下を來たさしめた。ここでは以上の綜合効果を考慮して理論的簡便式を算出し實驗値との比較をしてみる。その理論解法 I として以下の假定をおく。

1) 荷重の増大につれ發生する塑性領域は初期降伏點と最大負荷荷重との間の餘剰部分を減少せしめるが硬化作用はこれを増加せしめる傾向をもつ。従つて兩者は互に相殺し合うものとして無視する。2) 換言すれば梁は full plastic moment に到つた斷面を除き他はすべて最初の有効なる剛性  $EI_0$  (後述) を保持し full plastic moment なつた斷面では一定モーメント  $M_p$  をもち廻轉は自由に生ずる。ここで有効剛性  $EI_0$  とはフランジに有効巾  $\lambda$ <sup>14)</sup> を考へて有効斷面二次モーメント

13) 永井保、「波板の最大撓曲について」機械學會發表 (昭和29年11月28日)

14) C. H. A. Schade, S. N. A. M. E. vol. 59, 1951



第 21 圖

分布荷重  $P$ , 兩端支持

$$M = \frac{4}{\pi^2} p L^2 \sum \frac{1}{n^3} \sin \frac{n\pi x}{L}$$

$$n = 1, 3, 5, 7, \dots$$

$$\text{中點において } K_n = (-1)^{\frac{n-1}{2}} \frac{1}{n^3}$$

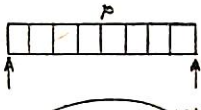
分布荷重  $P$ , 兩端固定

$$M = \frac{1}{\pi^2} p \frac{L}{2} - \sum \frac{1}{n^2} \cos \frac{n\pi x}{L/2}$$

$$n = 1, 2, 3, 4, \dots$$

$$\text{中點において } K_n = (-1)^{(n+1)} \frac{1}{n^2}$$

$$\text{兩端にて } K_n = \frac{1}{n^2}$$



第 22 圖

を  $I_e$ とした時の  $EI_e$ の値である(第21, 22, 23圖参照)。有効巾  $\lambda$ は(a)一ウエップとフランジの結合點の拘束(この効果は  $\frac{\lambda_n}{b}$ にて示す)(b)一母線方向( $x$ 方向)曲げモーメント分布状態(この効果は  $K_n$ にて示す)(c)一ウエップおよびフランジ断面の幾何学的性質(この効果は  $\beta$ にて示す)の三主原因によつて決定され

$$\frac{\lambda}{b} = \frac{\sum \frac{\lambda_n K_n}{b}}{\sum \frac{K_n}{b} + \beta}$$

ここで有効巾  $\lambda$ は最

大曲げモーメントをもつ断面において計算したものである。(3)ある断面が full plastic hinge になるまで剛性は最大曲げモーメント断面の  $EI_e$ である。(4)ある断面が full plastic hinge になれば前述の如くそこでは一定モーメント  $M_p$ でありまた他の部分はすべて弾性範囲にある故また新しく生ずる最大モーメントの断面での  $EI_e$ を決めうる。そして第2段階の full plastic moment が生ずるまでこの剛性を用う。(5)座屈は少くともある断面が full plastic hinge になるまでは生じないものとする。以上5個の假定を基礎にして塑性計算をすると(第24圖参照)

梁の中央より最初に降伏する場合

第1段階 ( $M_c = M_y$ において)

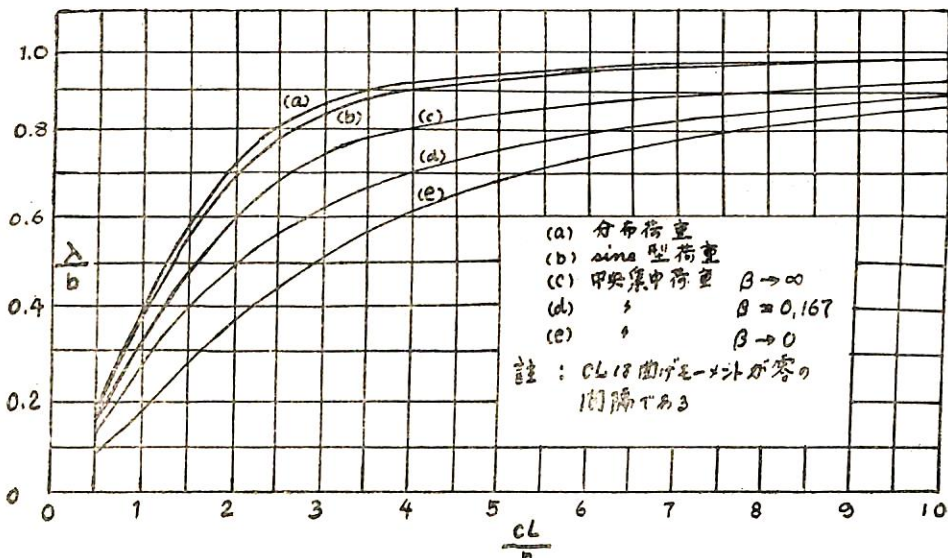
$$w_1 = \frac{24(2\kappa+1)}{(\kappa+1)l^2} M_y$$

$$\delta_1 = \frac{w_1}{EI_e} \left[ \frac{1+4\kappa}{93(2\kappa+1)} - 0.0078 \right]$$

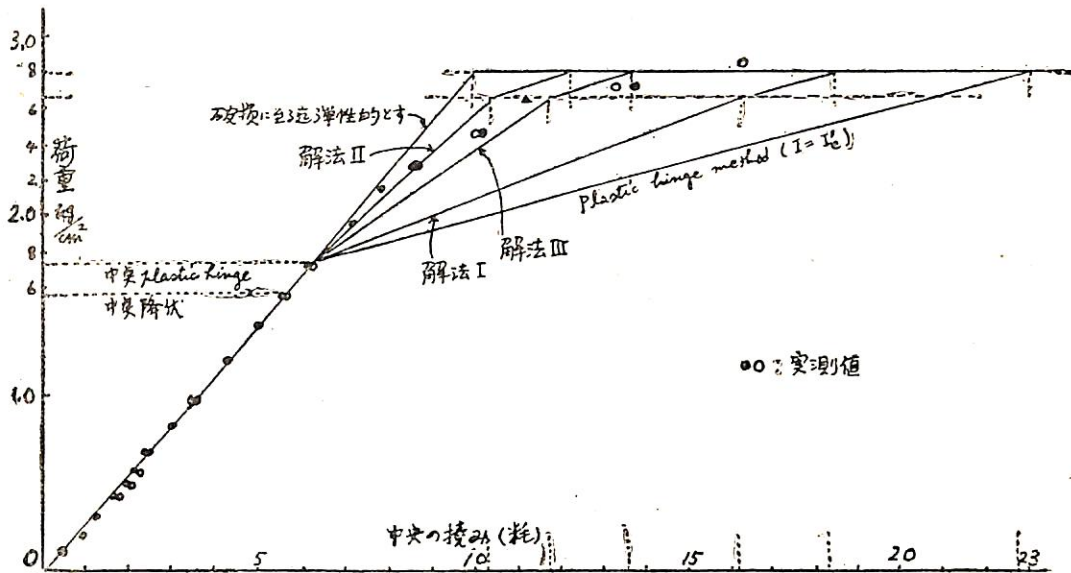
第2段階 ( $M_c = M_p$ において)

$$w_2 = f w_1 (f: \text{shape factor})$$

$$\delta_2 = \frac{l}{4EI_e} \left[ \frac{M_p l}{3} - \frac{M_A l}{6} + \frac{w_2}{12} \left( \frac{l}{2} \right)^3 \right]$$



第 23 圖 典型的な荷重に對する有効幅比  $\frac{\lambda}{b}$  の値



第 24 図 實測値と理論値との比較

第3段階 ( $M_A = M_y$  において)

$$w_3 = \frac{8}{l^2} (M_y + M_p)$$

$$\delta_y = \frac{l^2}{4EI_e''} \left[ M_y \left( \kappa + \frac{1}{4} \right) - \frac{M_p}{4} \right]$$

第4段階 ( $M_A = M_p$  において)

$$w_4 = \frac{16}{l^2} M_p \quad \delta_p = M_p \frac{\kappa l^2}{4EI_e''}$$

ここで  $M_c$ : 中央点モーメント  $M_A (= M_B)$ : 梁端モーメント  $I_e' (= I_e'')$ : 弾性における最大曲げモーメント断面の有効二次モーメント,  $\kappa$ : 端の固定度常数,  $M_y$ : 降伏モーメント ( $= \sigma_y \cdot Z$ ),  $M_p$ : full plastic moment ( $= fM_y$ ),  $w$ :  $x$  方向単位長さ當りの均等荷重,  $\delta$ : 最大挠み,  $l$ : 梁長

端が最初に降伏する場合

第1段階 ( $M_A = M_y$  において)

$$w_1 = \frac{12(2\kappa+1)}{l^2} M_y$$

$$\delta_1 = \frac{w_1}{EI_e'} \left[ \frac{1+4\kappa}{96(2\kappa+1)} - 0.0078 \right]$$

第2段階 ( $M_A = M_p$  において)

$$w_2 = \frac{8}{l^2} (M_p + M_c)$$

$$\delta_2 = \frac{l^2}{4EI_e'} \left[ -\frac{M_p}{6} + \frac{M_c}{3} + \frac{w_2}{24} \left( \frac{l}{2} \right)^2 \right]$$

第3段階 ( $M_c = M_y$  において)

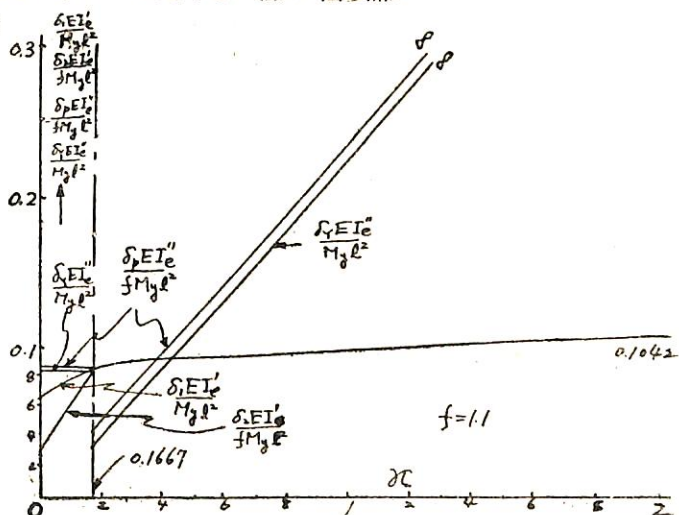
$$w_3 = \frac{8}{l^2} (M_p + M_y)$$

$$\delta_y = \frac{l^2}{48EI_e''} (5M_y - M_p)$$

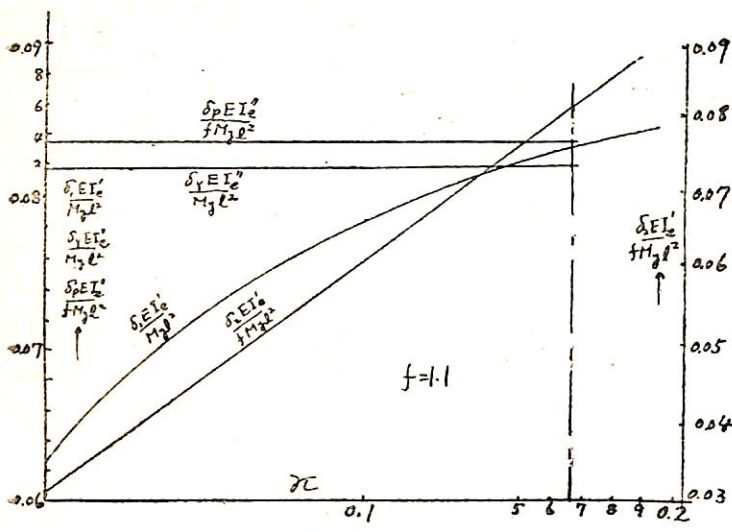
第4段階 ( $M_c = M_p$  において)

$$w_4 = \frac{16M_p}{l^2} \quad \delta_p = \frac{M_p l^2}{12EI_e''}$$

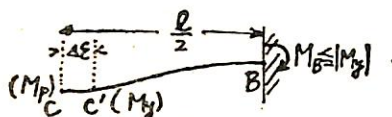
以上のえられた諸式中の  $\delta$  と  $\kappa$  との関係を圖示すると第 25, 26 両圖の如くでこの圖よりすべての幾何學的機械的性質が與えられれば固定度常数  $\kappa$  に應する挠み  $\delta$  が直ちに計算出来る。さらに梁の中央部から降伏し初める時には次の如く考えられる。解法 II として以下の假定をする。(第 27 圖参照)



第 25 圖



第 26 圖



第 27 圖

1) 歪硬化作用の効果に比し塑性域擴大による影響の方が大きいとして塑性域を考慮する。かくて中央部が full plastic hinge に丁度なつた時その際の端モーメント  $M_B (= M_A)$  を用いて  $\Delta\epsilon$  を計算し  $M_B$  が  $M_y$  に到つた時の荷重と最大撓みを求めた。そして撓みが有限の大さになるとともに引張力の作用が表われる故梁の撓みは C 點 ( $M_p$  をもつ), C' 點 ( $M_y$  をもつ) 兩點にて互いに等しいと考える。そして端の B 點が彈性域内すなわち  $M_B \leq M_y$  である限り最大撓みは C' 點にて定められる。従つてこの際の計算は梁の長さ  $\frac{l}{2} - \Delta\epsilon$  として行われる。ここで剛性としては梁の長さ C'B' 間での有効剛性を用いる。他の假定は解法 I と同様である。荷重は解法 I と同一で撓みが以下の如くえられる(第 24 図参照)

第 1 段階 ( $M_B = M_y$  において)

$$\delta_1 = \frac{M_y l^2}{EI_e'} - \frac{24f(2\kappa+1)}{6\kappa+1} \cdot \left[ \frac{1+4\kappa}{96(2\kappa+1)} - 0.0078 \right]$$

第 2 段階 ( $M_B = M_y$  において)

$$\delta_y = \delta_1 + \frac{M_y l^2}{EI_e''} - \frac{1+4\kappa}{16} (1+f)$$

$$-\frac{3(2\kappa+1)}{6\kappa+1} f \cdot \\ \cdot \left( 1 - \sqrt{\frac{f(6\kappa+1) - 6\kappa - 1}{f(6\kappa+1) + 2f}} \right)^4$$

第 3 段階 ( $M_B = M_p$  において)

$$\delta_p = \delta_y + \frac{(1+4\kappa)(f-1)}{16EI_e''} l^2 M_y$$

さらに解法 III として次の假定を行う。

1) 解法 II において降伏した部分の長さ  $\Delta\epsilon$  の計算にあたり  $M_B = M_y$  と假定して  $\Delta\epsilon$  を算出する處に違ひがあるだけである。撓みは以下の如くなる(第 24 図参照)

第 1 段階は解法 II と同一である。

第 2 段階 ( $M_B = M_y$  において)

$$\delta_y = \delta_1 + \frac{M_y l^2}{EI_e''} (0.0234) (1+4\kappa) \cdot$$

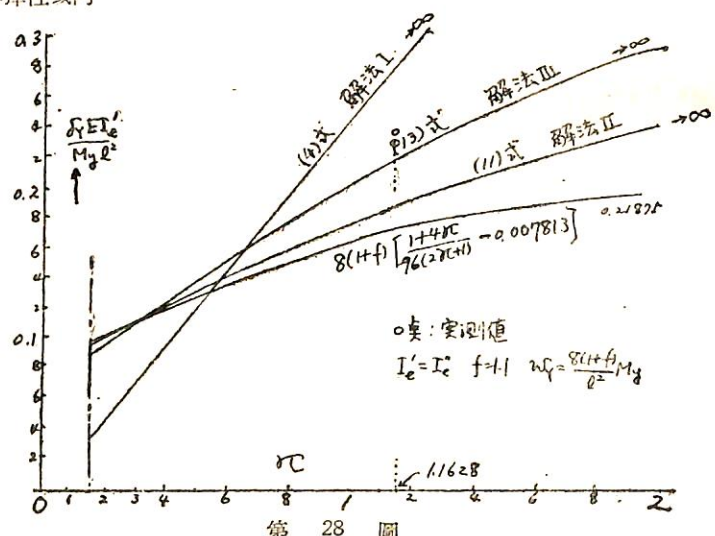
$$\cdot \left[ 1 + f - \frac{3(2\kappa+1)}{6\kappa+1} f \right]$$

第 3 段階 ( $M_B = M_p$  において)

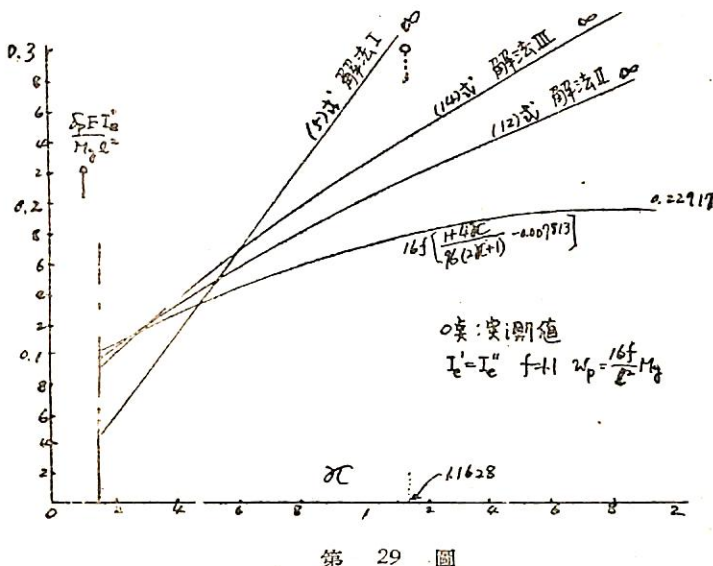
$$\delta_p = \delta_y + \frac{(1+4\kappa)(f-1)}{16EI_e''} l^2 M_y$$

以上解法 I II III において端が丁度降伏した際の  $\delta_p$  と固定度常数  $\kappa$  との関係を第 28 図に示す。端が full plastic moment をもつた時の  $\delta_p$  を第 29 図に示す。兩圖中圓點は實驗値<sup>15)</sup>より算出した値である。なお以上の如く端モーメントが  $M_y$ ,  $M_p$  になつた時の撓みの比較の外に  $M_y$  から  $M_p$  までに到つた過程を一例につき理論と實驗とを比較すると第 24 図の如くなる。以上の結果を総合すると以下の如し。

15) 三井造船:「波型隔壁の強度」未発表の資料



第 28 圖



第 29 圖

1) 端より降伏する場合 ( $\kappa < 0.1667$ ) の波板の荷重と最大撓みの関係は第 26 圖を用いて直ちに計算出来る。

2) 中央部より降伏する場合 ( $\kappa > 0.1667$ ) の波板の荷

(312 頁よりつづく)

孔および隅を丸めた四角孔で、隅を丸めない四角孔は最も悪く、たとえ補強しても補強のない圓孔、隅を丸めた四角孔のものより弱かつた。

また低温や厚板の場合については

vi) 低温脆性を起すような場合は、薄板のもので厚板の豫想を立てることは出来ない。形状の影響は常温よりも低温の方が更に明瞭に表われる。

vii) 開口における良い補強法は補強材を厚み方向をあまり大きくしないで勉めて開口の近くに集中させることである。

## 二) 文 獻

- 7) Vasarhely, D., Hechtman, R. A., "Welded Reinforcement of Openings in Structural Steel Members," Ship Structure Committee; Serial No. SSC-39.

重と最大撓みの関係は假定により解法 I II III の三種類が得られた。これの検証例として實測値と比較してみた。試験片が少いためこれにて判断出来ないがこの例では解法 III が適しているようである。

3) この際端モーメントが丁度降伏モーメント  $M_y$  になつた時の  $\frac{\delta_y EI_e'}{M_y l^2}$  は第 23 圖によりまた  $M_p$  になつた時の  $\frac{\delta_p EI_e'}{M_y l^2}$  は第 29 圖によりそれ直ちに讀取れる。従つて任意材料で任意の寸法の波板の  $\delta_y$ ,  $\delta_p$  は  $E$ ,  $I_e'$ ,  $l$  が既知なる故決定される。

4) 波板の材料の性質および寸法が決まればまず有効巾を第 23 圖にて求め各段階の荷重と最大撓みは第 1 第 2 段階は第 25 圖第 25 圖 (第 25 圖にて  $\kappa < 0.1667$  を擴大した圖) 第 3 第 4 段階は第 28 圖第 29 圖によつて決定することが出来る。(昭和 30 年 2 月 19 日)

8) Vasarhey, D., Hechtman, R. A., 'Welded Reinforcement of Opening in Structural Steel Members: A Determination of Strain Energy Distribution and True Stresses in the Plastic Range in Plates with Openings,' Ship Structure Committee; Serial No. SSC-50.

9) Vasarhely, D., Hechtman, R. A., "Welded Reinforcement of Openings in Structural Steel Members: Room and Low Temperature Tests of Plates with Reinforced Openings," Ship Structure Committee; Serial No. SSC-55.

この 7) と 8) について概要が次のように Weld. J. にも出ている。

- 10) —7) と問題名一 Weld. J., Apr. 1951.
- 11) —8) と問題名一 Weld. J., Apr. 1952.

(未完)

# 船體上部構造の損傷について

山越道郎  
九州大學工學部造船學教室

昭和27年秋以来造船協会の船體構造委員会に損傷の調査研究を目的とする専門委員会が設けられ、西部地區各造船所並びに關西地区一部造船所より損傷の資料を蒐集するとともに、損傷原因の究明と事故防止法の検討を行つてゐる。その中から上部構造の損傷に関する研究経過並びに成果を簡単に紹介して御参考に供したいと思う。

現在までに委員会に報告された損傷資料の中から上部構造の損傷に関するものを選んで分類すれば、次のようなになる。

1. Entrance Corner の損傷 ..... 19件
2. House End の損傷 ..... 20件
3. Side Screen Bulwark の損傷 ..... 10件
4. Bulwark Top Rail の損傷 ..... 11件
5. Bridge End の損傷 ..... 6件
6. その他の損傷 ..... 6件

以下各項目毎に損傷の状況、原因並びに防止法を簡単に説明する。

## 1. Entrance Corner の損傷

Entrance Corner の損傷は大部分甲板室側壁の Entrance に発生したものであるが、船艤後端隔壁の Entrance に発生したものが1件、Front Wall の

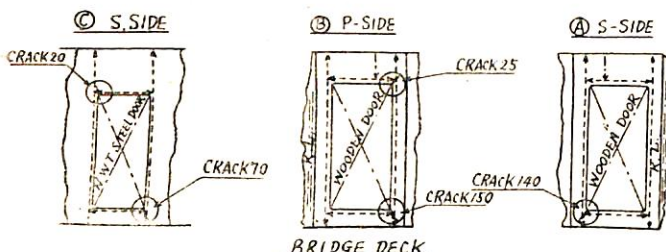


Fig. 1

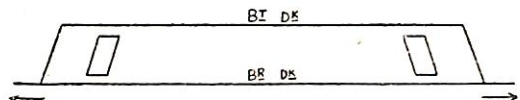


Fig. 2

Entrance に発生したものが2件ある。甲板室側壁の Entrance に発生した損傷の一例は Fig. 1 の如くで、この種の損傷は次のような原因によるものと思われる。すなわち船體の long! stress は一般に bridge dk. より上部では逆に上にゆくに従つて減少することが知られており、従つて Hogging Condition における上部構造の變形の状態は Fig. 2 のようになるから甲板室側壁は shearing strain を受け、この shearing strain のために Entrance の Corner に大きな stress が発生して crack を生じたものと思われる。筆者はさきに W. Hovgaard の理論を應用して甲板室側壁の shearing strain の大きさを計算し、隅を丸めた正方形の孔を有する無限板の應力集中係数を用いて Entrance Corner に生ずる max. stress を概算した處、次のような結果を得た<sup>3)</sup>。

Entrance Corner の R が 30mm の場合

$$\sigma = 36 \text{ kg/mm}^2$$

// の R が 100mm の場合

$$\sigma = 11 \text{ kg/mm}^2$$

この値は上記の原因によつて Entrance Corner に crack が発生したと考えることが正しいことを裏書きするものと思う。crack を発生せる Corner の位置は Entrance の近くで隔壁が屈折しているかどうかで異つており、Entrance の両側で隔壁が屈折している場合 (Fig. 3 a) および Entrance の近くに全く屈折線がない場合 (Fig. 3 b) には主として Fig.

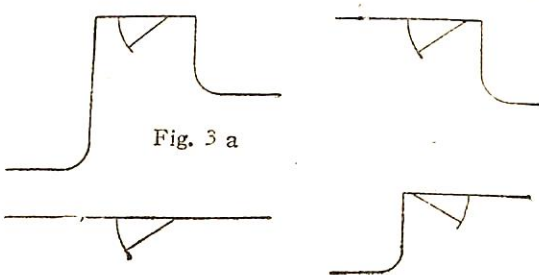


Fig. 3 a

Fig. 3 b

Fig. 3 c

2 の状態で tensile stress を生ずる Corner に crack が発生し、Entrance のいざれか一方の側において室壁が屈折している場合 (Fig. 3 c) には屈折線のない側の Corner に crack が発生している。第一の場合に対する理由としては通常 Hogging Moment の方が Sagging Moment より最大値が大きいことが考えられ、また第二の場合に対する理由としては室壁の屈折線上における normal stress はあまり大きくならないため屈折線が free boundary に似たような作用を及ぼして屈折線に近い側の Corner の stress を緩和し逆に遠い側の Corner の stress を増加させるのではないかと思われる。この種の損傷の防止法としては次のような方法が考えられる。

i) Entrance Corner の R を出来るだけ大きくする、少くとも 100mm 以上、なるべく 150mm 程度とすることが望ましい。

ii) 甲板室側壁の固著を鉄にして、側壁の受ける shearing strain を緩和する。

iii) 慣力が集中する Corner 部を局部的に補強する。次に船橋後端隔壁の Entrance に発生した損傷の状況を示すと Fig. 4 の如くで、P. side 右上隅の crack は他の四つの crack に較べてかなり小さいから一應これを除外して考えれば、他の四つの crack はいざれも船橋後端隔壁が deck girder から押し上げられて shearing strain を受けた場合に tensile stress を生ずる Corner に発生している。さきに筆者が概算した處によれば、deck girder により 0.8mm 押し上げられた場合に Entrance Corner に生ずる max. stress は次の如くであり、deck girder の僅かな変位により Entrance Corner に crack が発生する可能性のあることがわかる。

$$\begin{aligned} \text{Entrance Corner の } R \text{ が } 5 \text{ mm の場合} \\ \sigma = 38 \text{ kg/mm}^2 \\ \text{〃 " " 150mm の場合} \\ \sigma = 22 \text{ kg/mm}^2 \end{aligned}$$

deck girder が船橋後端隔壁を押し上げる原因として

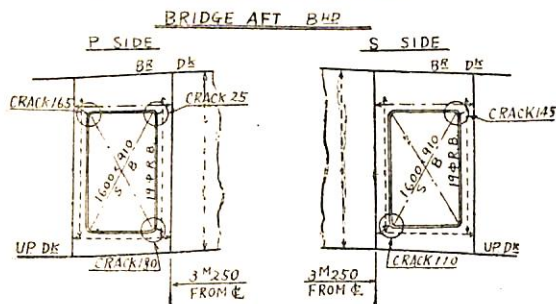


Fig. 4

は、deck girder が pillar を介して船底水壁のために押し上げられることが考えられている。この種の損傷の防止法は前記の甲板室側壁の Entrance の場合と同じであつて、crack 発生の原因是 strain にあり stress に換算すれば大きいが変位自身は 1mm 程度であるから、shearing strain がなるべく隔壁板に傳わらないようにすることが得策であると思う。

## 2. House End の損傷

House End の構造は船によつて様々であり、従つて損傷の状況も多種多様であつて、その主なものを擧げれば次の如くである。

- Horizontal Bracket の crack 発生
- Front Wall の crack 発生
- Top Angle および Bulwark Plate の crack 発生
- Top Angle と Bulwark Plate の固著鎖の弛緩
- Bulwark Plate と Shell の固著鎖の弛緩

Fig. 5 a および Fig. 5 b はその一例を示す。これらの損傷の直接の原因是それぞれの場合で異なるであろうが根本の原因是共通しており、これに關しては渡邊教授の御研究がある<sup>1)</sup>。それによれば船體が Hogging Moment を受けると上部構造は Fig. 2 に示すような變形を生じ、House End において上下の deck の水平變位の間に若干の差異が生ずる。このためこの部分で上下の deck を連絡する部材はかなりの strain を受け、大きな stress を発生して慣力集中部分に損傷を生ずるのである。これらの損傷を防止するためには、適當な expansion joint を設ける等この部分を通じて上の deck

Ⓐ Look & P. SIDE

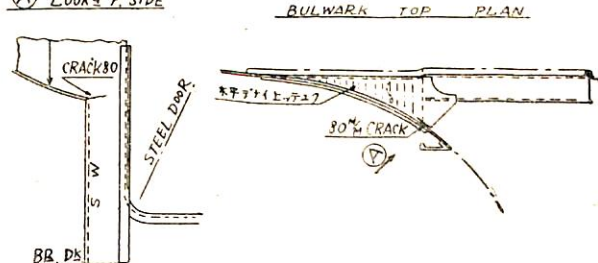


Fig. 5 a

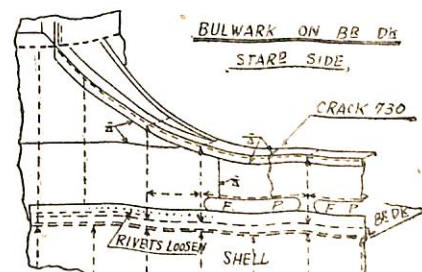


Fig. 5 b

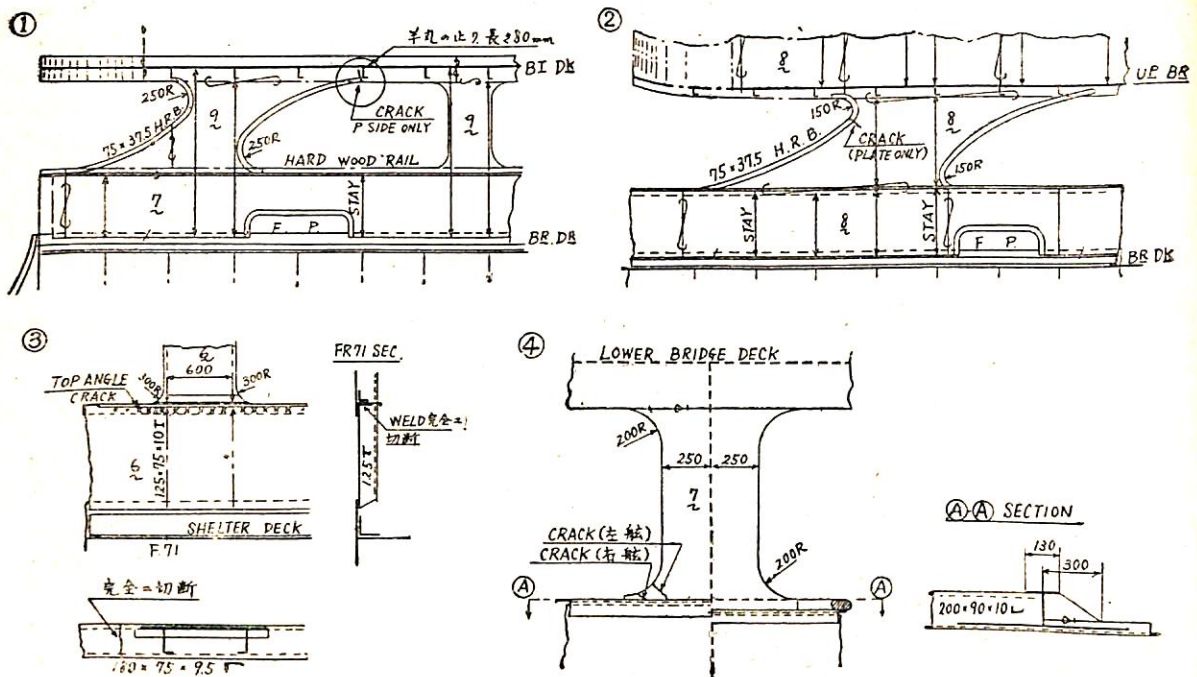


Fig. 6

へ stress が傳わらないような構造とすることが肝要であり、また構造の不連續部分には適當な R をつける等應力の集中特に注意する必要がある。

### 3. Side Screen Bulwark の損傷

Side Screen Bulwark の損傷は大部分が船樓後端部に一部が船樓前端部に発生しており、その主なものは Fig. 6 の如くである。これらの損傷はいずれも上下の deck の水平變位の差による shearing strain に起因するものであり、直接の原因はそれぞれ次の如きものと考えられる。

①:—Bulwark Plate より船首側の H. R. B. に導入された stress が H. R. B. の上端部で集中して Plate に伝えられるためにその部分の Plate が大きな stress を受け crack を生じたものと思われる。なお H. R. B. を Bulwark Plate の縁で止めずに上の deck のすぐ下まで延長している②ではこの部分に crack が発生していない。

②:—船尾側の H. R. B. はその方向より考えて Hogging Condition の場合に上端部附近では compression, その他の部分では tension を生じているものと考えられるが、②の船尾側 H. R. B. は上部にて急激にその方向を變えているため、Bulwark Plate より H. R. B. に導入された stress が crack 発生位置附近で集中して Plate に傳達され、そのため Plate に

crack を生じたものと思われる。筆者はさきに H. R. B. と有効幅の Bulwark Plate に對し W. Hovgaard の理論を應用して應力分布を概算した處、crack 発生位置附近で Bulwark Plate の stress の分布曲線に“こぶ”が出來、その値が強力甲板の max. stress の 4~5 倍に達することがわかつた<sup>4)</sup>。なお②の船尾側上部隅の R は 150mm であるが、この R が 250mm である①の場合にはこの部分には crack が発生していない。

③:—鉄接手は熔接接手より同一荷重に對する歪が大きいから、上の deck より下の deck に傳達される力はまず Top Angle と Stay の熔接部に集中してここに crack を生じ、次に全荷重が Top Angle と

Bulwark Plate の鉄接手にかかるて筋が弛んだものと思われる。すなわち Fig. 7 に示すように Side Screen Bulwark (以下 S. S. B. と略す) を簡単に矩形板と考えれば、上下の deck 水平變位の差によつて

S. S. B. の上下端に Shearing Force  $S_0$  および Bending Moment  $M_0$  を生じ、この  $S_0$  と  $M_0$  の反作用が S. S. B. より Top Angle に加えられ、更に鉄接手を通じて下の Bulwark Plate に傳達される。筆者はさき

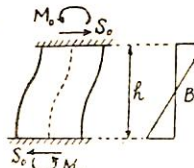


Fig. 7

に鉄の slip が鉄の shearing stress に比例するという假定のもとに Top Angle の上面に生ずる normal stress および鉄に生ずる shearing stress を計算した處、いざれも S.S.B. の前後縫の位置で max. となり損傷状況を大體説明することが出来た<sup>4)</sup>、またこの種の損傷の防止法を考えるために構造を種々変更して同様な計算を行つた處、Table 1 に示す如き結果を得た。但し  $\sigma_1$  および  $\tau_1$  はそれぞれ Top Angle の上面に生ずる

Table 1

	$\sigma_1/\tau$	$\tau_1/\tau$	$\sigma_c/\tau$
(A)	1.371	5.234	0.979
(B)	1.120	2.990	0.979
(S)	0.415	3.223	2.417
(B)	1.327	4.790	0.967

normal stress および鉄に生ずる shearing stress の S.S.B. の前後縫の位置における値、 $\sigma_c$  は Fig. 7 の  $M_0$  によつて S.S.B. の corner に生ずる stress であり、 $\tau$  は上下の deck の水平変位の差に  $G/h$  を乗じたものであつて普通強力甲板の max. stress の 0.8~1.0 倍程度である。また (A) は (S) の實際の場合、(B) は 鉄の pitch を半分にした場合、(S) は S.S.B. の stiffener をその中央に移した場合、(B) は S.S.B. の幅を 2/3 に縮小した場合であつて、いざれも (A) を基準とし上記の點のみを變更したものである。Table 1 より鉄の pitch を半分にすれば  $\tau_1$  が約 43% 減少し、stiffener を中央に移せば  $\sigma_1$  が約 70%， $\tau_1$  が約 33% 減少することがわかる。但しここで注意すべきことは stiffener を中央に移した場合には  $\sigma_c$  が非常に大きくなることであつて、このために次に説明する (4) と同様な損傷を生ずる虞れがある。なお (S) で 鉄が多數弛んでいるのは、Top Angle が切斷されたために上の deck より傳達される力を全部この部分の鉄で受持たねばならなくなつて次々に弛んでいったものと思われ、同様な他の例では S.S.B. の後縫の位置の一、二本の T のみが弛んでいる。

(4) :— crack 発生位置の stress は S.S.B. の corner に生ずる stress  $\sigma_c$  に應力集中係数を乗じたもので、 $\sigma_c$  が大きいことがこの損傷の原因と思われる。すなわち  $\sigma_c$  と S.S.B. の縦横比との關係を圖示すれば Fig. 8 の如くなり、(1) の場合には  $2b/h = 0.5$  であるから  $\sigma_c$  が非常に大きくなる寸法になつてることがわかる。 $2b/h$  を 0.2 以下に縮小すれば  $\sigma_c$  をかなり小さくすることが出来るから、この種の損傷を防止出来るよう思う。

以上 Side Screen Bulwark の損傷について一通り説

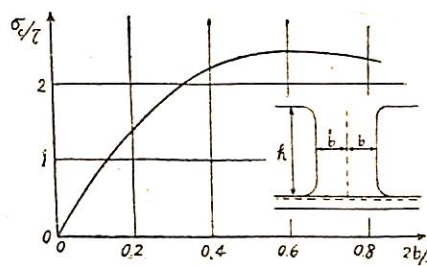


Fig. 8

明したが、この種の損傷の防止法を取扱めれば次のようになる。

①、②の場合: — H.R.B. の

上端は適當に taper させ、かつ Bulwark Plate の縁で止めずに上の deck のすぐ下まで延長する。また Bulwark Plate の隅の R は 250 mm 以上とし、H.R.B. が急激に向を變えるのを避ける。

③、④の場合: — S.S.B. の幅を 200mm 以下に縮小し、stiffener をその中央に設ける。

Top Angle と下の Bulwark Plate の結合は船樓後端部のみ特に細かい pitch の鉄とするかあるいは熔接とする。

なお以上の方法とは別に S.S.B. を通じて力が全く傳わらないようにこの部分の構造を切離し loose な結合とするのも一つの方法である。

#### 4. Bulwark Top Rail の損傷

Bulwark Top Rail の損傷は大部分が舷梯レセス前後端の Top Rail 屈折部に生じており、一部は構造上の不連續がある熔接接手に生じている。これらの損傷は

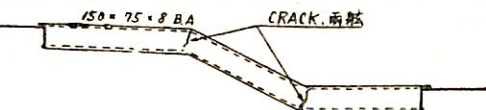


Fig. 9

Bulwark Top Rail に生ずる stress が輕視出来ないものであることを示しており、従つて舷梯レセス前後端の Top Rail 屈折部は適當な R をつける等應力の集中を生じないような構造とし、またその他の部分でも構造上の不連續を極力避け、接頭の工作等も充分注意する必要がある。

#### 5. Bridge End の損傷

Bridge End の損傷の一例は Fig. 10 の如くで、その主な状況は Shell および H.R.B. の crack 発生、H.R.B. の固著鉄の弛緩等である。これらの損傷は先に説明した House End の損傷とほぼ同じ原因によるものと思われるが、この場合には上の deck が強力甲板であるから、これに stress が傳わらないような構造とすることは不適當であつて、なるべく無理なく stress を傳達することが肝要である。そのためには外板の上縁の傾斜をなるべく小さくし、また構造の不連續を生じない

よう特に注意する必要がある。

## 6 その他の損傷

その他の損傷は Gang Way Corner の crack 発生が二件ある他はいずれも一件宛であるが、Fig. 11 に示す Bridge Deck の Centre Line Addl Girder の損傷は

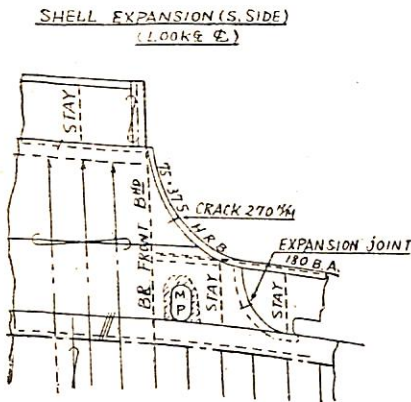


Fig. 10

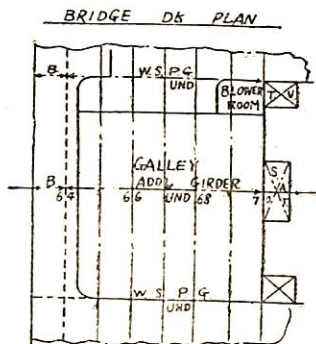


Fig. 11

により説明出来るように思う。すなわち Fig. 11 に示すようにこの船の Galley の周囲の Steel Wall は船體中心の Addl Girder, 兩舷の W.S.P.G. および beam によつて支えられているが、これらの剛性はいずれも Steel Wall のそれに較べて非常に小さい。従つて船體が Bending Moment を受けた場合に Fr 70~Fr 90 間の Engine Casing Wall が船體と同一の撓みを生ずる

注目に値する、この損傷は Addl Girder と deck plate の溶接部に crack を発生したものであるが損傷は最後部の one frame space 間のみに限られており、また同型船にも全く同様な損傷が発生した由であるから何かこの部分の構造に特有な原因があるように思われる。筆者は次のような考えのもとに計算を行つた處 損傷部に約  $40 \text{ kg/mm}^2$  の shearing stress が発生し得るという結果を得たので、この損傷の原因は大體これ

ものと假定すれば、Galley の周囲の Steel Wall の撓みと船體の撓みとの間には Fig. 12 に示すような gap を生ずる傾向があり、Addl Girder はこの gap のために

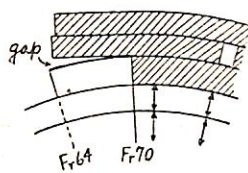


Fig. 12

大きな shearing stress を生ずるのである。もし Bridge Aft Bhd と Steel Wall の距離がもつと大きければ、Addl Girder の剛性が見掛上小さくなるため同一の gap に對し Addl Girder の受ける力はより小さくてすむわけで、この事はこの距離が 100 mm 大きい同型船では損傷が発生していない事實とも一應合致している。この種の損傷を防止するためには上下の Steel Wall の位置をなるべく一致させることが肝要で、もしそれが出来ない場合には却つてなるべく多く距てた方がよく、その場合には二つの Wall の間の部分で Girder 等がかなり大きな力を受ける可能性があるからこの部分の溶接は特に連續溶接とする必要がある。僅かばかりずれている構造は最も悪く、損傷発生の危険性が大きい。

以上船體上部構造の損傷について一通り説明したが、これらの損傷に共通な點はいずれも主構造の strain に起因していることであつて、溶接船にてつてか、crack の発生が急に増加ししかもその大部分が上部構造に発生している事實はこれを裏書きするものと思う。従つて溶接船の上部構造の設計に當つては鉄接船の場合よりも大きな strain を受けることを念頭において構造の不連續部の應力集中を出来るだけ小さくするよう注意することが肝要であり、また主構造の strain をなるべく上部構造へ傳えないように工夫することも一つの方法と思う。

## 文 献

- 1) 渡邊惠弘：“Bulwark 損傷原因の一検討” 船體構造委員會第七専門委員會資料、昭和 27 年 12 月
- 2) 山越道郎：“船樓後端隔壁エントランス損傷原因の一検討” 造船協會論文集第 94 號
- 3) 山越道郎：“船樓上室壁エントランス損傷原因の一検討” 造船協會論文集第 95 號
- 4) 山越道郎：“サイドスクリーンブルワーカーの損傷原因について” 造船協會論文集第 96 號
- 5) 山越道郎：“S 丸 Deck Girder の損傷原因について” 船體構造委員會第七専門委員會資料、昭和 29 年 3 月～8 月

# 船體構造についての實船研究

川崎重工業株式會社造船設計部

## 1 緒 言

船底凹損に関する損傷調査およびその理論的な解析は、目下各方面において研究され、その概要是既に多くの雑誌に掲載されており、充分御承知のことと思うので、ここではそのことについては餘り觸れぬこととし、川崎重工業株式會社の造船設計部が、戦後建造した船の構造に対する設計方針の一端と、その方針の下に設計建造された船の實績とを現在まで調査研究された範囲で紹介し、大方の御批判、御叱責を給うりたいと思う。

## 2. LONGITUDINAL SYSTEM と TRANSVERSE SYSTEM の構 造について

戰後わが國においても熔接技術の發達は目覺しく、鉄接手を殆んど熔接接手にて置換えられ全熔接の船も出現しつつあつた。われわれもその長所を大いに取入れ、熔接を廣範囲に採用し、工數、工期の短縮を計つたが、貨物船の船底部に關しては慎重なる態度をもつて臨み、熔接による歪、殘留應力等の影響が無害であるという經驗的な確證を得るのではなければ、外板に對して二重底フロア、フレームを熔接すべきでないとの信念から、第5、6、7次建造の貨物船の二重底構造はすべて鉄接構造とされた。勿論、その間われわれは工數、重量の増加を要する鉄構造を何時までも續けようと考えわけではなく、熔接構造にした時なんら心配なく、かつ最も熔接構造に適した高性能の船體構造を設計すべく、構造様式に對し根本より種々検討を行い、更に鉄構造と熔接構造の持つ性質の本質的な差異を調べるために基礎實験も行つた。その一例として一昨年關西造船協會に發表した「鉄接手と熔接接手の振動に對する減衰力の比較」の實驗を行い、兩構造の減衰力には大きな差異があり、「エネルギー」の傳達、および吸收の程度が全く異なることを知つた。これらのことから、熔接構造と鉄構造では、固着結合される兩部材がお互に他に影響し合う程度は特に動的な荷重の場合異なり、熔接構造では一方の部材が他方の部材に非常に影響することが分つた。また板に STIFFENER を配置する場合、STIFFENER の配置の方法により板の有効性が如何に變るか等の調査研究をも行つた。これらの研究の結果上甲板、および船底外板の如き縱強度の重要な部材は

### i) TRANSVERSE SYSTEM の構造では、假令熔接

歪による瘠馬が發生していないくとも、中心縦筋板、側筋板、縦板、DECKSIDE 等々の附近の板が 100% 有効に効いて、その中間の部分の板は 100% 有効には効かず、應力が理論値よりも低下しているということがいえるようである。特に板が薄い時には顯著に現れるようである。勿論瘠馬がある時にはこの現象が更に明確に表わされることが分つた。

ii) LONGITUDINAL SYSTEM の構造とし、外板、上甲板の板に LONGITUDINAL 方向に縦通材を配すると、縦通材自身が LONGITUDINAL MEMBER として効き、應力を受持つことは勿論であるが、梁を LONGITUDINAL 方向に配したことにより、外板および DECK PLATE の有効性が増加し、TRANSVERSE SYSTEM でみられるような STRESS REDUCTION は發生せず、外板、上甲板のどの部分も 100% 有効に LONGITUDINAL 部材として寄與することが出来るようである。勿論 LONGITUDINAL SYSTEM を採用すれば外板、DECK の熔接歪による瘠馬の現象の發生を防止し、瘠馬による船體強度の損失の問題は完全に解決され得る。

といふ結論に達したので、第8次前期の貨物船昭川丸の設計に當つて今までの鉄接横肋骨式二重底構造を熔接縱肋骨式二重底構造に全面的に切換え、同時に強力甲板も縦肋骨式に切換えた。昭川丸については“船舶”昭和29年3月號に中央切斷、船體構造圖等を掲載し詳しく述べてある。爾來わが社においては、この構造方式について更に検討を加え、新造の中型、大型貨物船にはすべてこの LONGITUDINAL SYSTEM を採用し、好評を頂いている次第であるが、當設計部では、第一船昭川丸の就航以來、LONGITUDINAL SYSTEM が TRANSVERSE SYSTEM に比し如何に優秀であるかを調査しつつあり、現在まで調査された結果につき報告し、参考に供したいと考える。ここに報告する調査事項の重なものは、

### i) 和川丸の處女航海における調査

昭和23年5月15日本船が完成し川崎汽船株式會社に引渡されるや、特に同社の御厚意により、當設計部より2名の技師の乗船を許可され、航海中の船體の性能について實際に觀察計測する機會を與えられ、この乗船實習により種々注目すべき現象を認見

することが出来た。

#### ii) 國川丸の航海中の調査

續いてわが社において建造された TRANSVERSE SYSTEM の貨物船國川丸について昭川丸と比較研究するため 川崎汽船の御厚意により神戸より横濱まで乗船を許され、その構造につき観察計測を行つた。

#### iii) 昭川丸第二回調査

昭和 21 年 11 月末再び昭川丸につき大阪より千葉の間乗船して調査を行つた。

#### iv) 瑞川丸の進水時の計測

昭川丸型第 2 船、瑞川丸につき進水時船體各所の應力を計測し、部材の有効性を調査した。

#### v) わが社建造の貨物船の就航實績について

戦後建造された貨物船の就航以來入渠の毎に船底を調査した結果について

### 3 實船についての調査結果

#### i) 貨物船昭川丸の處女航海における調査事項

##### a) 航海の日程

昭和 21 年 5 月 15 日神戸川崎重工離岸、比島「ラップ」向出港、19 日「ラップ」着、5 月 25 日荷役完了し鐵礫石 10,160 K.T. を満載して出港、5 月 30 日廣畠入港

##### b) 海上状態

往航は平穏で風力 1~3、ローリング  $\pm 1^{\circ} \sim 4^{\circ}$ 、ピッキング  $\pm 1.5^{\circ} \sim 0^{\circ}$  で 17 日少し風波あり、風力 4、SEA MODERATE ローリング  $\pm 5^{\circ}$ 、ピッキング  $\pm 2.5^{\circ}$  程度。

復航は最初は極めて平穏であつたが、29日に少し荒れ、風力 5~6 SEA ROUGH となり、波長 80 M、波高約 4M 以上の追波を受けた。ローリング MAX  $\pm 20^{\circ}$ 、普通  $15^{\circ} \sim 10^{\circ}$ 、ピッキング  $\pm 3 \sim 4^{\circ}$

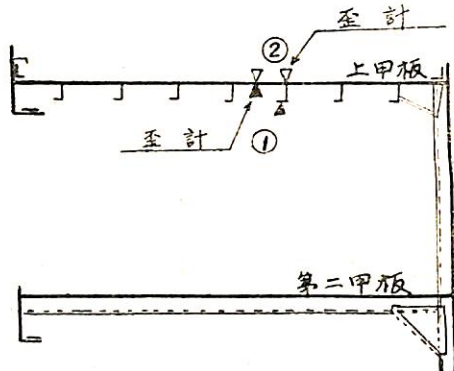
##### c) 船體關係調査事項

船體關係の諸項目につき調査實測が行われたが、ここでは船體關係についてのみ述べることにする。本航海で主として計測されたのは、

イ) 上甲板が LONGITUDINAL BEAM をも含めて一様に強力「メンバー」として働いているかどうかを調査するため MIDSIP 附近で上甲板および LONGITUDINAL BEAM に連続式簡易歪計を取り付け

・ LONGITUDINAL BEAM と DECK PLATE に同じ値の應力が発生しているかどうか。

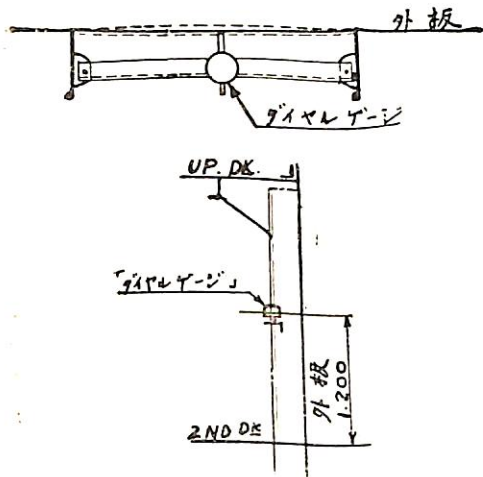
・ LONGITUDINAL BEAM の直上 DECK PLATE と LONGITUDINAL BEAM 間の DECK PLATE の應力が同じであるか否か。を調査した。歪計の位置は第 1 圖に示す。



第 1 圖

ロ) 船體に殘存する熔接歪が航海中船體強度に如何に影響するか。

熔接により發生する歪の除去についてはいろいろと工夫改善され、次第に少くなつて來ているが、本船についていえば LONGITUDINAL MEMBER の MAIN PART である上甲板、および船底外板は LONGITUDINAL SYSTEM を採用し、かつ POSITIONER による完全な下向の熔接と逆歪法を施行し、完全に熔接歪をなくしたが、船側外板と肋骨の固着については當社は本船以前の船には鉄固着を採用しており、外板に肋骨を直接熔接すると一體どういう現象が起るのか未だ不明で、本船において熔接が採用されたが熔接歪が平均 2~3mm 発生し、これら熔接の影響が船體の強度に對しどういう風に表れるか心配であつたので、外板の撓の計測を行つたわけである。その方法は熔接歪の發生している船側外板について、應力の比較的高く、しかも板厚の薄い MIDSIP 附近の SHEER STRAKE BELOW を擡んで肋骨間に次頁上圖の如く ANGLE をボルトで取付け、それにダイヤルゲージを固定し、船體が波により SAGGING または HOGGING MOMENT を受け外板に引張壓縮の應力を受ける時、外板が横方向に（點線の如く）撓むかどうかを調査した。同時にこのダイヤルゲージのすぐ下に歪計を取り付け、外板の撓の動きと同時にその時の外板の應力の變化を同時に計測した。初期歪は出港時 3.2 mm であつた。航海中 WAVE



BENDING MOMENT により、上甲板および上甲板の LONGITUDINAL BEAM に生じた應力および側外板の撓の計測結果を第2圖A～D圖に示す。

本航海では大した荒天には遭遇せず、上甲板に発生した WAVE BENDING MOMENT による應力は  $\pm 1.5 \text{kg/mm}^2$  程度であつたが、この計測により次の諸事項が明になつた。

- ① 計測  $\{C-1\}$  と  $\{F-2\}$  を比較して、DECK PLATE は LONGITUDINAL の上でも中間でも全く同じ大きさの應力が働いている。
- ② LONGITUDINAL BEAM にも DECK PLATE と殆んど同じ大きさの應力が働いており、LONGITUDINAL BEAM は LONGITUDINAL MEMBER として100%有効と考えてよいようである。
- ③ 外板の撓に関する計測  $\{A-1\}$ ,  $\{A-2\}$ ,  $\{F-1\}$ ,  $\{B-1\}$  より、外板に初期歪のある場合波による BENDING MOMENT により、外板に働く應力が、 $0.1 \text{kg/mm}^2$  以下の如き非常に小さい所でも容易に横方向に外板が撓み、初期歪が約 3 mm の場合は、上甲板の應力の變動が  $\pm 1.5 \text{kg/mm}^2$  程度になると外板が約  $\pm 0.2 \text{mm}$  撓むという今まで全く知られていないかつた事實を發見したのである。

前述の如く、測定箇所は上甲板と第2甲板との中間で、LONGITUDINAL BENDING STRESS は上甲板に比し相當低い、箇所であるにかかわらずこのようち應著な現象が現れているのであるから、上甲板、船底にこれと同じ程

度以上の 熔接歪がある時もと SEVERE CONDITION の天候に遭遇すれば如何なる事態が發生するかは想像に難くない。幸い本船は前述の通り上甲板および二重底に LONGITUDINAL SYSTEM を採用しているため、この問題に對する心配は皆無である。

#### ハ) 荷役中およびその前後に亘つての計測

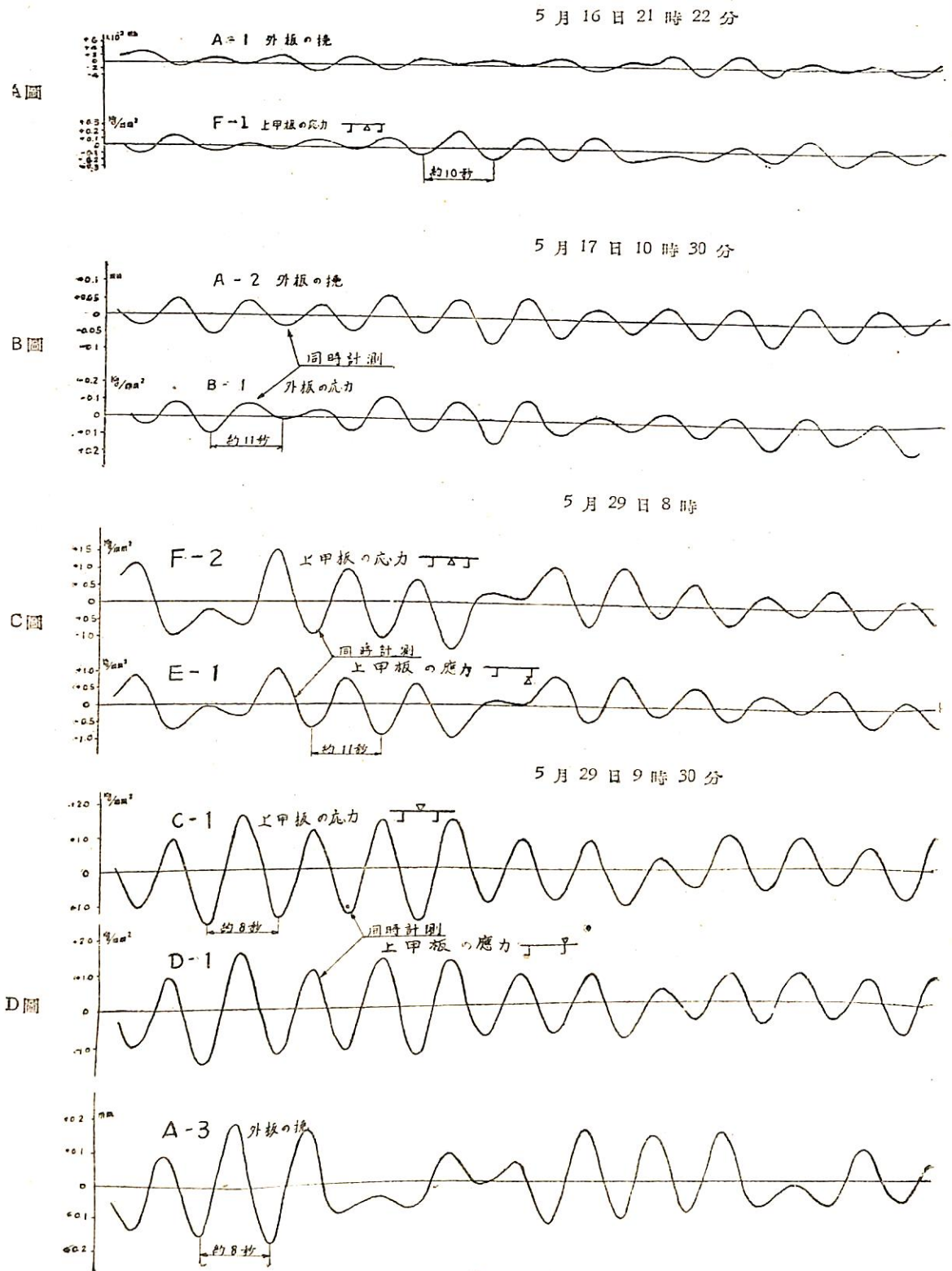
比島ラップ港における鐵礫石の荷役中を通じて、毎日數回に亘つて外板の撓および上甲板の應力を連續計測した。計測結果を第3圖に示す。この圖により分ることは

① 荷役が進むにつれ、船體の HOGGING MOMENT が増大し、外板、甲板に TENSION が加るため、外板の撓は次第に減少している。太陽の直射の影響のない午後8時頃の値を比較すると、CARGO による STILL WATER BENDING MOMENT が  $3.5 \text{kg/mm}^2$  程度増加しこの HOGGING MOMENT のため外板の撓が  $0.7 \text{mm}$  減少している。上甲板の應力計測は CO<sub>2</sub> BUTTLE ROOM の天井になる所で行つたから、上部構造のため直射日光をその上甲板に受けることはなく、温度による影響は餘り入っていないようである。

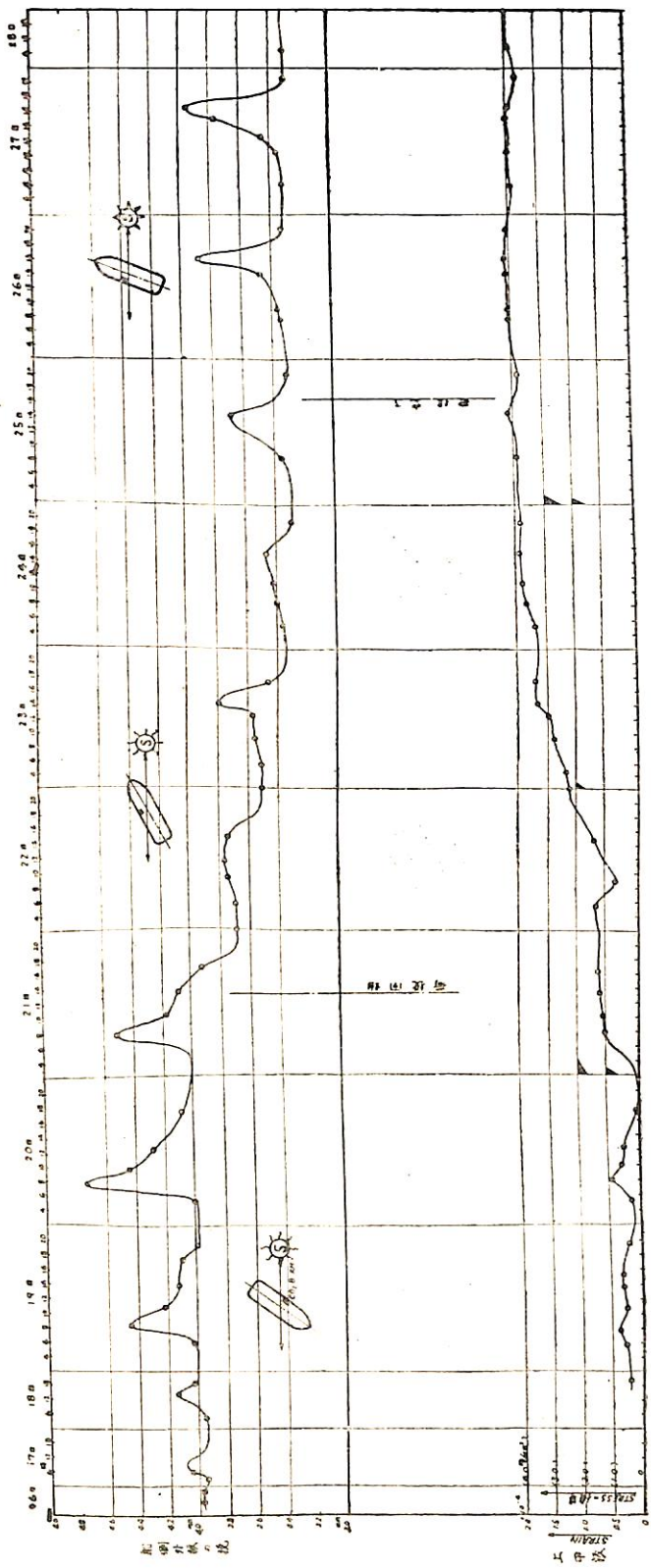
② 計測している箇所の外板に太陽の直射光線が當ると、急激に外板が膨脹して撓が増大する。假えば20日の外板の撓變化をみると、朝太陽が昇り8時頃になると丁度太陽が左舷側外板を最も強く熱するため、外板が膨脹しようとするが第2甲板、上甲板がそれ程温度が上昇していない故伸びず、側外板の船の長が上昇しないまま伸びるため、外板は横方向への膨脹を拘束するため、外板は横方向にふくれて逃げようである。太陽が直上から右舷にまわると温度は下り撓は減少する。荷役中は船體は大體東西に向いているためこの影響はなく、復航には午後4時頃、MAX. が出ている。

#### 2) 貨物船、國川丸の乗船計測について

- a) 航海日程…昭和28年5月29日神戸出港5月30日、7月1日それぞれ名古屋、清水港に寄港し7月1日午後4時過横濱に入港下船す。
- b) 海上状態…本航海は不幸にして平穏な航海であったため、餘り定量的な計測は出来なかつたが、定性的な事は充分把握出来たように思う。海上は連日 SEA : MOOTH～MODERATE で船體の



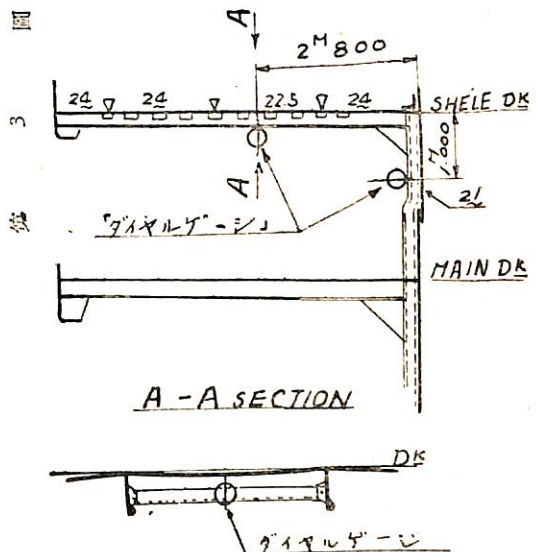
第 2 圖



「ビッヂング」は0~0.5、「ローリング」は±2程度であつた。

### c) 調査事項

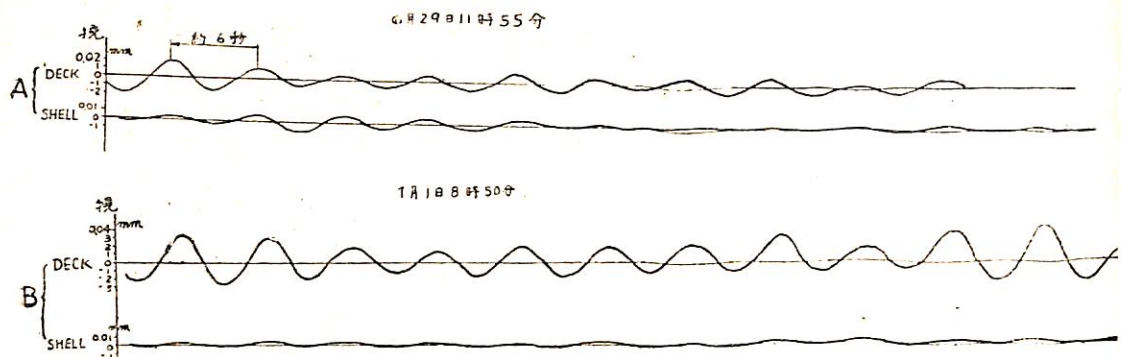
本船は第7次建造の ALL TRANSVERSE SYSTEM で船側外板と肋骨が RIVET で固着され、外板には腐馬の現象が全然みられない、また二重底の肋骨、肋板と外板もすべて RIVET されこれまた腐馬は全然ない。上甲板は BEAM が「セレーション」をして熔接されており、DECK PLATE に熔接による歪が発生している、これらの熔接および鉛接構造の DECK および側外板が航走中受ける WAVA BENDING MOMENT により如何なる現象を起しているのかを調査した。船底外板も計測したかつたが、FUEL OIL が満載されており不可能であつた。應力は歪計を取り付ける準備期間がなかつたので取止めた。DECK 外板の撓の測定方法は昭川丸で行つたと全く同じ方法で第4圖に示す如く、



第4圖

NO 3 UPPER TWEEN DECK CARGO SPACEにおいて、遮浪甲板の裏面の2カ所と、舷側厚板の DECK SIDE より下方 1M の所に「ダイヤルゲージ」を取り付け、外板の撓変化を測つた。

初期歪は上甲板の FR. 110~111 間で 1.2 mm, FR. 108~109 間で 2.6 mm 外板の



第 5 圖

FR. 95~96 間には歪はなかつた。  
航海中 WAVE BENDING MOMENT により生ずる應力により、側外板に發生した撓變化の計測結果を第 5 圖に示す  
“A”...{DECK...FR. 110~111}  
{外板...FR. 95~96 }...  
...SEA MODERATE SWELL 4  
“B”...{DECK...FR. 103~109}  
{外板...FR. 95~96 }...  
...SEA SMOOTH SWELL 1. 風力 1

“A”は乗船中最も海上状態の悪かつた時で、外板も  $\pm 0.01\text{mm}$  程度の動きをみせており 上甲板は  $\pm 0.002\text{ mm}$  程度である。もし FR. 108~109 の撓の多い所で計測すれば “B”での DECK と外板の動き方よりみて非常に大きかつたであろうと思われる。

“B”は外板が殆んど動かぬが DECK は相當よく動いていることが分る。

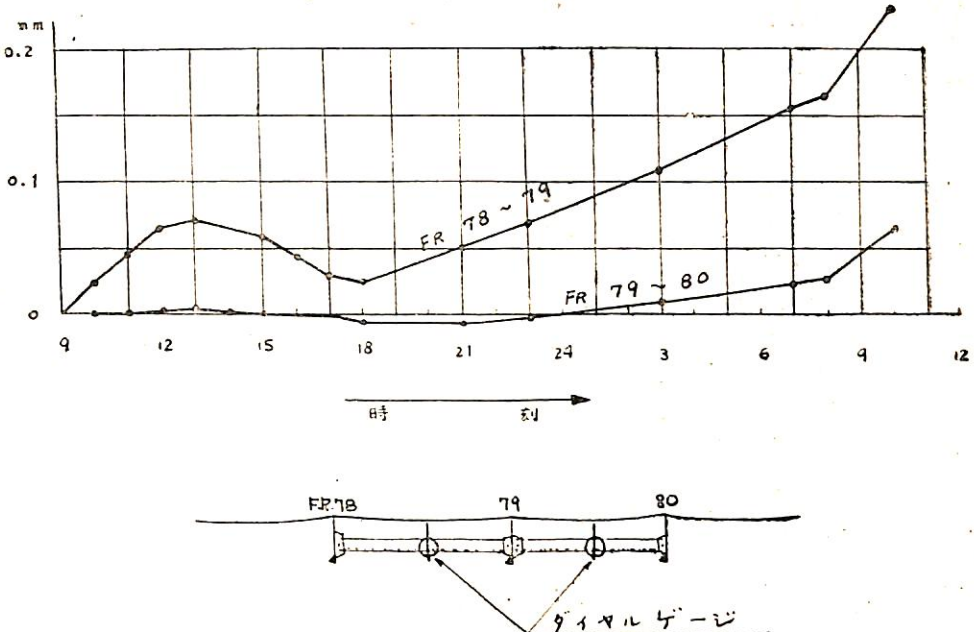
本航海で分つたことを述べると、

- ① ごく少しのうねりがあつても量は小さいが DECK においては撓の変化が明瞭に表われ、初期歪が大きい程顯著である。
- ② 昭川丸の側外板(熔接)と國川丸の側外板(鉄接)を比較して、瘠馬のない國川丸の外板が撓の変化量は遙かに少い。しかし鉄接構造でも微小ではあるがこの現象が生じている。
- ③ “A”と“B”とを比較して外板の撓の大きさが殆ど同じだが、DECK の方は初期歪が 1.2 mm から 2.6 mm となると DECK の撓が急に大きくなるようである。

本船の上甲板は、TRANSVERSE BEAM の熔接により 1~3 mm の初期歪が發生しているが、回損の DAMAGE は未だ發生していない。一番心配な BOTTOM は FLOOR, FRAME とも鉄

接で全然回損の事故は發生はしていない。

- 3) 貨物船、昭川丸第 2 回乗船計測について  
昭和 28 年 11 月 28 日~12 月 3 日に亘つて大阪港より千葉港までの間、昭川丸に乗船し、各種計測を行い、新に次の事項を發見した。  
千葉港における一晝夜に亘る石炭の陸揚げ作業中、外板の撓を相隣れる PANEL で連續計測した所、撓の変化の仕方はほぼ似ているが量が違うことを發見した。
- 4) 瑞川丸の進水時の應力計測について  
TRANSVERSE SYSTEM においては二重底内底板の有効度が減少することがいわれているが、LONGITUDINAL SYSTEM では内底板に LONGITUDINAL BEAM を配し、PLATE の有効性を 100% に期しているわけであるが、果して 100% 有効に働いているかどうかを試験した。詳細は紙面の都合で割愛することとし結論だけを述べると、  
① 二重底内底板の横方向の應力分布は、GIR. SIDE GIR. MARGIN PLATE の箇所でもまたそれら WEB の中間でも皆一様である。
- ② 内底板の應力と船底外板の應力を比較し理論値とくらべるとよく合い、内底板には大體理論通りの應力が入つてることが分り、LONGITUDINAL SYSTEM の二重底では全内底板が 100% LONGITUDINAL MEMBER として有効であることが分つた。
- 5) 就航貨物船の實績について  
最後に最も重要なことであるわが社建造の LONGITUDINAL SYSTEM, TRANSVERSE SYSTEM の貨物船の就航實績について述べよう。  
戰後當社は 10,000 T 級航洋貨物船を既に 10 隻建造し、その中 3 隻が船底および上甲板に LONGI-



第 6 圖

TUDINAL SYSTEM の熔接構造を採用しており、他の 7 隻は鉄接の二重底構造である。これらの船は全部北太平洋のコースを航走して、數多くの荒天に遭遇しており、中間検査、定期検査、その他修理のため入渠する毎に、當社検査部および設計部にてその船體を詳細に検査し、特に船底凹損の発生に気を配つてゐるが、幸い未だ凹損の発生した船は 1 隻もなく、特に LONGITUDINAL SYSTEM の船については、船臺にて建造中に初期歪を計測して置き、就航後入渠する毎に毎回船底の全長に亘つて外板の歪を計測しているが、歪の成長は全くないといつてよい。

特に昭川丸は、23 年 12 月第 6 次航において、神戸、ヴァンクーバー間で非常に SEVERE な海上状態に遭遇しているが、船首船底には「スランミング」による DAMAGE ではなく、中央部の船底にも異状はみられなかつた。

#### 4 結 言

以上は今まで當社において行われた乗船實習によつて調査研究された事項の中、特に興味ある船殻関係の事項を御紹介したもので、これら實船研究は更に大々的に繼續して行う予定であり、將來特に船首船底についても實船研究を行いたいと考えている。これらの調査研究に

よりおれわれは船體構造を RULE にばかり頼らず、實船より得た ACTUAL の DATA を参考にして、構造を研究改良して行きたいと考えている次第である。

#### ・新刊案内・

##### 外國商船寫眞集 定價 200 圓 送料 16 圓

船舶寫眞文庫 (1) B6 版 64 頁

世界各国の主要客船 (概ね 1 萬トン以上)  
60 隻の寫眞と要目集

##### 航海計器研究ノート (第 1 集)

商船大學助教授 茂在寅男編纂  
B5 版 160 頁・圖版 144・3 色刷・(内容見本呈)  
定價 400 圓・送料 32 圓

海上技術習得者、船舶儀裝技術者の必携書

#### 發 行 所

舟艇協會出版部 東京・銀座 3 の 2  
振替 東京 25521 番

# 開口部の補強構造に関する試験 研究概観 (1)

安藤文隆  
造船技術研究所船体構造部

## まえがき

船口その他の甲板開口部は昔から船體の構造上、重大なウィークポイントとして設計者の頭を悩まして來た場所である。しかるに船に熔接が全面的に採用されるのと殆んど同時に主として米國で起つた脆性破壊事故により、この開口部の弱點は更に重大な問題として認識を新たにしなければならなかつた。現に當時脆性破壊をした船を調べると、この船口隅附近から龜裂が生じている場合が非常に多く、船口そのものが一つの切欠ぎとして作用していることが明らかになつたのである。それ以來熔接構造としての船口隅の實驗的な研究がいろいろ行われて來た。そこでここでは戦後の開口部の熔接補強構造に關しての研究として、次の四つの實驗についての概要を紹介しよう。

- I. カリフォルニア大學で行わられた大型模型による船口隅構造の研究
- II. ワシントン大學で行わられた開口部の補強に關する研究
- III. 造船協会構造委員會で行わられた船口隅二重張の有効性、特にその大きさに關する研究
- IV. 造船研究協會で行わられた大型模型による船口隅部二重張の形狀に關する研究

## 各試験について

- イ) 試験の概要
- ロ) 試験の経過と結果
- ハ) 結論
- ニ) 文獻

の四項目に分けて述べる。各試験について詳細に調べてみるといろいろと氣づいた點が多いが、筆者の意見はなるべく本文中には入れず、あとがきの項にまとめて簡単に触れておく。

## I. カリフォルニア大學で行わられた試験

### イ) 試験の概要

前述のように今次大戰末期頃より起つた全熔接の脆性破壊事故が殆んど船口の附近から起つていたので、米國造船構造委員會はこの問題を取上げ、船口隅の實物大の構造模型を作つてカリフォルニア大學の DeGarmo 等が主にかつて實験を行つた。

この實験は始め、材料、温度、工作法等の影響を見るための試験<sup>3</sup>を行つた後、種々の設計法の比較を室温で

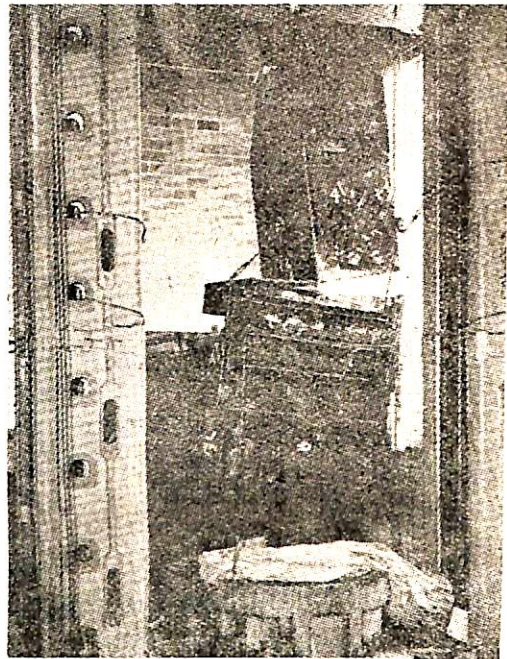


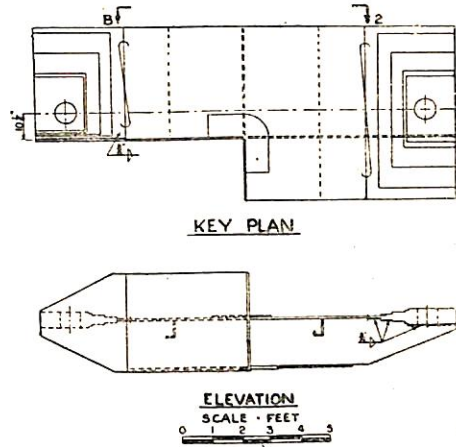
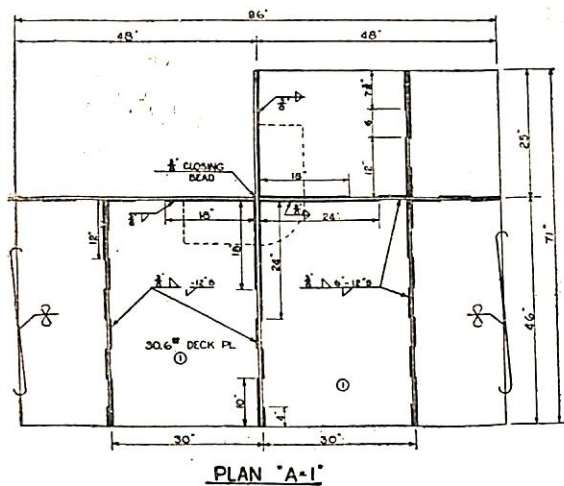
写真 1. Specimen 4: Overall view from above

行つている。この設計法の比較の實験に用いた試験片は、まず當時非常に損傷の多かつたリバティー型のものを一つ作り、これを基本型として、いろいろ改良したものを多數作つて、最大荷重、吸收エネルギーを比較し、優劣を判定している。ここでは主として後者の設計法の比較の試験について述べ。前半の試験については後で簡単に觸れる。なおこの試験に用いた試験片の大きな特徴は、試験片の寸法を實物大に近いような大きなものとするために船口全體の模型を作らないで写真 1 の如くその一隅だけを取り出した L 字型の模型を用いていることである。この方法は後に述べる IV の試験でも採用された。

### ロ) 試験の経過と結果

まずこの試験に用いられた試験片は次のような種類のものである。

- |                            |       |
|----------------------------|-------|
| No. 5 基本型                  | (第1図) |
| No. 27 縱桁を連續にしたもの          |       |
| No. 28 ガゼット補強              |       |
| No. 29 隅に R をつけたもの (二重張なし) |       |
| No. 30 同上 (二重張あり)          | (第2図) |

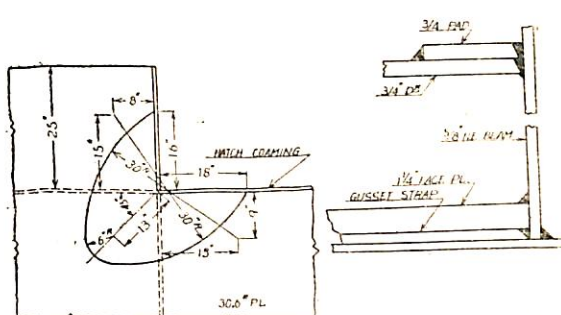


第1圖 基 本

- No. 31 英國型 (第3圖)
- No. 32 深溶け込み熔接
- No. 33 舱口縫材を延長したもの (第4圖)
- No. 34 A B S型
- No. 35 ケネディー型 (第5圖)
- No. 39 U.C.型

第1圖の基本型は初期のリバティー船に用いられていて、そのまま模型にしたもので、甲板、縦桁、船口端梁の三つの主強力部材から出来ている。また角部にやや小型の二重張がつけてあり、甲板と船口縫材に隅肉熔接で取付けている。船口端梁と縦桁の交叉點では船口端梁の方を連續にしている。ここを逆に縦桁の方を通したのが No. 27 試験片である。

No. 23 は船口端梁と船口桁を交叉部附近で三本の斜材で結び、隅の角の所に 24" の R をもつた板を取りつけたもので初期のリバティー船の補強としても採用されていたものである。第2圖に示す No. 30 は後期のリバティー船に用いられたもので、甲板の隅に R をつけ、こ



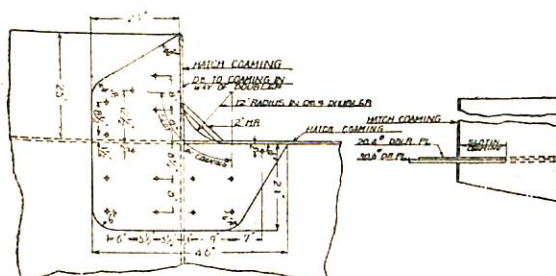
第3圖 英 國 型



第4圖 No. 33

の甲板と船口縫材が交叉する所では縫材に切込みをつけている。また非常に大きな二重張をつけたのが特徴で、この二重張の効きを見るために、No. 30 と全く構造が同じで二重張がないものの試験を行った。これが No. 29 である。

英國で修理・改造した船は第3圖のような型式が用いられていたので No. 31 試験片としてこの強度を調べた。この型式の主な特徴は次の三つである。すなわち圖示した如く、甲板および二重張と船口縫材との間に深溶け込み熔接 (full penetration weld) を用いていること、特殊な形の二重張をついたこと、そして船口縫材と船口桁間に三本の斜材を取付けたことである。この内



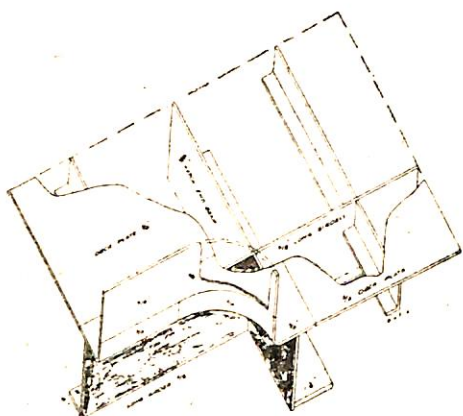
第2圖 No. 29

第一の深溶け込み熔接は特に他と變つてゐるので、この影響だけを調べるために基本型と同じ型式で深溶け込み熔接を行つたものが No. 32 である。

No. 34 は A B の設計になるもので次のような特徴がある。

- i) 暗部で甲板に 18" の R をつけたこと
- ii) 舱口縁材は縦桁および舱口端梁の位置から離したこと
- iii) 縦桁の方を貫通させたこと (No. 27 と同じ)
- iv) 舱口縁板を 1 肋骨間だけ延長 (No. 33 と同じ)
- v) 主桁の交叉點の底部に大きな一材のフランジをついたこと
- vi) 交叉部では熔接の集中が起らぬように適當にスニップしたこと

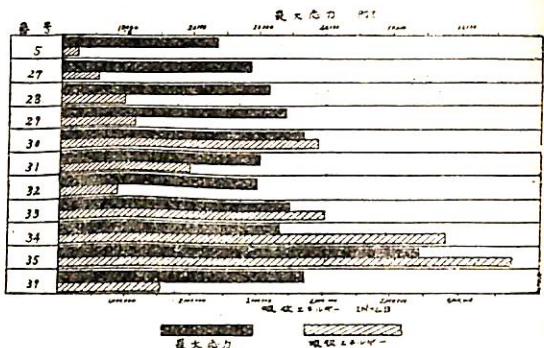
次の No. 35 試験片はカリフォルニア大学のケネディーが前に考案した小型試験片の形式をそのまま採用したもので、第 5 図に示すように隅に高温加工した縁材を取



第 5 図 ケネディー型

り付けてある。この縁材には二重曲率を持たせたのであるから、加工や修理は勿論非常に面倒である。最後の No. 35 はこの実験の計画外であつたが、カリフォルニア大学が独自の立場で設計したものである。その特徴は今までの試験片は皆縦桁、甲板、舱口端梁の三つがお互に直角に交わり、この點で剛性が非常に大きくなつてゐたので、この試験片ではこの交叉點で箱型とし可視性を持たせた特殊な構造にしたものである。

實際には材料が悪かつたりしてこれより試験片の數は多かつたが、大體以上の如きを用いて破壊試験を行い、最大荷重、吸收エネルギーを比較した。途中弾性範囲での歪も測定しているが、この試験では補助的に扱つてゐる、一般的な破壊状況を述べると、No. 30 の二重張の



第 6 図 最大應力および吸収エネルギー

一部以外は全部脆性破壊であつた。大體 1,200,000 lb を越えるとまず初めに二重張と横方向縁材の熔接部に亀裂が生じ、次第に生長し、口を開いて行く、そして最終的破壊は開口の角から始まり、甲板が完全に破断した。縦桁と舱口端梁の取合部も、甲板の破壊と同時に殆んど完全に壊れた。

さて以上の試験による最大應力および吸収エネルギーを一覧表にすると第 6 図となる。簡単な考察を行うと No. 27 の如く縦桁の方を貫通させたものでは基本型に較べて吸収エネルギーは 140% 近く増えている。また角に R をつけ大きい二重張をつけると (No. 30) 最大荷重で 52% 吸収エネルギーで 1,610% も増える。但しこの二重張がないと (No. 29 の場合)、これより應力で 6.5%，エネルギーで 71% 以上減少してしまう。

つまり二重張の効果は非常に大きい。No. 31 の英國型はエネルギー吸収が 765% も増えて豫想以上によく、深溶け込み熔接、およびこのような二重張は伸々効果的である。但し深溶け込み熔接だけの影響は No. 32 より分るようにエネルギー吸収で 80% 増大しているのが分る。

次に No. 33 というものは縁材を 1 肋骨間だけ延長したものだが、簡単な補強の割には強度が相當増している。No. 34 の A B S 型は豫想された如く非常に強かつた。最大應力は特に大きいといふ程ではないが、これは有効断面積として他より多くの部材まで算入したためで、最大荷重は次の No. 35 に次いで三番目である。吸収エネルギーは 1,990% 増である。

No. 35 のケネディー型は極めて優秀で、最大荷重はこの試験中で最大で、平均應力が降伏點を越えている唯一のものであつた。吸収エネルギーも最も大きく、基本型の 2,840% 増である。破壊のとき角部で相当大きなくびれが認められ、また破断が角で起らなかつたことはこの試験片の最も大きい特徴である。最後の No. 29 はクリ

	鋼材種類	使用溶接棒	試験温度	最大應力	吸収エネルギー	破壊様式	備考
温度の影響	C	E 6010-E 6020	32°F	23,200psi	—	脆性型	
	C	"	68	24,000	—	"	
	C	"	72	24,800	—	"	
	C	"	100	27,400	788,000in-lbs	"	
	C	"	120	25,600	484,000	剪断型	
	C	"	142	29,200	860,000	"	
	C	"	32	23,200	—	脆性型	
溶接棒の影響	C	Murex HT S	32	23,600	180,000	"	
	C	310(25-20)	32	27,700	232,000	"	
	C	E 6010-E 6020	72	24,800	—	"	
豫熱の影響	C	"	72	29,400	—	"	
	C	"	70	32,600	1,046,000	"	400°F豫熱
	C	"	70	32,800	1,358,000	"	"
	C	"	72	24,800	—	"	
工作法の影響	C	(鉛)	70	20,900	790,000	"	
	C	(鉛)	70	20,600	588,000	"	
	C	E 6010-E 6020	32	23,200	—	"	
鋼材の影響	D	"	32	25,900	—	"	
	C	"	72	24,800	—	"	
	D	"	72	27,800	1,196,000	剪断型	
	C	"	70	32,800	1,358,000	脆性型	400°F豫熱
	D	"	31	33,000	952,000	"	"

ップのアンダーカットの所から壊れて了つたので得られた吸収エネルギーは本當の値ではない。破壊直前にはNo. 35と丁度同じように甲板にくびれが起りかけていたのでクリップの缺陷がなかつたら吸収エネルギーはもつとずつと大きな値を示したと思われる。No. 35とNo. 39がよかつた原因の一つは、甲板の縁が直接露出していないなくて、縁材で包まれていることであろう。

以上が設計法の研究結果であるが、カリフォルニア大学で行われた同様の実験について一寸觸れると、ここに述べた試験の前に DeGarmo その他の人々が同様な模型で温度、材料、溶接棒等の影響を調べている<sup>3)</sup>。また Boedberg 等がこれよりもやや小型の試験片で材料や温度を變えて遷移温度を出しているが<sup>4)</sup>、これは船口隅の試験というよりも船口隅を單なる切缺ぎと拘束を與える手段としての試験なので割愛し、前の試験の結果だけを簡単に表にして上に掲げる。

#### 八) 結論

i) 溶接船口隅を改良して行くには二つの方法がある、一つは應力が集中する所を部材をつけて補強し、固めて行く方法、他は剛性を出来るだけ減らして、柔らかい構造として塑性変形が無理なく起るようにする方法で

ある、一般に後者の方が優れていると考えられる。

ii) 船口附近では主應力は縱方向（船首尾方向）に向つてゐるから、船口隅附近の縦桁の方を貫通にした方がよい。

iii) ケネディー型のように隅に二重曲率をもつた高温加工の縁材をつけると強度上からも吸収エネルギーからも非常によくなる。

iv) 剛な設計の場合の簡単で有利なものは縦方向縁材を少くとも 30" 延長することである。これだけで最大應力は 45% 吸收エネルギーは 1,645% 増大する。

v) リバティー船の補強に用いられたようにガゼット板をつけ、また桁間に斜材をつけることは相當有効である。

vi) 英國式補強は v) と同じ位の強度があつたが、吸収エネルギーはその約倍位あつた。

vii) A B S 設計は非常に優れていた。この二重張の効果は強度に對しては僅かだが、吸収エネルギーは二重張のないものの 76% 位増加する。

viii) 甲板および二重張と縁材の間に深溶け込み溶接を行つたものは、縦桁貫通でなかつたにかかわらず、強度で 24% 吸收エネルギーで 280% 増加した。

ix) U.C. 設計は熔接の缺陷のため早く破壊したので直ちに結論が下せたいが箱型のガーダウェブを使うと船口端梁の結合部に可撓性が増すようであり、更に研究の価値があると思われる。

## 二) 文 献

1) DeGarmo, E. Paul, "Tests of Various Designs of Welded Hatch Corner for Ships." Weld. J., Feb. 1948.

2) DeGarmo, E. Paul, Boodberg, A., "Causes of Cleavage Fracture in Ship Plate: Hatch Corner Design Tests." Committee on Ship Construction; Serial No. SSC-16, Dec. 1947.

但しこの報告にはカリフォルニア大学の自主的な試験である U.C. 型についての記述はない。

3) DeGarmo, E. Paul, Merian, J. L., "Causes of Cleavage Fracture in Ship Plate: Hatch Corner Tests." Committee on Ship Construction; Serial No. SSC-5, Oct. 1945.

4) Boodberg, A., Parker E. R., "Causes of Cleavage Fracture in Ship Plate, Tests of Restrained Welded Specimens and Hatch Corner Specimens of Mild Steel." Committee on Ship Construction; Serial No. SSC-27.

5) Boodberg, A., Parker E. R., "Causes of Cleavage Fracture in Ship Plate High Yield Strength Structural Steel." Committee on Ship Construction; Serial No. SSC-28.

この他に Ship Structural Committee が米政府への報告として 2) を基にした次のような船口隅の設計要領がある。

6) "Considerations of Welded Hatch Corner Design" by Ship Structure Committee, Oct. 1952  
(同文が: Weld. J. July, 1953 にある)

## II. ワシントン大学で行われた実験

### イ) 試験の概要

この実験は前のカリフォルニア大学で行つたような具體的な構造物ではなく、もつと基礎的なものである。引張を受ける板に種々の形の孔をあけ、二重張や内挿板をつけたときの

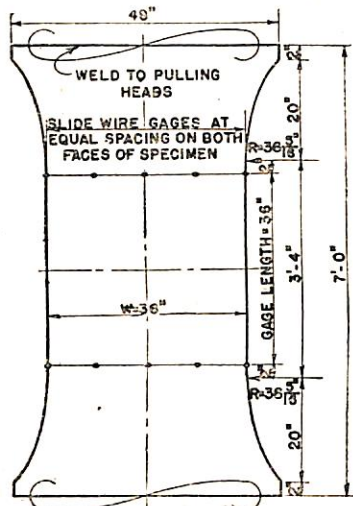
強度をいろいろな角度から研究した非常に広大な実験である。解析法も塑性域での八面體理論を用いたりした新しい試みもあり、全體が纏まると面白いものにならうが、最終報告がまだ出ていない様子なのでここでは今迄の中間報告に基いて概要を述べよう。

### ロ) 試験の経過と結果

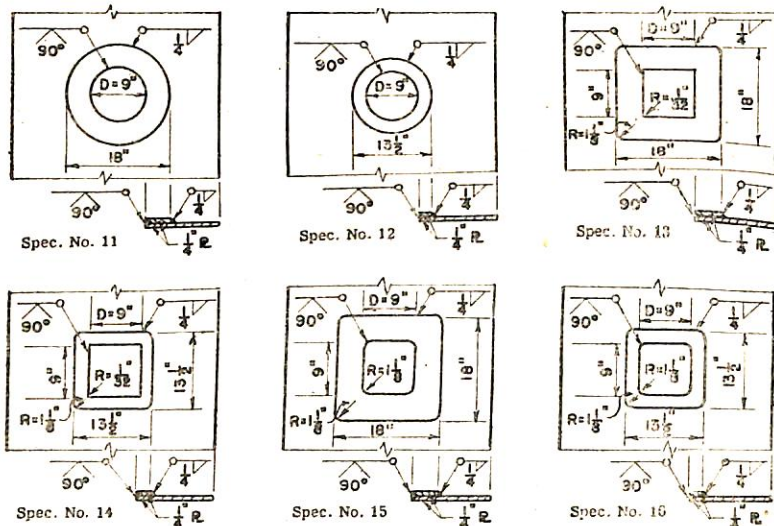
今迄の所この試験には次の二つの系列がある。

1) 開口の形状および補強板の形状、形式が強度に及ぼす影響(常温試験)<sup>1)</sup>

2) 試験片の寸法、補強板の形状、および温度が強度に及ぼす影響(低温試験)<sup>2)</sup>



第7圖 試験片寸法



第8圖 開 口 部 詳細

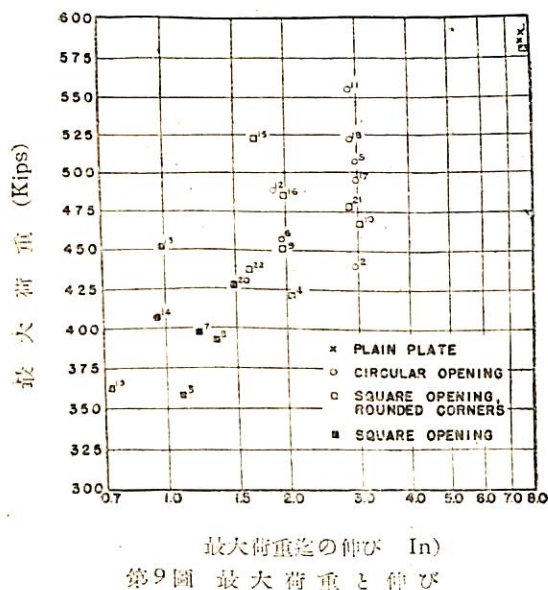
ここでは主として 1) について述べ 2) の影響について簡単にまとめておく。

### 1) 常温試験

試験片は第 7 図のような幅 36", 平行部長さ 3'-4" 厚さ 1/4" のセミキルド鋼板で中央部に第 8 図のように開口を設け、その周りを補強したものである。その種類は

開口のないもの	2 枚
開口のみ	3 枚
面材で補強したもの	6 枚
二重張で補強したもの	6 枚
内挿板で補強したもの	6 枚

開口の種類は圓、四角、隅を圓めた四角の 3 種、補強材の寸法は 2 種で合計で 22 種 (23 枚) の試験片を用いた。全體的な伸びは 36" のゲージ長で計り、また開口の周邊および横断面に沿つて SR-4 型歪計で應力分布を出している。破壊状況は全部剪断型であつた。最大荷重は第 9 図の如く圓、隅を圓めた四角、四角の順で低くなり、また補強度 (補強のないものが %, 丁度開口の断面

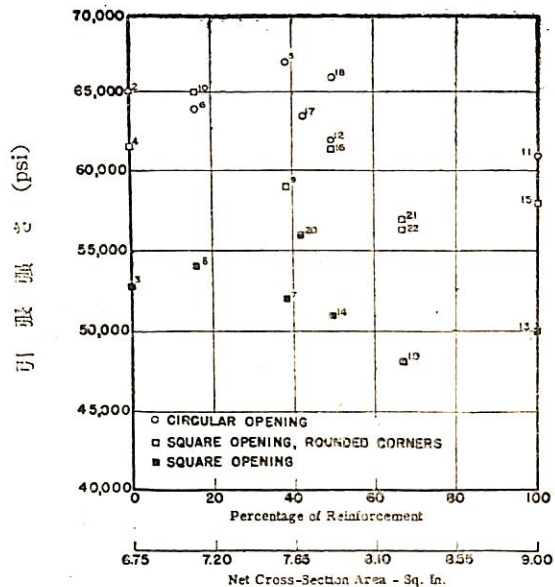


第 9 図 最大荷重と伸び

積に等しい補強が 100% とする) が上のにつれて各場合共最大荷重が増している。所がこれを断面積で割つた引張強さに直して見ると第 10 圖の如く補強度が増加する程強度が落ちるのが分る。

また開口の形によつて非常に變るのは隣の R の影響なので開口の半幅  $R_o$  と隣の R の半径  $R_n$  の比  $R_o/R_n$  で解析すると、結果引張強さは  $R_o/R_n$  の対数に比例して減少している。

次に吸収エネルギーについて見ると、破壊までのエネルギーは四角のものと、圓および隅を圓めた四角といふ



第 10 圖 補強度と引張強さ

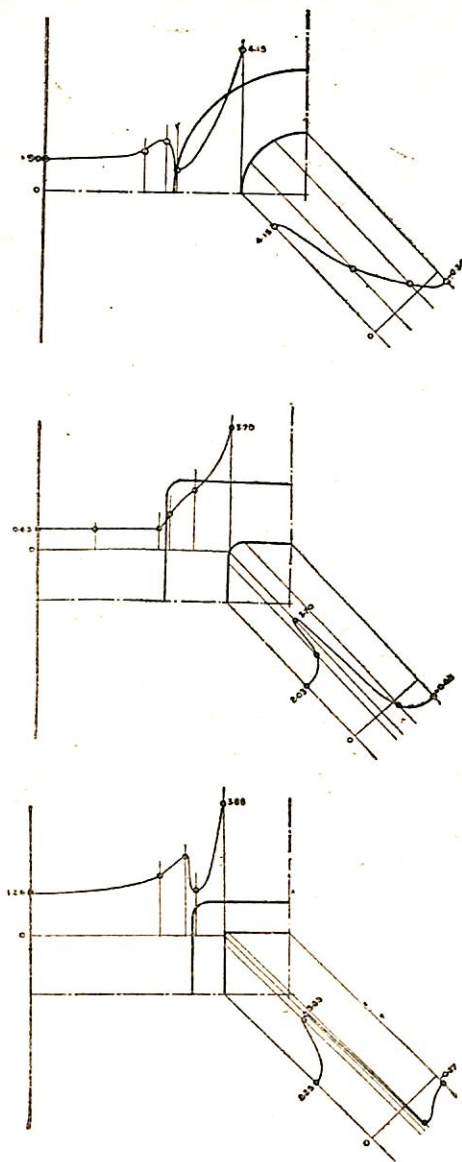
二つのグループに分れており、しかも前者は後者に比べて明らかに低い値を示している。所がこれらを補強度の順に並べて見ても最大荷重の場合の如きの関係は見られず、殆んど補強度には無関係といえる。また  $R_o/R_n$  による影響は前と同じようにいえるが、あの場合程判然としていない。

次に補強材の有効性について考える。補強の目的は出来るだけ開口のない板に近づけることだから、開口のある場合の値との比を効率ということにして、引張強度 83% 以上、吸収エネルギーで 15% 以上のものを取出すと次の 9 つになる。

試験片 No.	開口の形狀	補強材種類	補強率
5	圓	面材	40
10	隅を圓めた四角	〃	16
11	圓	二重張	102
12	圓	〃	50
15	隅を圓めた四角	〃	103
16	隅を圓めた四角	〃	52
17	圓	内挿板	39
18	圓	〃	50
21	隅を圓めた四角	〃	62

No. 11, 5, 18 はこの内でもよいものであるが、これらは皆圓孔である。また四角 (隅を圓めてならないもの) のものは補強材をつけても、補強材のない圓孔や隅を圓めた四角より悪かつたのは注目に値する。

次に各部の應力分布を見るとまず開口の周りでは例えば第 11 圖のようになり、大體開口の形狀により固有な



第11図 様々な分布

分布を持つている。隅を圓めた四角と、四角は大體似た形をしていて、引張から急激に壓縮に變化するが、圓孔ではこの傾斜が比較的ゆるやかである。またこれらは補強板の形式によつて僅かに變るのみで殆んど分布の形は變化しない。次に横断面での分布を見ると、この方は開口の形にかかわらず大體同じような分布を示している。そして補強の形式により少し變つた傾向が見られ、二重張や内挿板の中には補強板の外側に第二の應力集中が見られた。そして一般に補強板をつけると孔の近くの應力は増加し、横の縁附近の應力は減少する傾向がある。

最後に變形と破壊様式について述べる。35°のゲーデ長間で計つた伸びと荷重の関係は各試験片共非常に似たものであつたが、局部的な、特に開口附近の變形の様式はいろいろ變つている。開口の壓縮應力を受ける所で挫屈を起したものは、補強しないものおよび二重板補強のものの全部と、内挿板のうちの2枚で他の内挿板および面材補強の全部は挫屈をしなかつた。破裂は一般に應力集中の一一番大きい所から始まつたが、例外として補強板と母材との境の溶接部から剪断で切れたものもあつた。

## 2) 低温および厚板の影響

ここで用いた試験片は皆、隅を圓めた四角の開口を持つたもので（寸法は常温試験のものと同じ）このうち4枚は前と同じ幅33/4" 厚さ1/4"、他の9枚は幅48" 厚さ5/8"のものである。補強板もやはり前と同じように面材、二重張 内挿板をついている。實験は試験片を氣密のキャンバスで包んで冷却空氣を送つて -46°Fで試験を行つてある。結果を簡単にまとめると、

- 最大荷重、引張強さは一般に低温の方が大きい。
- 吸收エネルギーは1/4"のものでは低温の方がやや大きいが、5/8"のものでは大きいのも小さいのもあつて非常にばらついている。
- 補強率が増すと引張強さは減少し、この傾向は常温のときより強調されている。また吸收エネルギーは1/4"板で減少し、5/8"板でやや増加する。
- 開口周邊で起る最大應力は一つの例外を除いて低温の場合の方が大きかつた。
- 破壊は必ずしも最大應力集中の所から起つていない。中には孔から相當離れた場所の母材で切れたものもあつた。

## 八) 結論

常温で完全な剪断型破壊をするものに對して次のことがいえる。

- ここで實験した程度の孔を開けると、孔のない板に比べて引張強さで75~100%であるが、吸收エネルギーは僅か9~26%となる。
- 補強すると強度は増すが吸收エネルギーは殆んど變化しない。
- 開口があつても、またそれを補強しても、全體的な降伏點は殆んど變らない。勿論開口の近くには局部的な降伏は起る。
- 强度および吸收エネルギーから見て最もよいものを9枚選んだ結果は、面材補強のもの2枚、内挿板のが3枚、二重張のが4枚あつた。
- 强度および吸收エネルギーから見てよいものは、圓 (293頁へづづく)

# 造艦技術上の諸問題(5)

松本喜太郎

(安定性能關係續稿)

## 平賀博士の指導による對策實施の状況

復原性能改善對策が既に決定してから平賀先生は今上陛下に「艦艇設計時における船體復原性の考慮」という題目で御講申上げた。専門家以外への御説明であるから簡単すぎるくらいはあるが要點を平易簡潔に述べられておるので、今は亡き先生の御宥しをいただけるものと考えてその内容の要所を記載させていただくと次の如くである。

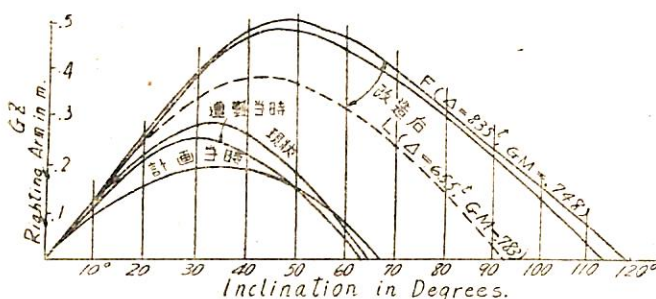
(前略) 現に今迄建造されました主な帝國艦艇、二三の商船、並に漁船に就いて復原性に關する諸種の資料を圖示して置きました(圖略) 之を見ますと、排水量増加に伴つて諸性能の大体の變化の状況がわかり、又船型及其大小に從て自ら採るべき傾向が窺知されます。更に既成艦船中成績良好なるものを資料として「レーンズ」、GM、OG 等に於て各與えられた排水量に對し、略此程度ならば安全と見做して良いだらうと謂ふ標據となるべき曲線を作つて見たのは今回の友鶴事件に鑑みて新たに試みられたのであります。各船型についても今迄も設計毎にかかるよりどころを良好な同種既成艦船に求めておつたのは申す迄もありませんが、之は當然の事であります。既成艦船の實例としましては、GM、「レーンズ」、OG 風壓面積/水面積、Length/Draft F.B./Draft を取つて見ましたが、之は自ら準據すべきものを示してくれるのであります。主力艦の如きは防禦力の爲に稍重心點が高くなりますが、みだりに砲を高く置く事、或は尤大な「アリッヂ」や「エレクション」や「マスト」を設くる事さへなければ左程に重心は昇る事はあるまいと思はれます。免に角相當注意を要します。然るに一方小艦艇ことに高速小艦になる程この點に關しては甚大の注意を要します。左程高速ならざる小艦でも、可成り重心の高くなつた例もありますから、小船になる程一層の注意が大切であります。巡洋艦、驅逐艦等に於て、殊に左様であります。古鷗、妙高に於ては割合に小さい排水量で強大な砲力、防禦力、速力を持つておりますが、航洋性に就ても最大の注意を拂ひました。例へば deck の wave line の如きはその一例であります。蓋し重量節減し、重心を少しでも下げる爲に外なりません。實際重心點は water line 下にあり、GM は 3ft 以上もありまして充分であります。一方に K 環動半徑を大にしなし得ましたので動搖周期 T が甚だ大となり「レーンズ」も過分であると思ふ位であります。勿論 Stability Curve

の Area 換言すれば Dynamical Stability も充分であります。風壓面積/水面積の値も適當なものと認められます。K の大なるものは兵裝が強い、防禦力が厚い、機関が重い(高速の爲)、それに船の水中の形狀(Blister 型)、特に大なる Bilge Keel を(而も比較的艦全進に對する抵抗が少い) 附けた事等が有力な原因であります。妙高の如きは殆ど主力艦同様であります。之等の船は實際使用の結果耐波耐海性極めて良好と認められております。然るに外國では一萬噸型は Top Heavy だから動搖激しかるべしと批評してゐるのであります。序に申上げますが米國一萬噸級は動搖激しく、屢々「シンクロナイズ」される危険が多いから改造を加へました事は米議會に於ける問題となりました事から見て明白であります。又英國一萬噸級巡洋艦 Suffolk の艦長が我海軍の某士官に話つた所によりますと、動搖して困るさうであります。又我駆逐艦も歐洲戰役の際南洋、地中海等に活動し、當時耐海性良好なりと認められました。但し二等駆逐艦は矢張り船體が小さい爲、八八艦隊建造の中頃から大洋の活動には不適といふ理由で、將來は一等駆逐艦のみを建造することにきめられた様に存じます。又日清戰役に活動しました水雷艇は五十噸乃至百五十噸の小艇ではありました。當時英佛獨の極く優良な種類を買ひ求めたものであります。次で英國から購入されました小型駆逐艦及び我海軍で作られました 390T 春雨型と共に何れも適良な耐海性を持つてゐたと認められます。航空母艦に就きましては、巡洋戦艦赤城、戰艦加賀から夫々航母に變更されましたのであります。改造された第一の要點は飛行機の歸着を easy ならしむる事。第二に耐海性並に航空母艦としての性質に支障ない様に水上の露風面積を如何に定むべきかといふ事であります。之には外國大商船等を参考として、大體に水中 1、水上 2 の割合に定めましたが、赤城の結果は良好であると認められます。加賀は爾來種々の變更、増設が行はれた爲、多少風壓面積が大きくなつた傾きがあると存ぜられます。似て彼の華府及「ロンドン」條約以來列國何れも競つて強力な艦艇を作らんものと認めております事は周知の事實でありますが、我國では其要望は一層眞剣であります。結局排水量の割合に少しでも優秀な船を製造しようとする爲に自づから高速にして、上部に強大な兵裝を持つ事を必要として参りました。又居住改善も頻りに叫ばれます爲、露天甲板上構造物を増加する傾向になつて参

ります。是等の要求施設は先に申上げました様に皆重心點を高むる結果となり、且必要な GZ, Range を得るに困難を來します。之が度々言上致しました様に設計上に最大の注意を要する所以で御座います。斯る時に當面致しまして不幸友鶴の悲しむべき事件が勃發したのであります。(中略)

友鶴は水雷艇として排水量の 22.7% (計画基準状態バルデホキ時) と謂ふ他に比類の無い兵装を持つて居ります。且其の重心點の位置が高いのであります。中央の乾舷も他に比して多少高いのですが、前部の乾舷は特に高く拔出て居ます。之に反し吃水は割合に浅いのでありますから重心點が高くなり、普通この種の艇からば水線以上 1 吸内外の高さにあるべきものが一米以上もあります。即ち名實共に top heavy の船といはねばなりません。初めに申上げました様に之では GZ は充分な事にはいきませぬ。又 Range も、従つて D. S. も少いのは當然であります。然るに竣工の前 GM の不充分な事を發見しまして、WL に Bulge を設けて M を高めましたから GM は充分の値をもたせる事が出来まして、改造後の旋回力試験では旋回中の艇の傾斜は適度に收まりましたが、其の實大傾斜角度の復原性は僅かより改正されておらなかつたのであります。即ちこの状態では斯る大きさの船としては GZ, Range, Avea 共に不充分で而も重心ははなはだ高いといふ状態であつたのであります。昭和九年三月十二日午前一時十五分、同艇は寺島水道假泊地を出港、他の二隻と共に襲撃教練を無事終了し、佐世保に向て歸途につくやまもなく、同日午前四時十二分頃、大立島燈臺の 182°7 浬附近に於て轉覆しました。

當時同艇の速力は 14 節、風速約 20m の風を右舷後方より受け船右後方 50° 位の方向から追波を受けておりまして、最大 39° 位動搖しながら進行しておりました。波長は約 60m、波高 3m~4m 位、波の最大傾斜は 10° 位でありましたらう。而て時に大きな突風があつた模様であります。この環境で同艇は取扱約 18° 位に當てて行進しておりました中に、突然大傾斜を生じ 転覆した儘浮遊しておりました。即ち之は転覆して安定な状態によつたわけであります。元來本艇は動搖周期 8 秒といふ事であります。一方波長 60m の波はその周期 6 秒余でありますので、當時艇の波に對して斜進にておつた角度から推算してみると、船、波兩方の進行速度が關係しますが、見掛上大約周期 8 秒に略同調した波にあつたのではないかと思はれます。故に一つ前に來た波で右へ傾き之からおき上つて左へ向かんとする時に、今謂ふ同調波によつて左の傾斜を更にはなはだしくし、かくて加へてそこへ突風でも加つて更に傾斜を増加するとでもしますと最早 D. S. の餘裕がありませんから、終に転覆の災にあつたのであらうと推察されます。この考では先程申しました重心の高き事がその災を促進した事も考へられます。即ち GZ 大、Range 90°、OG 1ft 位の船であつたならば大傾斜こそそれ、安全でありますたらうが、不幸本艇では之等の性能が不充分だった爲轉覆の災にあつたものと認められるであります。數十年の昔であります。佛國初期の水雷艇 (53T) が転覆した場合の Stability Curve が本に出ておりますが、この友鶴の場合に甚だ似ております。又英國の帆走戦艦 Captain, こゝの船は Freeboard があまり低くて Stability 不足の爲に



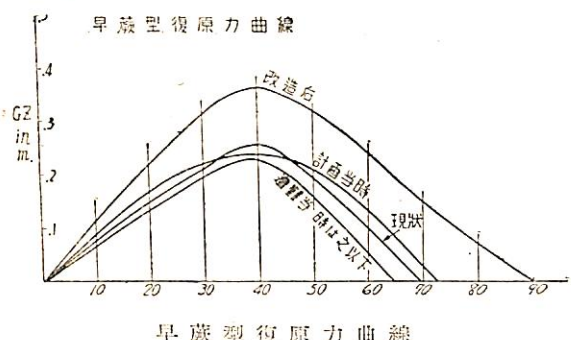
AN EXAMPLE FOR THE CAPSIZED

FRENCH BOAT  
(53t, GM = .440)



友鶴復原力曲線

種 目	公試狀態			
	計 書	バル ヂ	遭 難	改 造
A	615	.737	.739	.787
d	2,000	2,241	2,230	2,772
GM	.620	.696	.661	.788
OG	1,222	1,093	1,149	.385
GZM	.196	.283	.256	.489
"	36°	31.4	30.6	47.0
Range	65.6°	64.2	62.0	113.5



轉覆したといふ顯著な例と見做されております。之は大艦の例でありますか、軽走船たゞし爲斯る變事が起つたものと思はれます。

早戦遭難當時の状況は友鶴の場合の如く明瞭ではありますんが、推定される處に依れば、同艦の重心點の高さは友鶴程ではありませんが、矢張り相當に高く、Range, Stability Curve の Area 等は友鶴に較べて居ます。この Class は先に申しました様に、可成り耐海性を持つて居たのであります。年と共に船の上部 weight が増し、排水量も増加し、M<sub>g</sub> は降下し、一方 G が上昇し、GM<sub>g</sub> 従て GZ, Range 等も共に減少し來ましたのは餘程注意が拂はれざる限り、何れの船でも免れない所であります。殊に最近既成艦の兵装等の改造の多いことは更に此の趨勢を加へる事にあるのであります。

早戦の場合も船そのものが上記の様な不良な状態となつて居る所へ是も亦矢張り波高大なる同調波に乗つたが爲に覆没したのではないかと想像されます。

友鶴事件に鑑み海軍に於かれましては臨時鑑査性能調査委員會を設け、本事件の原因が全く其復原性の不足に基く事を認めまして海軍全艦艇に就て夫々其性能を検討し、新設計艦は勿論既成艦にして艦齡経過と共に復原性不足とならざる迄も、不充分なる處あるものは充分に之を改善する方策を探つて居られます。而て其設計方針は極力兵装の低下を避けますと共に大體先に申上げました復原性のよりどころを日途として之に近からしむる事を力めたのであります。其方法と致しましては例を友鶴級に採りますと（圖参照）「バラストキール」を作つて重心を低下すると共に實質的の吃水を増します。上部では比較的我慢すべき兵装、erection 等を除去し、此方面で重心を下げ「バラスト」に依る重量増加を輕減し、速力の低下を極力小ならしめ、一方重心點は出来るだけ之を低下し復原性充分にして風壓面積對水面積比を出来

種 目	常 備 狀 態			
	計画當時	現 状	遭難當時は 下記以下	改 造 後
A	918t	923	1084	1006
d	2,511	2,538	2,822	2,693
GM	.519	.477	.399	.614
OG	.881	.877	.589	.528
GZ <sub>MAX</sub>	.233	.249	.229	.358
"	39.7°	40.4	39.5	39.8
Range	72.3	69.1	64.8	89.1

る丈減じます。是で充分安全な船が得られますか如何にしても多少の兵力減少と速力低下（一箇内外）の犠牲は拂はねばなりません。以上は改造成りますが新設計の場合でありますれば當初より前述の新標準否古來の經驗よりせる標準に依りますから、それに近代我技術の進歩を加へる事になりますので、勿論立派な輕艇が出来る事と考へられるのであります。（中略）

主力艦の改裝は復原性能には何等關係がないのであります。重量増加三千噸を限つて魚雷及爆彈に対する防禦力を強化する爲のものであります。之は華府會議の公認した所であります。此の改裝に當りますては主力艦は元來 Freeboard が低いのでありますから吃水を出来る丈増加せぬといふ事が大に必要と考へられます。即ち Blister を舷側に設けまして三千噸丈 Buoyancy を新に作るのであります。併しこの艦では M<sub>g</sub> が下りますから WL Blister の上端を中甲板附近持ち上げ、適當に WL の幅を殖す必要があります。是によつて適當の Buoyancy が得られます。併し是の Blister の構造は戰時防御に譲るゝやられますが、WL 附近には其中に Pipe を入れて水が侵入しても其部の容積の多く浮位しか浮力の loss がない様にされる筈になつております。總じて兵力、防禦等の強化の爲に、船を改裝するのは近來各國間の流行ではあります。但し改裝中でありますから周到の注意を拂ふ必要が御座います。性能調査の結果現に改裝中であります航空母艦加賀の改裝方針を變更し、又既成新航空母艦龍驤に關しても夫々改裝を行はれる事になると思はれます。

要之自露戰役前後より我帝國艦艇の設計は海軍造船中將男爵近藤基樹を始めと致しまして諸造船先輩者等が多年の苦心努力に依りまして長足の進歩發達を遂げ。洲戰役を経て彼の八八艦隊の技術的信念に基きまして極めて堅健な發達を遂げて参りました。而て八八艦隊建造に當

りましては経費節約の爲可成小排水量を以て可及的有力な艦艇を造る目的で研究を重ねまして更に有効な發達を遂げる事となりました折柄、華府條約續いて倫敦條約による軍備制限となり、其制限方式は周知の様に排水量標準でありまして總海軍力の比率も單艦も皆排水量で制限されますから以上的研究成果は丁度好適の資料となりまして、早速排水量の割合に優良な艦が續々と完成されるに至りました。

又一艦一艦としましても、外國の同型艦に對し、必ず優越すべしと謂ふのは、我海軍における用兵上並に技術上の傳統的精神と申して宜しいと存じますが、此傳統的精神が我造船技術の進歩を促した有力な理由の一つである事は信じて疑ひませぬ。這般の如き我製艦技術の進歩は蓋し關係者が常に學理と經驗を重んじ、一事一物を忽にせず、最も周到な注意と適切な判断を以て進んで參つた結果と存せられます。而て斯の如く多年の間に積成されました基礎は容易に動き搖ぐものとは存せられません。今回不幸にして惹起致しました技術上の過誤は多少在來の成果に安んじた所は御座いませんが、又一方少しでも兵力の増勢を心掛け度いとの切實な要求の下に此事態に陥つたものに外ならぬと考へられます。然し今後は在來確立された基礎の上に更に今度の苦い経験よりする貴重な教訓を加へ、所謂設計の常道に立ち還り、一方益々學理と經驗とを重んじ、研究に精進致しまして、依つて以て堅實なる技術上の信念を作り上げましたならば今後更に優秀なる帝國艦艇の出現する事は期して俟つべきものありと信ずる次第で御座います。之を以て謹而本日の奏上を終ります。

以上の御前講演の内容は頗る簡単ではあるが、これにより友鶴事件發生からその後の處理の状況が一應明瞭になつたと思う。

さて安定性能に關係ある項目は澤山あるがその中でもその良否判別に重要性大なるものとして GM、重心點の位置、復原性範囲 ( $\theta_r$ )、dynamical stability (D S) 並びに風壓面積の大きさ等が考えられた。GMについては旋回運動や重量物移動等の場合における船體傾斜あるいは damage をうけた時の影響に對する考慮等 statical の問題として船の安定性を取扱う時にはこの値は大きい方がよい、しかしこれが大きすぎて失敗した例はいくつもある。次に考るべきは rolling に關連して考えた場合の GM の問題である。これは單に船の動搖周期の問題としてではなく、船と波とが同調した時 GM の大小は船體の横搖れ角度にどう影響するかという問題である。この點については後述する渡邊教授の理論的扱い方に基いて

追及していくと私が調査した範囲では GM を大きくすることは横搖れ角度を増す傾向となつた。これは重要な問題であり今後造船學者が深く研究を進められたいと切にお願ひしたいところである。

重心點の位置については明かに如何なる場合においてもこれが高いことは top heavy であつては宜しくない。top heavy では旋回運動時の船體傾斜に對し悪影響を與えることは遠心力の作用點が高くなるのであるから明瞭であるが、更にまた船と波とが synchronous rolling をした場合の船體の横搖れ角度もそのために大きくなる傾向となることが上述渡邊教授の理論を應用すると出てくる。設計に際し重心點の位置をどこまで宥むかは實際問題とすれば爾余の項目とのかね合いの問題である。この重心點の高さを表わすに水線上の重心位置までの寸法 (OG) がとられた。この OG については「私が大尉の頃横須賀海軍工廠造船部設計在勤當時圖庫から徳川幕府の末期小栗上野之介がここに關係していた製作られた和紙へ毛筆で認められたある船の要目書中に『吃水線上船の重心點迄の距離 x メートル』とあつたのを發見したことがあつたのを想い出してその一致に驚いたことがあつた。どんな根據からかはわからぬがこれから見て佛蘭西の造船學では古くから OG といつた考え方があつたのは確かのようである。今日日本の造船學者は OG という表現は理論的に無意味だという説をなす人が多いがこの點追及する價値ありと思われる。

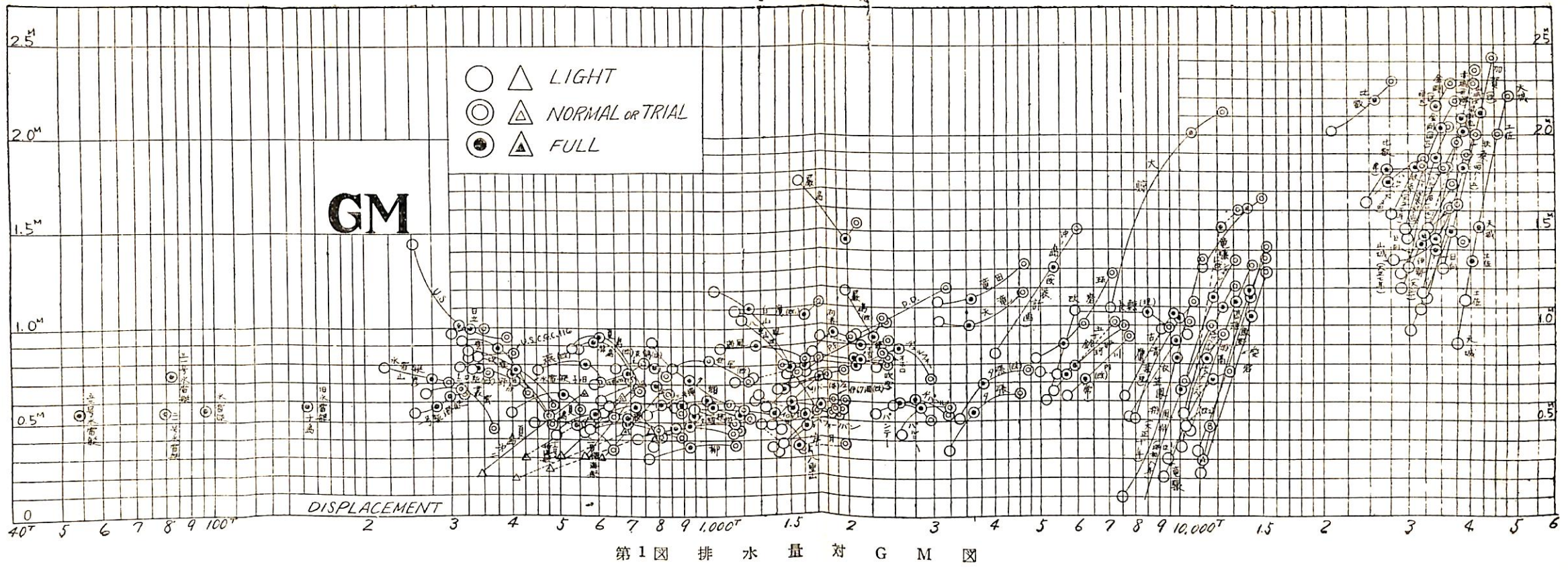
D S についてはこれの大きい方が明かに波に對して強い船になる。今後の研究問題としては G Z や  $\theta_r$  との關聯でたとえ同じ D S としても、どのような形の stability curve とするのが有効かという點は大切な point だと思ふ。

風壓面積の大小を表現するには水中側面積に対する風壓側面積比が考えられた。多くの艦艇についての上記項目の數字を蒐集しこれを圖示したものが

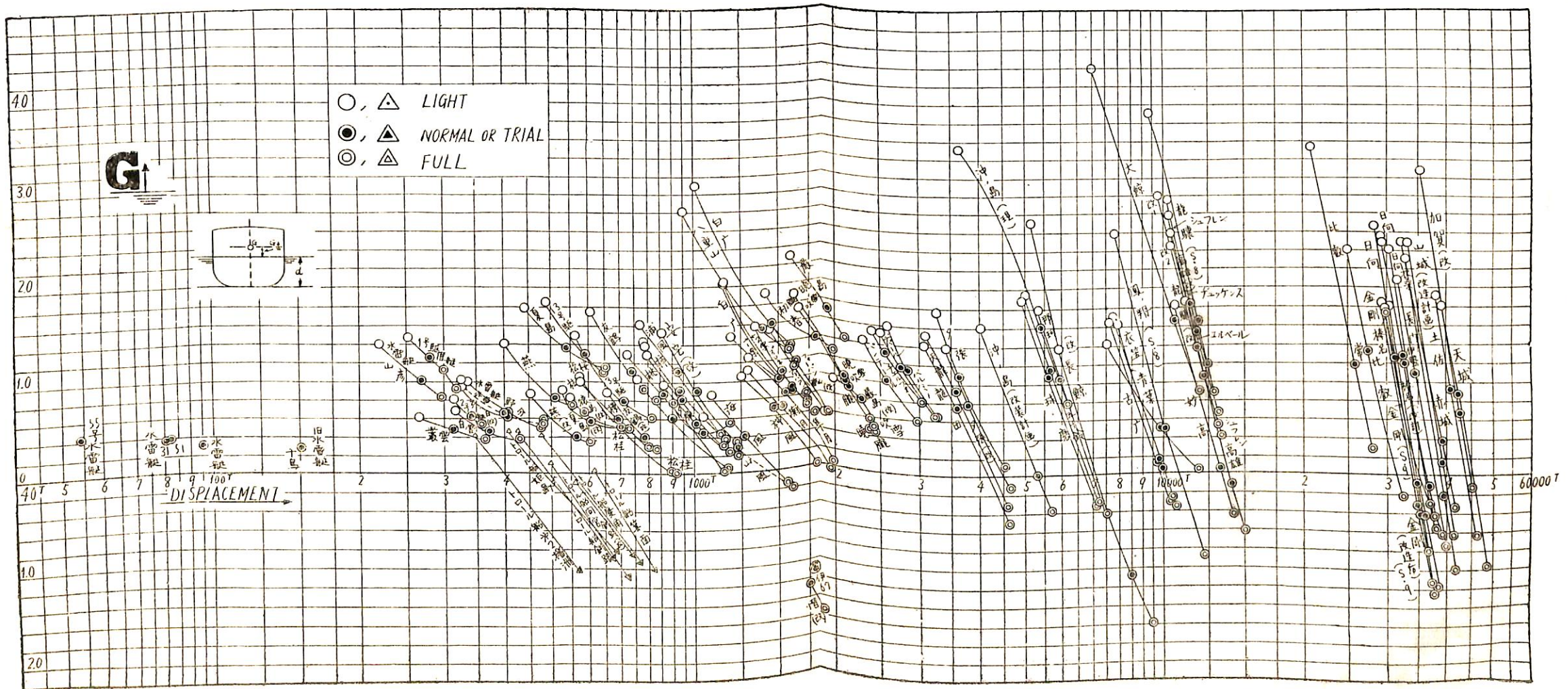
- |     |      |                     |
|-----|------|---------------------|
| 第1圖 | 排水量對 | GM 圖 (折込參照)         |
| 第2圖 | 排水量對 | OG 圖 (折込參照)         |
| 第3圖 | 排水量對 | $\theta_r$ 圖 (折込參照) |
| 第4圖 | 排水量對 | 風壓面積圖               |
| 第5圖 | 排水量對 | D S. 圖 (折込參照)       |

であつた。本圖中にはその後に得た内外艦艇の data をも記入しておいた。

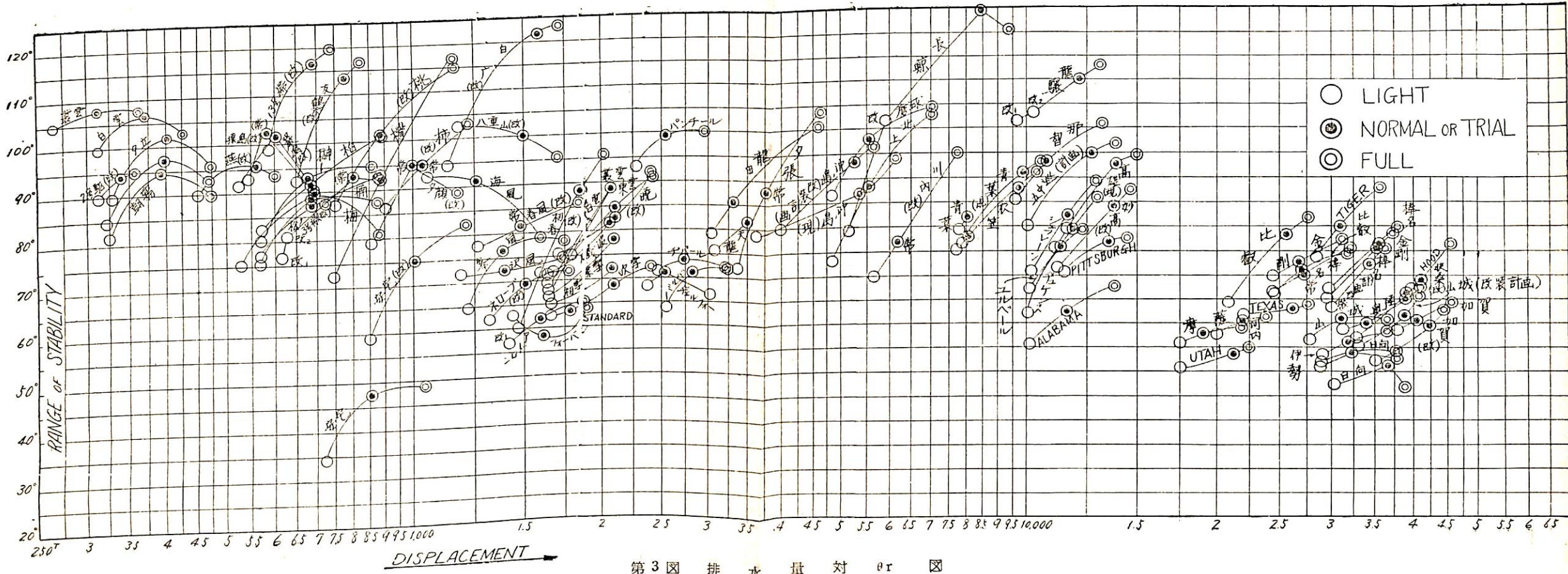
これらの圖には同じ圖中に同一艦艇の線が 2 本出ているものが多くあるが、これは一つは性能改善対策實施以前すなわち悪かつた性能の時の状況、他の一つは対策實施後の状況を示すものである。これらの圖の傾向によつ



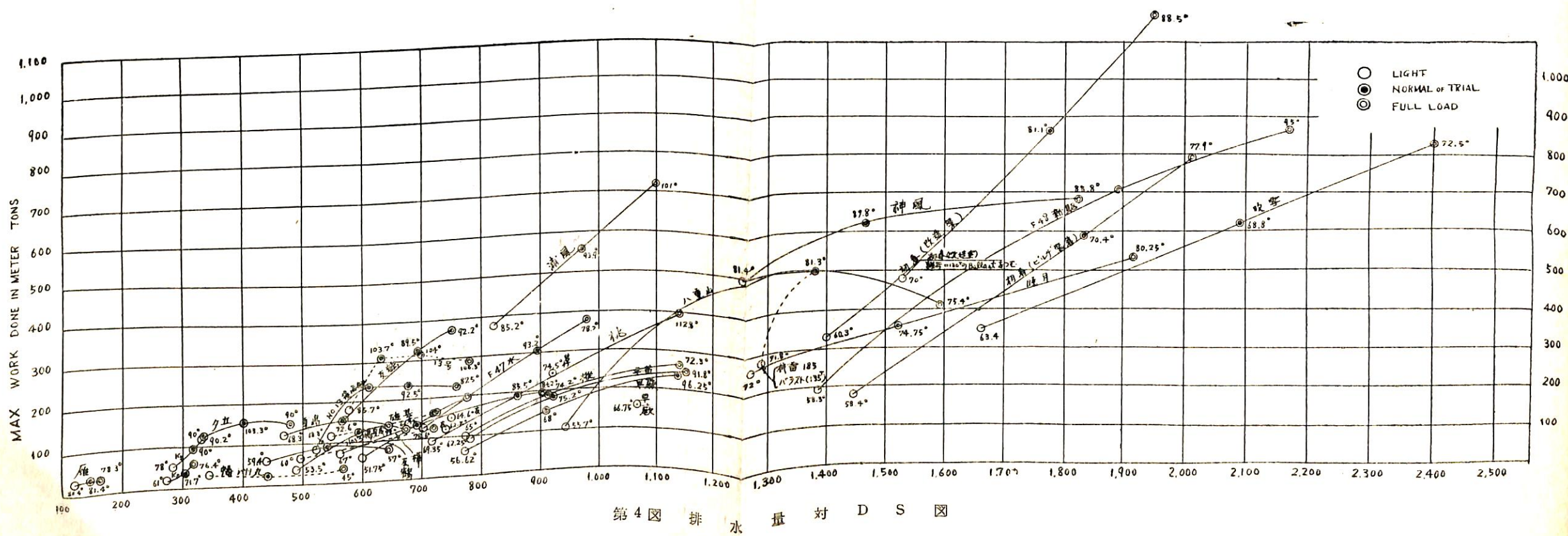
# 第 1 図 排 水 量 対 G M 図



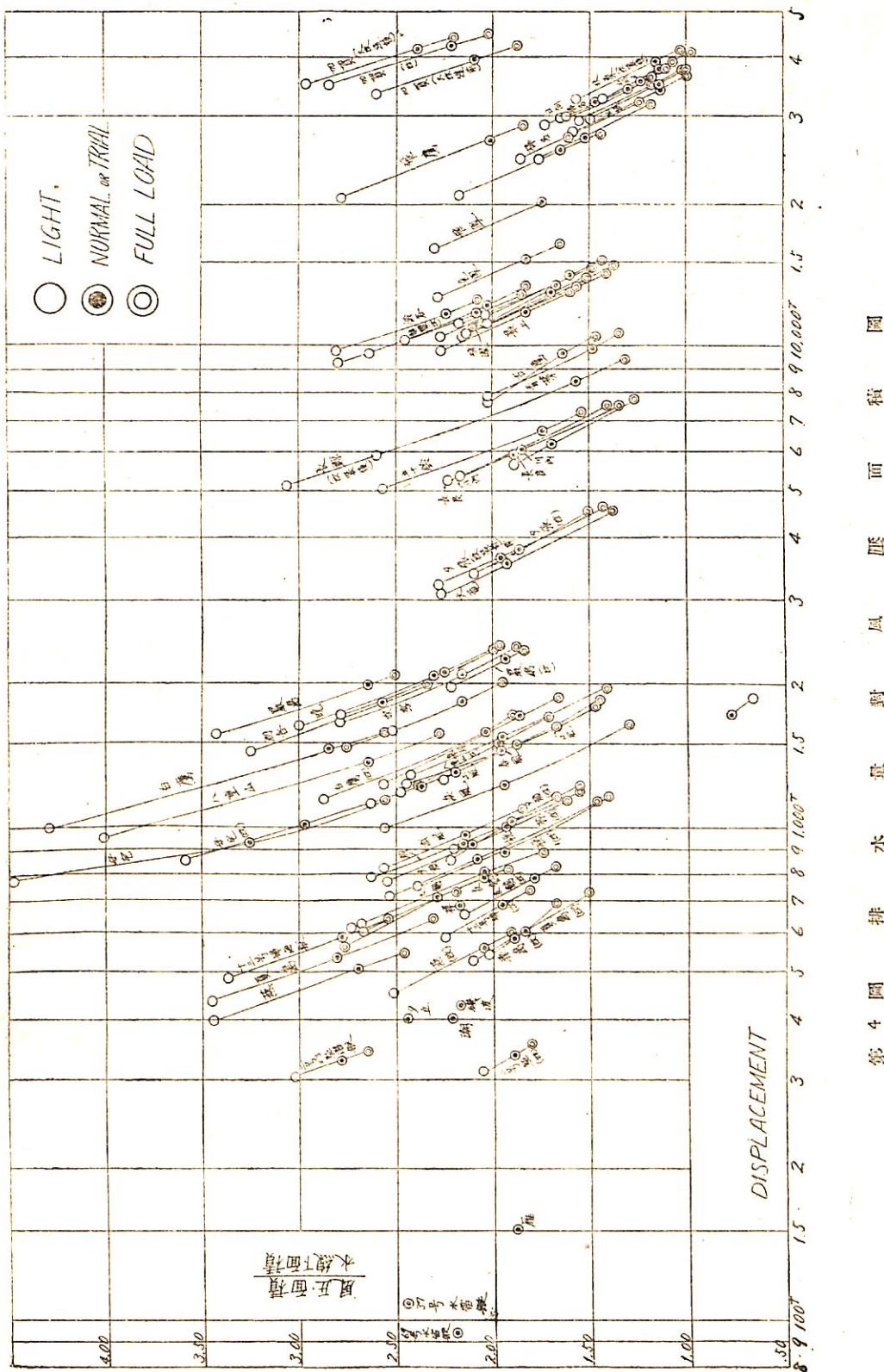
## 第2図 排水量対OG図



第3図 排水量対ST圖



第4図 排水量対DS圖



第4圖 排水量對風壓面積圖

第 1 表 復 原

艦名	艦の状況	状態	排水量	平均吃水	GM	BG	水線上の高さ (OG)	中央部に 於て乾舷 の高さ (上甲板)	KG/D	KG/d	Max GZ	Max GZ angle	Range
初春	現状		1,832	3.180	0.912	4.418	2.468	1.238	0.736	1.389	0.422	35.0	70.6
白露	改	造	1,855	3.239	0.936	4.039	2.069	0.800	0.673	1.247	0.458	41.2	88.7
	舊	計画	1,691	3.030	0.990	4.090		1.055	0.682	1.348	0.66	41.0	88.0
			1,980	3.500	0.805	4.009		0.509	0.663	1.145	0.432	42.0	86.6
曉	現状		2,086	3.303	0.794	4.301	2.301	1.001	0.690	1.305	0.383	40.2	76.9
〃 改	造	公	2,125	3.350	0.902	4.198	2.158	0.848	0.672	1.253	0.438	41.0	83.2
	現	状(常備)	1,452	2,960	0.504	3.850	2.065	0.890	0.663	1.300	0.314	41.6	75.8
春風	現	状(常備)	1,497	3,034	0.594	3.743	1.920	0.709	0.644	1.234	0.374	45.0	82.0
	改	造							0.660	1.352	0.245	42.3	85.5
桃	現	状(常備)	862	2,380	0.468	3,220	1,795	0.840	0.630	1,237	0.340	44.0	101.4
	改	造	893	2,485	0.575	3,075	1,582	0.590					
柿	現	状(常備)	932	2,540	0.367	3,433	1,903	0.893	0.692	1,353	0.192	38.2	64.8
	改	造	1,040	2,747	0.567	3,167	1,521	0.420	0.638	1,153	0.342	41.0	95.0
55	現	状(常備)	967	2,622	0.448	3,326	1,753	0.704	0.670	1,268	0.250	40.0	74.5
	改	造											
夕顔	現	載のもの 状(常備)	923	2,538	0.477	3,415	1,891	0.877	0.690	1,347	0.249	40.4	69.1
	改	造	1,006	2,693	0.614	3,221	1,293	0.529	0.651	1,196	0.358	39.8	95.3
友鶴	現	状	737	2,241	0.696	3,334	1,979	1.093	0.758	1,488	0.283	31.4	64.2
〃 改	造		787	2,322	0.788	2,707	1,342	0.385	0.615	1,166	0.489	47.0	118.5
F47水	現	状	893	2,430	1.030	3,580	2,070	1.150	0.746	1,473	0.430	34.5	71.5
			869	2,760	0.802	3,230	1,540	0.470	0.666	1,170	0.443	42.0	98.9
K3	現	状	332	1,597	0.516	2,529	1,559	0.932	0.660	1,584	0.204	45.0	90°以上
	改	造	372	1,711	0.794	2,096	1,072	0.385	0.547	1,223	0.523	51.5	104.9
K5	現	状	155	1,238	0.858	2,010	1,260	0.772	0.698	1,624	0.338	39.0	73.1
	改	造	172	1,700	0.640	1,860	0.810	0.160	1,400	0.600	1,094	0.355	45.0
五號	現	状	754	2,375	0.400	3,212	1,833	0.837	0.695	1,352	0.234	39.0	72.8
掃海艇													
〃 改	造		807	2,503	0.590	2,933	1,535	0.480	0.645	1,178	0.362	42.6	93.4
	現	状	591	2,072	0.533	3,352	2,121	1,260	0.742	1,618	0.275	38.0	74.5
十三號	現	状	693	2,260	0.753	2,892	1,582	0.632	0.641	1,280	0.532	50.0	117.0
	改	造											
夏島	現	状	538	1,954	0.449	3,301	2,131	1,347	0.668	1,600	0.265	38.0	61.8
猿島	改	造							0.614	1,266	0.680	43.0	101.8
	現	状	495	1,830	0.480	3,360	2,150	1,500	0.782	1,805	0.268	39.0	60.8
			585	2,030	0.920	2,680	1,525	0.650	0.623	1,320	0.668	43.2	102.8
雁	現	状	152	1,450	0.527	1,815	0.925	0.365	0.629	1,252	0.259	43.4	81.4

備考 風壓前後中心位置は船の最前端を基準とす。

風壓「モーメント」の「レバー」は水上側面積の重心と水中側面の重心との距離を示す。

性 能 表

Dynam 1 stability (D.S.)	DS/4	風壓面積	風壓面積 水中面積	風壓「モーメント」の 「レバー」	水中面積 重心の高さ (中心より)	風壓による船の傾斜 (風速20米)	動週揺期全	船の全長	記事
594	0.324	773	2,571	6,275		5.0	sec 8.2	108.5	「バルデ」装着前の完成圖をもとに艦本にて「バルデ」装着を計算したものによる
816	0.440	663	2,160	5,783		3.8	"	109.5	4部にて計算せるもの
1,065	0.630	747	2,548	7,126	1,81	3.5		111.0	艦本4部舊計畫のもの
827	0.418	616	1,803	5,183		5.5		118.5	艦本4部新計畫のもの
647	0.301	814	2,309	5,961		4.8		102,565	昭和7-11-25 佐廠にて重心査定試験施行のものを探る。
852	0.401	803	2,255	5,955		5.1	"		上記を基とし艦本4部にて計算したるもの。
349	0.240	551	1,958	4,579		5.9			昭和8-8-16 附特定修理後石川島より送付のものによる。
497	0.352	544	1,884	4,570		6.7	"		上記を基とし艦本4部にて計算したるもの。
193	0.224	395	2,085	3,947		5.2		88.4	大正6-12-24 佐世保より送付のものによる。
322	0.361	386	1,948	3,956		6.4			昭和8-3-27 佐世保にて施行の重
120	0.129	432	2,160	4,153		9.9		88.4	心査定試験成績による。
333	0.320	414	1,910	4,170					
182	0.188	425	2,053	4,155					
161	0.288	419	2,107	4,051		7.6		88.4	昭和9年3月舞鶴より送付の完成圖による。
310	0.308	407	1,940	4,060		5.9	"		上記を基として艦本4部にて計算したるもの。
142	0.193	404	2,203	4,255		6.7	sec 8.25	82.0	昭和9年3月舞鶴より送付の完成圖による。
420	0.534	352	1,799	4,171		4.2	"		上記を基として艦本4部にて計算したるもの。
288	0.323	475	2,519	5,134	1,443	4.0		90.8	艦本4部舊計畫のもの
446	0.433	377	1,751	3,923		3.3		88.5	艦本4部新計畫のもの
62	0.187	269.0	2,794	3,236		9.2		65.3	昭和9-3-30 石川島製重査試験成績をもととす。
215.5	0.580	213.5	1,809	3,130		4.0			技術會議提出のもの。
44	0.284	145	2,828	2,532	912	4.7		48.0	昭和9年8月15日艦本4部にて計算せるもの。
61.0	0.355	104	1,552	2,225		3.8		45.0	
131	0.174	348	2,173	3,913		7.7	sec	76.2	昭和9-4-15 横廠にて重心査定公試の結果非公式に送付のものによる。印は9-4-15 横廠にて試験その當時 $\frac{J}{GK} = 808$ $GK = 3.176$ $GM = 0.399$
289	0.358	337	2,050	3,919		5.2	sec 10	"	上記を基として4部にて計算したるもの。
122	0.206	350	2,792	3,962		8.2		74.0	
426	0.615	353	1,959	3,938		4.7	4.21	"	
95.4	0.179	345	2,808	3,998		9.4		73.0	昭和8-7-30 石川島にて施行の重心査定公試成績による。
418.0	0.690	302	1,848	4,197		3.8		"	上記を基として艦本4部にて計算したるもの。
83.6	0.169	340	2,910	3,897		9.8		73.0	
389.0	0.665	298	1,900	4,197		4.0			
37.0	0.243	101	1,684	1,917		4.6		45.1	明治50年吳廠製明細表による。

第 2 表 夏 原

艦名	艦の状況	状態	排水量 (t)	平均吃水 (d)	GM	KG	BG	水線上 G 点の高さ (OG)	中央部において乾舷の高さ (上甲板)	KG/D	KG/d	Max GZ	Max GZ angle	Range
初春	現改	状造	2,011 2,028	3.380 3.440	0.910 0.933	4.290 3.930	2,220 1,845	0.910 0.490		0.715 0.655	1,269 1,142	0.494 0.512	37.4 42.6	77.3 95.8
白露	舊計画		1,993 2,199	3.400 3.750	0.870 0.856	3,990 3,911		0.590 0.161	2,300	0.665 0.645	1,174 1,043	0.654 0.476	41.0 42.0	91.5 90.6
曉	現状	満	2,388	3,623	0.839	4,091	1,901	0.463		0.655	1,130	0.482	41.6	86.7
夕	改	造	2,427	3,660	0.921	4,004	1,779	0.344		0.640	1,094	0.530	43.5	92.3
春风	現状		1,821	3,493	0.477	3,730	1,656	0.237		0.642	1,067	0.334	39.8	80.0
夕	改	造	1,866	3,541	0.541	3,647	1,533	0.106		0.628	1,030	0.380	42.0	86.5
桃	現改	状造	1,143 1,174	2,945 2,985	0.438 0.442	3,060 3,018	1,350 1,265	0.115 0.023		0.627 0.618	1,038 1,011	0.305 0.35	48.6 53.2	112.8 115.3
柿	現状		1,163	2,935	0.369	3,301	1,527	0.316		0.657	1,508	0.232	36.0	73.3
クク	改	造	1,233 1,198	3,112 3,050	0.509 0.436	3,644 3,218	1,283 1,401	0.532 0.168		0.735 0.649	1,170 1,055	0.320 0.277	39.4 37.0	103.5 84.5
夕	「バラスト」搭載のもの	載	1,148 1,193	2,958 3,023	0.489 0.555	3,266 3,185	1,507 1,371	0.308 0.162		0.658 0.643	1,107 1,054	0.300 0.337	39.9 39.6	81.4 89.1
夕	頬	現改	784	2,355	0.691	3,264	1,858	0.909		0.742	1,386	0.309	32.4	68.3
夕	改	造	835	2,425	0.748	2,677	1,258	0.252		0.608	1,106	0.503	49.0	117.0
F 47 水	現状		939 1,066	2,591 2,955	1.140 0.732	3,430 3,220	1,820 1,460	0.839 0.305		0.715 1,895	1,324 1,303	0.492 0.400	35.0 39.0	78.7 98.4
K 3	現改	状造	349 394	1,655 1,785	0.488 0.776	2,500 2,054	1,500 1,000	0.845 0.269		0.653 0.536	1,511 1,151	0.214 0.548	45.0 50.0	90°以上 107.8
K 5	現改	状造	162 177	1,272 1,732	0.875 0.653	1,950 1,850	1,180 0.780	0.678 0.118		0.677 0.597	1,553 1,068	0.366 0.360	39.0 44.6	76.7 94.3
三號	現改	状造	836 (1) (2)	2,588 889	0.369 0.543	3,179 2,977	1,691 1,422	0.591 0.283		0.684 0.639	1,228 1,104	0.231 0.341	37.5 43.2	73.7 92.8
十三號	現改	状造	645 746	2,204 2,385	0.520 0.807	3,290 2,863	2,970 1,488	1,086 0.478		0.729 0.634	1,493 1,200	0.294 0.537	39.0 51.0	78.0 120.0
捕海艇	現状		644	2,209	0.315	3,339	2,019	1,130		0.777	1,508	0.225	34.6	57.0
夏島	現状		732	2,390	0.660	2,860	1,495	0.470		0.665	1,197	0.450	39.0	87.8
猿島	現改	状造	594 699	2,110 2,310	0.337 0.715	3,390 2,820	2,135 1,500	1,280 0.510		0.788 0.656	1,606 1,220	0.212 0.502	35.5 39.6	55.2 91.0
雁	現状		166	1,534	0.600	1,824	0.810	0.290		0.632	1,189	0.236	42.8	78.3

備考 風壓前後中心位置は艦の最前端を基準とする

風壓「モーメント」「レバー」は水上側面

性 能 表

Dynam I stability (D.S)	DS/4	風壓 面積	風壓面積 水中面積	風壓「モー メント」の 「レバ」 重心の高さ (キ ルより)	水中面積 重心の高さ (キ ルより)	風壓によ る船の傾 斜(風速 (20m/s))	動週 揺期 全	船の全長	記 事
792 1,075	0.394 0.930	752 642	2,337 1,951	6,313 5,815		3.4		109.5 〃	「バルヂ」装着前の完成圖を基と し艦本にて「バルヂ」装着を計算 したるものによる。4部にて計算 せるもの。
1,285 1,025	0.643 0.466	589	1,598					109.5 111.0	艦本4部舊計畫のもの。 艦本4部新計畫のもの。
1,049	0.438	977	1,998	5,993		4.2		118.5	昭和7-11-25 佐倉にて重心査定試 験施行のものを採る。
1,282	0.528	773	1,967	6,000		3.8		〃	上記を基として艦本4部にて計算 したるもの。
502	0.276	499	1,490	4,600		4.5		102,565	昭和8-8-16 附特定修理直後石川 島より送付のものによる。
651	0.349	494	1,457	4,601		4.0		〃	上記を基として艦本4部にて計算 したるもの。
404 464	0.360 0.395	348 343	1,475 1,418	3,998 4,008		5.0		88.4 〃	大正6-12-24 佐世保より送付のも のによる。
191 386 272	0.164 0.313 0.227	395 384 389	1,678 1,560 1,490	4,177 4,192 4,190		7.4		88.4 〃	昭和8-3-27 佐世保にて 施行の重 心査定試験成績による。
26 353	0.140 0.298	383 377	1,628 1,560	4,080 4,089		5.0 4.3		88.4 〃	
169	0.216	395	2,053	4,261		5.5		82.0	昭和9年3月舞鶴より送付の完成 圖による。
473	0.566	343	1,687	4,183				〃	上記を基として艦本4部にて計算 したるもの。
393 444	0.397 0.417	461 360	2,278 1,554	5,178				90.8 88.5	艦本4部舊計畫のもの。 艦本4部新計畫のもの。
70 243	0.201 0.167	265 208.6	2,653 1,695	3,042 3,135				65.3 〃	昭和9-3-30 石川島 製重査試験成 績をもととする。
51 64	0.315 0.362	144 103	2,720 1,498	2,537 2,229	0.928			48.0 45.0	技術會議提出のもの。 昭和9-8-15 艦本4部にて計算せるもの。
140	0.167	332	1,884	3,924		7.5		76.2	昭和9-4-15 横濱にて重心査定公試 の結果非公式に送付のものによる。
294	0.330	324	1,752	3,931		5.1		〃	上記を基として艦本4部にて計算 したるもの。
149 478	0.231 0.642	370 344	2,548 1,823	3,967 3,937			4.27	74.0 〃	
78	0.139	327	2,319	4,063		10.9		73.0	昭和8-7-30 石川島にて 施行の重 心査定公試成績による。
287	0.392	281	1,519	4,244		4.4		〃	上記を基として艦本4部にて計算 したるもの。
67.4 307.0	0.113 0.439	279	2,400 1,685	4,227				73.0 〃	
34.0	0.205	79	1,524	2,020				45.1	明細表より艦本4部にて計算のも の。

第3表復原

艦名	艦の状況	状態	排水量 (t)	平均 吃水 (d)	GM	K G	B G	水線より 点の高さ (OG)	中央部において乾舷の高さ (上甲板)	KG/D	KG/d	Max GZ	Max GZ angle	Range
初春	現状		1,445	2.725	.664	4.936 4.346	3.271	2,211		.823	1,811	.216	29.2	52.5
白露	現状		1,604	2.940	.814		2,556	1,406		.724	1,477	.292	36.0	72.0
			1,322	2.575	.810	4.530		1,955		.756	1,759	.460	56.0	72.6
			1,446	2.825	.489	4.476		1,651	3.225	.740	1,584	.177	57.0	65.8
			1,611	3.035	.652	4.263		1,228	3.015	.705	1,405	.293	41.0	27.4
暁	現状		1,623	2.758	.747	4.643	2,923	1,885		.743	1,683	.218	33.0	60.2
ク	改造成	軽	1,722	2.910	.927	4.426	2,636	1,516		.708	1,521	.352	58.0	75.6
春风	現状		1,224	2.609	.504	3.980	2,375	1,371		.685	1,524	.249	40.0	70.2
ク	改造成		1,269	2.708	.605	3.850	2,212	1,142		.661	1,422	.328	43.0	78.0
桃	現状		720	2.091	.411	3.370	2,105	1,279		.690	1,615	.168	37.0	69.4
ク	改造成		755	2.185	.535	3.205	1,899	1,020		.657	1,467	.257	42.2	87.4
柿	現状		786	2.235	.305	3.608	2,236	1,373		.728	1,616	.130	33.6	55.5
ク	改造成		904	2.510	.558	3.262	1,780	.752		.658	1,290	.306	42.0	86.4
ク	35「バラスト」搭載のもの	荷	821	2.350	.406	3,474	2,057	1,124		.700	1,478	.100	39.0	64.0
タク	現状		773	2.233	.368	3,643	2,281	1,410		.734	1,635	.128	36.0	56.6
ク	改造成		861	2.426	.575	3,573	1,923	.947		.681	1,391	.279	39.4	74.9
友鶴	現状		605	1.942	0.611	3,684	2,491	1,742		.837	1,897	.140	25.0	46.0
ク	改造成		655	2.045	.783	2,904	1,707	.859		.660	1,420	.366	42.5	92.5
F47水	現状		703	2.089	.540	3,930	2,620	1,841		.819	1,831	.272	33.0	59.5
			716	2.280	.562	3,586	2,181	1,306	2,570	.739	1,573	.255	41.2	79.5
			809	2.467	.694	3,406	1,886	.959	2,333	.702	1,881	.356	43.0	89.1
K3	現状		305	1.508	.533	2,607	1,692	1,099		.681	1,729	.144	45.0	72.6
駆潜艇	改造成		350	1,659	.832	2,118	1,147	.479		.553	1,292	.512	52.0	103.3
K5	現状		143	1.172	.928	2,020	1,310	.848	1,708	.701	1,172	.342	39.0	74.5
三號	現状		155	1.590	.598	1,890	0.907	.300	1,510	.610	1,189	.352	46.0	92.4
掃海艇	改造成(1)		564	後部、 617ト 630ム、多 し										
ク	(2)		1,908	.311	3,514	2,395	1,606			.756	1,842	.114	36.9	52.8
			2,058	.542	3,195	2,003	1,137			.686	1,553	.290	40.0	76.8
			2,087	.576	3,175	1,970	1,083			.682	1,521	.308	40.6	81.1
十三號	現状		490	1,813	.419	3,651	2,541	1,838		.809	2,014	.120	58.0	53.5
掃海艇	改造成		593	2,020	.691	3,079	1,913	1,059		.682	1,524	.445	46.5	99.0
夏島	現状		440	1,687	.483	3,457	2,437	1,770		.804	2,049	.222	57.7	59.4
ク	改造成		528	1,885	.880	2,770	1,700	.835		.644	1,469	.638	43.0	91.8
猿島	完成豫想		456	1,755	.513	3,397	2,347	1,642		.790	1,935	.256	39.0	60.9
ク	改造成		546	1,935	.880	2,750	1,655	.815		.640	1,422	.641	43.0	93.2
雁	現状		125	1,282	.487	1,854	1,066	.568		.643	1,446	.259	45.6	80.4

備考 風壓前後中心位置は艦の最前端を基準とす。

風壓「モーメント」の「レバー」は水上側面積の重心と水中側面積の重心との距離を示す。

性 能 表

Dynam I stability (D.S)	D.S/4	風壓 面積	風壓面積 水中面積	風壓「モー メント」の 「レバー」 ルより)	水中面積 重心の高さ (キーブルより)	風壓によ る艦の傾 斜(風速 20メートル)	動週 搖期 全	艦の全長	記 事
179	.124	821	3.249	6,249				109.5	「バルヂ」装着前の「完成圖」を 基とし艦本にて「バルヂ」装着の 計算をなしたるものによる。 4部にて計算したもの。
389	.243	695	2.527	5,768		5.3	"		艦本4部舊計畫のもの。
484	.366							109.5	艦本4部新計畫のもの。
198	.137	688	2.555				"		同上、169Tの海水を補填
430	.257	665	2.282						
254	.156	875	2.993	5,923		8.3	118.5		昭和7-11-25 佐原にて重心査定試 験施行のものをとる。
503	.292	858	2.786	5,506		6.7	"		上記を基とし艦本4部にて計算し たるもの。
233	.190	585	2.369	4,550		7.2	102.565		昭和8-8-16 附特定修理直後石川 島より送付のものによる。
358	.282	578	2.265	4,552		6.0			上記を基として艦本4部にて計算 したもの。
92	.128	419	2.540	3,950		9.9	88.4		大正6-12-24 佐世保より送付のも のによる。
182	.241	412	2.393	3,936			"		
51	.065	458	2.635	4,133			16.4	88.4	昭和8-3-27 佐世保にて 施行の重 心査定試験成績による。
238	.263	433	2.210	4,150			"		
105	.128	446	2.436	4,140					
63	.082	444	2.550	4,030		12.1	88.4		
190	.219	428	2.225	4,045		7.8	"		
44	.073	427	2.676	4,241		10.2	82.0		昭和9年3月舞鶴より送付の完成 圖による。
233	.356	573	2.152	4,143			"		上記を基として艦本4部にて計算 したもの。
130	.185	504	3.167	5,090			90.8		艦本4部舊計畫のもの。
155	.216	416	2.367				88.5		艦本4部新計畫のもの。
283	.350	401	2.101						同上、海水93を補填す。
38	.125	274	3.032	3,231			65.3		昭和9-3-30 石川島 製重査定試験 成績をもととす。
201	.574	218	1.929	3,120			"		
42	.294	148	3.075	2,526			48.0		技術會議提出のもの。
54	.348	108	1.736	2,221	0.859		45.0		昭和9.8.15 艦本4部にて計算せるもの。
59	.069	383	3.059	3,904		16.0	76.2		昭和9-4-15 横廠にて重心査定公試 の結果非公式に送付のものによる
147	.239	572	2.740	3,905		9.2	"		上記を基として艦本4部にて計算 したもの。
167	.265	570	2.685	3,905		8.6	"		
36	.073	398	3.370	3,957			74.0		
273	.400	369	2.253	3,942			"		
62.4	.119	363	3.457	3,982		12.5	73.0		昭和8-7-30 石川島 にて 施行の重 心査定公試成績による。
308.	.584	316	2.114	4,173		5.0	"		上記を基として艦本4部にて計算 したもの。
74.5	.163		3.166				73.0		
326.0	.597	305	2.034	4,141			"		
28.0	.224	108	2.075	2,015			45.1		明細表による。

第4表 復原

艦名	艦の状況	状態	排水量	平均吃水	GM	KG	BG	水線上G點の高さ(OG)	中央部に於て乾舷の高さ(上甲板)	KG/D	KG/d	Max GZ	Max GZ angle	Range
白露			172.7	3,180	.581	4.306		1,126	2,870	.712	1.354	.264	38.0	72.6
F47水			860	2,566	.689	3.331	1.801	.815	2,284	.697	1.318	.363	42.0	89.8
K3	現状	最悪載荷状態	327	1,578	.448	2.617	1,659	1,039		.63	1.658	.132	41.0	71
驅潜艇	改		354	1,647	.755	2.185	1,208	.538		.570	1.327	.456	50.5	99
K5			164	1,660	.579	1,865	.825	.205	1,440	.602	1.124	.329	45	92
驅潜艇			166	1,663	.616	1,880	.850	.217	1,437	.606	1.130	.346	45	92.4
夏島	改	造	620	2,120	.595	2,980	1,770	.860		.693	1.405	.450	39.4	77.7
猿島	完成豫想	(常備)	526	1,940	.190	3,610	2,455	1,680		.832	1,860	.110	33.0	47.5
	改	造	638	2,160	.605	2,960	1,735	.800		.688	1,370	.450	39.6	78.9
雁	現	状	137	1,355	.435	1,877	.996			.651	1.389	.839	42.0	77.2

備考 風壓前後中心位置は船の最前端を基準とする

風壓「モーメント」の「レバー」は水上側面積の重心と水中側面積の重心との距離を示す。

第5表 復原性能摘要用表

艦種	公試排水量	O G		G M		$\theta_r$		風壓面積比	
		公試	軽荷	公試	軽荷	公試	軽荷	公試	軽荷
特務艇	400噸 700	300純 580	500純 850	750純 700	750純 750	>90度 〃	>90度 〃	1.80 1.90	1.90 2.00
水雷艇	750	400	850	650	700	〃	〃	1.80	2.00
駆逐艦	1,000 1,200	550 800	1,000 1,300	600 850	550 750	90 80	80 75	1.90 1.90	2.20 2.30
敷設艦	2,000 5,000	800 200	900 1,700	900 1,300	1,100 800	80 80	75 70	1.90 1.30	2.20 1.85
巡洋艦	6,000 10,000 15,000	200 0 0	1,300 1,400 1,500	850 1,000 1,300	600 500 1,000	75 85 85	70 75 75	1.70 1.50 1.50	1.90 2.00 2.00
戦艦	35,000 40,000	0 0	2,000 2,000	2,000 2,000	1,500 1,500	70 65	60 55	1.20 1.00	1.50 1.40
航空母艦	40,000	300	2,500	2,100	1,500	65	55	1.60	2.00

備考 軽荷状態において本表の性能以下となる場合は重油タンク等に海水バラストを搭載して本表の示す性能より悪くならぬこと考慮され、この状態を補墳軽荷状態と稱した。

で安全な船としては大凡どの程度の数字におさるべきかが判断される。この考え方を有力なりどころとして多くの艦艇に對し復原性能改善対策の立案が推進されたのである。

安定性能上最も注意を要する小艦艇関係の代表的なも

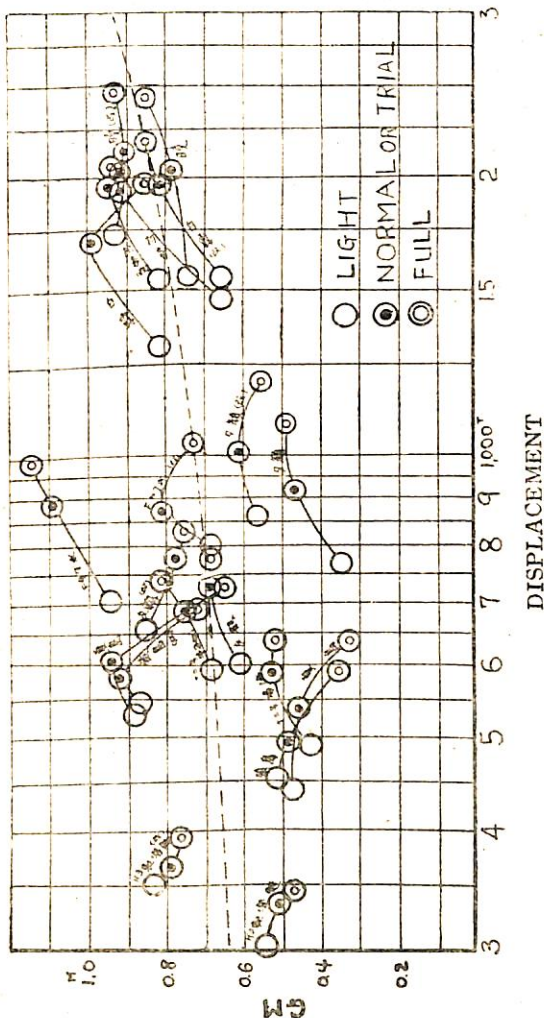
のについてこの性能改善対策を実施前後の復原性能比較表を第1表から第4表までに示した。

これらの圖や表で見ると性能の悪い船の數値が如何に突飛なものであるか認められるであろう。

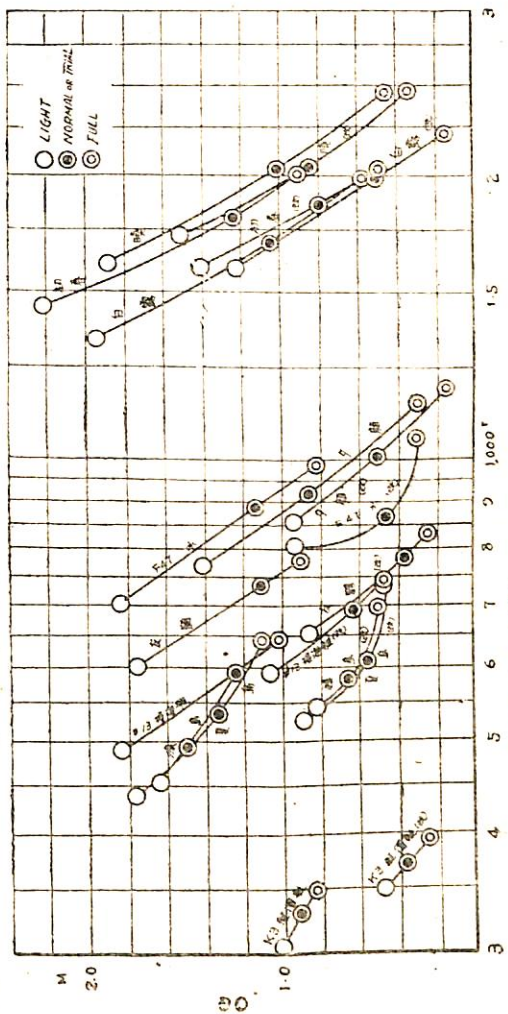
かくして復原性能改善対策の難作業は漸次軌道にのつ

性 能 表

Dynam 1 stability (D.S.)	D.S./4	風壓 面積	風壓面積 水中面積	風壓「モー メント」の 「レバー」	水中面積 重心の高 さ(キーパ ルより)	風壓によ る船の傾 斜(風速 20米)	動週 揺期 全金	記 事
369	.214	150	2,115				111	
311	.362	393	1,976				88.5	
35	.107	270	2,853	3,235			65.3	昭和 9-3-30 石川島 製重査試験成 績をもととす。
172	.486	217	1,904	3,125				
53	.321	94.1	1,376				45.0	艦本 4 部新計画のもの
56	.337	105	1,611	2,223	.894		45.0	昭和 9.8.15 艦本 4 部にて計画のもの。
217.0	.351	300	1,806	4,213		5.0	73.0	
26.8	.051		2,742				73.0	
218.0	.343	289	1,740	4,219			"	
27.0	.197	105	1,892	2,017			45.1	明細表より艦本 4 部において計算 のもの。



第6圖 性能改善対策前後の GM の変化 (艦本案)



第7圖 性能改善対策前後の OG の変化

(330 頁へつづく)

# 軍艦はどう變りつつあるか？ (その2)

堀 元 美  
米海軍技術顧問

## 軽快水上艦艇の變貌

丸弾先込めの青銅砲が、高い舷檣を開いた角型の砲門から、敵艦の帆桁を見當て射撃していた頃から、巨艦大和の18吋砲が、レイテ沖に米航空母艦を擊沈するまで、その長い時代に亘つて培われた兵術思想は、海上兵力の主兵は砲熐であるという考え方でありこれを端的に代表したのが“大艦巨砲主義”という言葉であった。

この期間には、相手國の相對應する艦に比べて、より強力で、より高速で、從つてより大型な艦を造つては、相手を凌ぎ優位を占むるという造船政策が自然の勢となり、結局はすべての艦種がその競争を繰返して來たのが軍艦の歴史である。

しかしその競争も巨艦大和を世界造船史上の金字塔として遂に終を告げた。

主力艦といふ名も既に過去のものとなつた、巨艦巨砲が海上兵力の根幹であつた時代には、巡洋艦も驅逐艦も悉く補助艦艇といふ一括した範疇に入れられ、最後の決戦場において戦艦の主砲が物をいまでの露拂いであり、前座を務めるものであり、そのドラマを最高潮にまで盛り上げて行くための脇役であつた。だが、今では事情は一變した。

上に述べた處と似たような場面がありとすれば、それは航空母艦を中心とする機動部隊において、小型の艦艇がややこれに似た働きをするかも知れないが、これとても昔の艦隊決戦時代とは異つてゐるであろうことは前に述べた。

今日では、ある一國が生存上必要とする海域の使用権に妨害を加うべきものは、相手國の航空機と潜水艦とであり、これに對して制海權確保の反撃を試むるのは防守側の軽快水上艦艇を根幹とし、これに航空機と潜水艦の協同する防衛兵力でなければならぬ。

すなわち、純粹の海上兵力といふ性格は、嘗ては補助艦と稱せられた軽快水上艦艇をもつてその中堅とするものである。

然らば、軽快水上艦艇とは何か？ この範囲の定め方には多くの論もあるがここには、假に1,000屯ないし3,500屯程度の艦艇としておく。

次にこれら軽水上艦に要求せられる任務は何である

か？ その主なるものを列記すれば、

- 1) 對潜探知能力
- 2) 對潜攻撃能力
- 3) 對空探知能力
- 4) 對空攻撃能力
- 5) 船團と同行し大洋を航行する性能
- 6) 航空機、潜水艦と協同動作する性能

等を擧ぐるべきであろう。

これらの諸性能の悉くを一艦の設計に盛込まんとすれば到底上記の排水量範囲には收まるものではない、排水量大となることは上述せる處でも判断し得る如く、國の生命線ともいふべき交通路防衛のためにみずから數多きを欲する護衛艦艇としては經濟上からみて本質的に不都合であるのみならず、艦自身の對潜攻撃運動性能上も有利ではないし、あるいは被害分散の考慮にも反する。

米國においては軽巡洋艦を設計變更して完成した制導駆逐艦 Norfolk (5,500屯) 1隻および新造せるものに同じく Mark A. Mitscher 級 (3,675屯) 4隻があるが、これらの同型艦は引續き建造されてはおらない。2,500屯以上3,000屯以内の範囲では各國に新造艦があり、その大要は第1表に示す如くである。これらの中にはやや萬能的裝備を有しているものと、對潜を重視したものとがあるようみられる。

これらの艦と雖も、在來の巡洋艦以上に比すれば、建造も容易價格も廉ではあるが、今後戦争の場合を豫想すれば、この程度の艦を多數整備することは容易の業ではなく、また必しもこの大きさでなければ、一定の用途に適しないわけではない。從つて各國とも寧ろ主力を注いで建造せんとしつつあるのは今少しく小型の艦であつて、主要任務をそれぞれに策定して、これに應ずる如きそれぞれの特性艦に分化せしめつつある。その大要を摘記すれば第2表に示す如くであり、それぞれの特性について簡単なる證明を列記すれば概ね次の如くであるといふことが出来る。

### a) 對潜攻撃を主任務とするもの

英國の Anti-Submarine Frigate “Quality” type、米國で一時 Hunter Killer ship と稱していたもので、高性能の水中探信測的裝置、並びにこれと聯動する自動的計算裝置によつて、敵潛との關係位置および相對運動

第一表

艦級名	國別	排水量(噸)	速力(節)	砲	發射管	對潛兵裝	呼稱
FORREST SHERMAN 級 11隻	米	2,850	35 ?	5吋×3 3吋×4	4	HH×2 K-GUN DCR×2	驅逐艦
DARING 級 8隻	英	2,610	31	4.5吋×6 40耗×6	10	SQUID×2	DARING型艦
SURCOUF 級 17隻	佛	2,750	32	5吋×6 57耗×6	12	A/S PROJECTOR×1 A/S發射管×12	一等護衛艦
IMPETUOSO 級 2隻	伊	2,775	34	5吋×4 40耗×16	3~2	A/S PROJEKTOR×1 D.C.	一等護衛艦
HALLAND 級 2隻	瑞典	2,600	35	4.7吋×4 57耗×2 40耗×6	8	A/S ROCKET×1	驅逐艦

HH = Hedgehog, K-GUN = 爆雷投射機, DCR = 爆雷投下軌條, A/S = Anti-Submarine

第二表

區別	艦名	國	排水量(噸)	速力(節)	砲	發射管	對潛兵裝	呼稱
(a) 對潛攻擊	WHITBY	英	2,000	27 ?	4.5吋×2 40耗×2	未詳	LIMBO×2 その他充實	A/S FRIGATE "QUALITY" TYPE
	HOLLAND	蘭	2,160	32	4.7吋×4 57耗×6	—	A/S PROJ.×2 K-GUN×4	ESCORT DESTROYER (A/S)
	RELENTLESS (改造)	英	1,740	34	4吋×2 40耗×2	4	LIMBO×2	FAST A/S FRIGATE
	CARPENTER (改造)	米	2,425	35	3吋×4 20耗×8	4	A/S ROCKET×2 H-H×1 K-GUN×4 D.C.R.×2	DESTROYER ESCORT (HUNTER KILLER)
(b) 船團對潛護衛	DEALEY	米	1,420	26 ?	5吋×4	有	SQUID×2 K-GUN×8 D.C.R.×1	OCEAN ESCORT
	BLACKWOOD	英	1,330	25	40耗×3	4	LIMBO×2	A/S FRIGATE "UTILITY" TYPE
	CORSE	佛	1,290	27	57耗×6 20耗×2	12	A/S-PROJ.×1 K-GUN×2 對潛發射管×12	ESCORT
	CANOPO	伊	1,500	26	3吋×4 40耗×4	3	A/S PROJ.×1	ESCORT DESTROYER
(c) 電波暗域	SALISBURY	英	1,800	25 ?	4.5吋×2 40耗×2	—	LIMBO×1	AIRCRAFT DIRECTION FRIGATE
	HENRY W. TUCKER (改)	米	2,425	35	5吋×6 3吋×6	—	HH×2 K-GUN×4 D.C.R.×1	RADAR PICKET DESTROYER
(d) 對空	LEOPARD	英	1,800	25 ?	4.5吋×4 40耗×2	—	LIMBO×1	ANTI-AIRCRAFT FRIGATE
	AGERHOLM (改)	米	2,425	35	5吋×6 3吋×6	5	HH×2 K-GUN×6 D.C.R.×2	DESTROYER

を標示し、攻撃諸元を算出し自動指揮によつて、対潜ロケット、聴音自動追尾魚雷、爆雷等を使用攻撃を行う。これらの諸装置は悉く近來發達せる electronics の所産である。艦自體の速力は 30 節以上の高速で、攻撃運動の軽快を本旨とする。火砲は第 2 義的である。

#### b) 船團等の対潜護衛を主とするもの

主要性能としては (a) と同等であり度いことは勿論であるが、船團とともに大洋を航するためには、十分な航続力と凌波性を備えなければならないし、特に戦時多數を必要とする關係上、構造、簡易にしてかつ多量生産に適するものたるを要する。従つてその大きさも航洋と稱し得る範囲でなるべく小とする。速力も 25~30 節以内で忍んでいる。

#### c) 電波探信哨戒を主任務とするもの

驅逐艦に強力なるレーダーを装備して、空中からの奇襲を早期に探知するという考えは、沖縄戦の際わが神風特攻に悩まされた米海軍のその當時における着想であつた。

今日の高速なる航空機に對しては、この要求はお一層切實のものとなり、更に航空機に巨大な electronics 兵器と C.I.C. (戦闘情報センター) 施設を装備しこれに電波警戒網の中堅たる任務を負わせて洋上遠く進出せしめるものを AEW (Airborne Early Warning) と稱する。

軽水上艦にしてこの種に属するものは対空哨戒レーダー、航空機誘導レーダー等の精銳なるものを有し、あるいは前方に進出してレーダー、ピケットとなり、あるいは航空母艦と協同して飛行機隊の針路誘導、歸投着艦誘導を行いあるいは味方戦闘機の空戦指揮を行つて立體的海戦の立役者となる。

#### d) 対空射撃を主任務とするもの

在來の驅逐艦の流れを汲んで、最もこれに近いものはこの艦種である。太平洋戦では、初期には高性能魚雷を有する日本が魚雷戦に成功し後にはレーダーの發達において先んじた米軍が奇襲的魚雷戦に成功したが、レーダーの普及せる今日水上艦対水上艦の魚雷戦は殆んどその機會は稀であろうと考えられる。恐らく対潜を主とする聴音自動追尾魚雷を用いるのでなければ、在來の意味において魚雷を搭載しようという水上艦はないと思われる。従つて在來の驅逐艦は対空射撃艦となり、これが同時に艦隊に伴つて行動するものとなるであろう。

現在の處では、在來の驅逐艦を近代化し特に対空砲とそのレーダーによる指揮装置を改善し、更に若干の対潜攻撃兵器を装備して、これを使用している。改造の代價重量として撤去されたものは魚雷の半分ないし全部であ

る。対空砲が、今後の航空機に對しどの程度有効であるかは問題であり、いずれは航空機の攻撃兵器と、誘導彈によつて out range されるものと思われるが、今日においては、優秀なる指揮装置によつて極めて少數の砲を有効に使用する方向に進んでいることは前回にも述べた通りである。

この種に屬する新造艦としては英國の Leopard 級がある。また米國においては在來の駆逐艦の対空砲をレーダー指揮装置附の 3 吋 50 口徑砲に換装したもの多數を有しているが、これらはこの性質に近いといえよう。

以上列記した 4 種類の分類によつてその代表的なものの要點を摘記したものが第 2 表である。これらの内米國は在來の艦から餘り武装を減ずることなく各型に属するものを改造しているが、これは米國の駆逐艦が大型であつたから出来たのであつて utility boat として考えるに至らぬ。economical なものではないかも知れぬ。

英國は多数の在來型駆逐艦を擁してその一部は A/S Frigate 等に改造しつつあるが、これすら預算の關係で思うに委せず苦しんでいる有様であり、艦隊の建直し工作が強く呼ばれている次第である。

### 軽水上艦に用いられる兵器

さて上述せる如く、軽水上艦をして在來のものに比し面目一新、新なる性格を示すに至らしめた處の新しい兵器は如何なるものであるかに一瞥を與えることにしよう。これらは第二次大戦中に着想新製せられ、同大戦を契機として生じた科學技術上の進歩飛躍に育成せられて今日に至つたものである。

#### a) 測的・哨戒・通信

##### ○見張用レーダー：(対空、対水上)

○逆探装置：敵がレーダーを使用する場合逆にその電波を捕えこれを測定して敵の所在を知るレーダー装置

○レーダー妨害装置：敵側の使用するレーダー並びに GM 誘導電波に自方から出す電波をもつて攪乱を加えこれを妨害する装置。

○敵味方識別装置：レーダー電波が来た場合これに對し自動的に特定の符号を反射し、該レーダーの受信面に現れる形態によつて味方艦なることを明にし同志打を避ける装置。

○誘導用レーダー：Homing ともいふ。飛行場の着陸指導装置と同様飛行機を誘導する。

○通信用としては超短波による味方航空機および隊内各艦相互の通信等が發達し、殆んど電話をもつて緊急通信に用い、連繫動作の利を極度に發揮する。

寫真電送、テレビジョン等も作戦に用いられる。

Guided Missil の Control もこの項の中に含むべきものであろう。

#### b) 射撃關係

高角砲の機構は自働化し、発射速度が増大した。機銃は口径 57 粒のものが現るるに至つた。40 粒以上のものはすべて、レーダーと、自動計算装置とを組合せ、射撃の指揮は數秒間目標を track すれば、後は繼續して正確なる未來位置に弾丸を送ることが出来る。この種の射撃の成績は詳かではないが、米英等において、対空砲の數を著く少くしていることは、射撃の精度が向上して、多数の砲を必要とせざるに至つたことを裏書するものではあるまいか？

#### c) 水中聴音、水中測定および攻撃指揮

舊ドイツ海軍技術の示唆により、極めて多數の受音體を電氣的に共働せしめる方法等により聴音裝置の能力は著しく増大した。

水中超音波の性質上、探信儀の有効距離は餘り擴大されてはいないが、その精度は著しく向上し、見張性能は向上した。

Sonar に聯動する攻撃指揮裝置は頗る發達し英國の A/S frigate の如きは、周圍を密閉せられた Operation room 内にあつて、空中、水上、水中の状況が完全に判るよう表示せられ Sonar (英國では asdic といふ) の把握せる諸元により electronic brain が働いて對潜攻撃兵器 Limbo (A/S mortar) は自働的に操作せられ、敵潛探知、照準、發射および爆雷深度調定までが一切入力によらずして遂行せられるものであるという。

#### d) 對潜攻撃兵器

第一次大戰以來のいわゆる "Ash-can" 型の爆雷は未だに用いられているが、これも次第に "Tear-drop" 型に變りつつある。

Hedgehog と呼ばれる小型(7.5 吋)の投射爆雷は第二次大戰中に用いられ始め、幾分改良されて今後も使用されるものであろう。

Rocket 方式である種の爆雷を投射するものが發達し、英國の Squid, Limbo, 米國の A/S rocket 等がいずれも威力大なるものと信ぜられている。

魚雷が頭部内に Sonar を備え目標のある範囲内に到達すれば、爾後は自ら追尾する機構を備うるに到つて、對潜兵器として重視せらることとなつた。極言すれば今後は水上艦の魚雷は潛水艦を狙い、潛水艦の魚雷は水上の艦船を目標とすることになろう。

以上の諸兵器の發達は主として電子工學とロケット工學との進歩に基いている。しかしその蔭には一層地味な

材料部門や、純粹の物理學の發達がひそんでいることも忘れてはならない。

#### 潜水艦はより重要となる

潜水艦については本誌前月號に座談會があるので、本文としてはその近況を一瞥するに止めよう。

第二次大戰において、日本の潛水艦に課せられた種々の特殊な役務は、今日も依然として必要と考えられているものの如く、貨物輸送潛水艦、陸戰隊等兵員輸送潛水艦、油槽潛水艦、日本の水中航空母艦併 400 潜の後裔ともみられる誘導彈發射潛水艦、レーダー哨戒潛水艦、訓練標的用潛水艦等は概ね在來の潛水艦用法の延長として、分化發展して使用されている。

水中音波、同超音波等による索敵、測距の發達上、聽音自働追尾魚雷の實現により、潛水艦が冰中に於いて敵の潛水艦を攻撃することが可能となり、對潛攻擊用潛水艦が出現し、同時に潛水艦自身の騒音除去対策や、海洋そのものの音響學的調査等基本的な研究が行われつつある。

特殊な兵器として、數人乗の小型潜航艇も各國において大いに研究されている。因に日本の特種潜航艇は、これまで大艦巨砲主義の現れの一つであつて、元來主力艦の決戦に際し、數において優勢なる敵に一擊を加えて有効戦列艦の數を漸減し、あるいは彼我對抗砲戦の隙敵艦隊に魚雷を發射し、敵をしてこれが回避のため砲戦上不利なる運動を行ふよう強制し、もつて味方主力の砲力を十分に發揮せしむるため、母艦に搭載せられて決戦場裡に進出し、極短時間に進發、10節近い水中高速をもつて潜航強襲するはずのものであつたが、かくの如き場面は第二次大戰中途に實現せず、意氣は壯なりしと雖も、敵港灣襲撃には著功なくして終つたものである。

凡そ奇兵的色彩を有する特殊の兵器は、筋書き通りの theater を造り出してこれを用いるのでなければ、殆んど役に立つものでないことを痛感せしむる一つの例である。

最近の各國の潜航艇は水中破壊工作隊 (Underwater Demolition Team) をもつて敵の水際施設を偵察、破壊する等上陸作戦に協同しあるいは防材の破壊等を企圖しているようである。

レーダーおよび航空機の發達は潛水艦をして晝夜を問わず水面に浮上しあるいは水上航行を行ふ能むざるに至らしめた。しかしその結果として Snorkel 給排氣裝置が發達し潛望鏡深度において Diesel 機関をもつて航走し、課電し得ることとなり、電池に対する要求も變って短時間放電を行い、水中15節以上の高速が得られるように

なつた。

同じ線に沿つて、英艦 Explorer の過酸化水素動力、米艦 Nautilus の原子力機関、等目醒しき特殊動力の世界が今や開拓せらつつある。

一方これら潜水艦性能の躍進に伴い、これに對する攻撃法も變化し、對潜水上艦艇、對潜潛水艦、對潜哨戒用および攻撃用航空機並びにヘリコプターあるいは飛行船、更にこれを支援する航空母艦等をもつて對潜掃蕩團(Hunter-Killer Team)を編成し、統一指揮の下に徹底的に潜水艦を掃蕩し擊滅する方策が執られている。

潜水艦の隠密行動によつて誘導原子爆弾を敵の要地に送致攻撃する如きことは、勿論可能なりとしても、實際問題として容易に行われるものではあるまいと思われるが、海上交通路に對する破壊工作は航空機の威力大なる今日、専ら潜水艦の主要任務となるべく、冷い戦争、なし崩し戦争、あるいは代理戦争の一つの現れとして、その可能性は最も大なるものであり、従つてこれが對策はいずれの國においても緊急の問題とせられている。

潜水艦自身の發展とこれが對抗策とは將來海上防衛上比重甚大なる問題の一つである。

### 結 言

在來の繫維機雷の外に、磁氣 聽音、水壓等各種の感應機雷の發達と艦船のみならず航空機からも敷設せらるることにより、機雷の脅威が甚だ深刻となつたことはわれわれの深く體験せる處であり、これに對處すべき掃海艦艇も眞剣に研究せられ、盛に建造せられつつある。また高速魚雷艇も大いに研究せられつつあるがこれらについてはこの際省略することとする。

大なる戦争は必ず科學技術躍進の契機を爲すものであ

つて、第二次大戰もまたその例に洩れなかつた。

Electronics, 原子核物理學、航空工學等の飛躍的發展に伴い、兵器もまた著く進歩變貌しつつあり、現在は未だその過渡期にあつて、その来るべき姿を推斷することは甚だ容易でない。

各國の公表する處は極めて不十分なる斷片的情報に過ぎず、本文もまたこれらに基いて記述する外なきをもつて、詳細具體的なる説明を爲し得ないのは止むを得ぬことである。

英國海軍當局が、議會において言明せる處によれば、終戰時建造中にして、進水後長らく工事を中絶しあつた Tiger 級巡洋艦 3 隻は近く“大砲をもつて主兵とする最後の巡洋艦”として竣工せしめらるべく、しかもその備砲は同大の在來艦が 6 時 6 門、4 時 10 門なるに對し、その數僅に 6 時 4 門、3 時 12 門に過ぎないといふ。

これは前述の通砲類兵器の性格が變化せることを物語るとともに、次の主要海上兵器は誘導彈なるべきことを明にしているのである。

既に英誌の論ずる處によれば、次代の主力艦は誘導彈の打ち合いを主任務とする重裝甲艦なりといふ。もしも然りとすれば、これは龜の子の如く一切の艦上機器を裝甲塔内に収めた奇怪なる艦となるであろう。

技術は前進してその止る處を知らず、海上兵力が國の防衛に對する役割は、既に嘗て占めた王座を航空兵力に譲つたとみるべきであろうが、艦船の必要性は一拘に減ることなく、これに關聯する技術の難しさは増大する一方であり、これを怠れば國の獨立は愚か、生存すらも覺束ないとは、洵に厄介なる次第であるといわねばならない。

(終)

### (325 頁よりつづく)

ていつたが、良心に從つて最後までそのいわゆる標準というものを提示したかつたのは既に述べた考え方からいつて賢明であつた。その代りに綜合的結論として今次の對策實施をやつた結果から見ると艦種別排水量別に G M O G,  $\theta_r$ , 風壓面積比等をこの程度の数字にしたものは安全であつたといふ意味の表すなわち復原性能摘要表(第 5 表)が作られた。この表だけを守れば安全だといつていい切れることは G Z や D S の如き重要項目が含まれていないことから考へても明かであるし、また各項目の数字が艦の大きさと對比してかなり不規則な變化を示して

いることから見ても今後學術の進歩研究に伴い、現象の掘下げ方が一層深くかつていけば自ら表中の数字自體も變つていくことは充分に豫想される。しかし多くの有能な人々の膨大な努力の結果を集約したこの表の信頼價値頗る大なることは認めなければならぬ。

排水量 3000 吨以下のいわゆる小艦艇に屬する部類のものの性能改善前後の GM, および OG の變りようをとり出して示したもののが第 6 および第 7 圖である。

(未完)

# 自動化された日出丸の機関部について

加藤繁

名古屋造船株式会社  
造機設計課長

## 緒 言

九次後期船建造の頃より特に強調され造船、海運界の注目する所となつた造船の合理化、船價の低減の方策として、弊社建造の柳木汽船御註文日出丸では、船主の理解ある協力によつて種々合理化、船價低減化の試みを實施して見た。

本船は計画當初、甲板機械、機関室補機とも全電動で出發したが、その後の數次の變遷を経て下記の仕様を基本に設計を行つた。

- 1 甲板機械の自動化（操舵機械のみは電動油壓）
- 2 機関室の主要推進補機を主軸駆動とす
- 3 主機械の排汽を副汽罐に直結する排汽罐に導入し大量の蒸気を急速に利用可能とす
- 4 主軸駆動推進用補機の豫備を自動化するとともに合理的に可能なる範囲機関室補機を自動化した、これによつて當時の評價（昭和23年10月切）で6000萬圓程度の製造原價の節約が可能となつてゐる。

## I 甲板補機の自動化

戦前優秀貨物船の揚貨機は殆んど全て電動であるのが常識であつたが、戦後のいわゆる計画造船では自動揚貨機が進出して來ている。これは取扱方法、維持費、製造原價、燃料費、等々それぞれの見地に立つて議論すれば一長一短はあるうけれども総合的に考えてまた特に經濟的な見地から、判断すれば當然自動揚貨機が有利であることは疑ひないと思われる。

今各種の見地からその優劣を比較して見ると、

## II 取扱方法

従来の型式の模型二汽筒式蒸氣揚貨機と電動揚貨機とを比較すると、捲揚速度、ワンマンコントロールの能不<sup>能</sup>等個々の性能を採上げれば電動揚貨機の優れていることは明かであるが総合的な荷役能率は荷役港の荷役取扱者の能率（結局揚貨機に対する慣れ不慣れの問題）解その他岸壁の荷さばき能率の良否に大いに影響され總荷役時間は必ずしも電動揚貨機が短いとは限らず、主として荷役港の荷揚能率の良否に左右される所が多大であることは周知の通りである。

一方蒸氣揚貨機の性能その物もクローマン式その他の如く全密閉式で蒸氣消費量も少く、操作方法も簡単で型式上からも性能上からも電動揚貨機に近い製品の進出し

て來ている今日取扱方法の優劣が揚貨機採用の決定的な要素となることは考えられない。

## III 設備の維持費

本問題についてはわれわれ造船業者の立場からよりも使用者側、すなわち船主の立場から論じていただく性質のもので、ここで述べるのは當を得ないけれども、一應造船設計者としての立場から検討すると、機械各部の部品の保守は長年月間經過後には電動揚貨機の方が勝れているものと思われるが、他方電氣部品の取扱いに關しては特殊の技術を要するのに對し蒸氣揚貨機であれば、普通の機械技師の手でどこの港でも修繕が出来る利點がある。

特に後述のように機関室まで自動化すればディーゼル船でも高級な電氣技師の乗船は不必要になるのではないかと思われる。甲板蒸氣管排汽管の腐蝕の問題も最近は優れた耐酸性防熱保溫材が完成しこれが補修に十分留意すればこれら諸管の壽命も相當伸び得る見透しがあり、また甲板蒸氣管中特に腐蝕の甚しいと思われる曲り部分、枝管を鋼管とすれば僅かな製造原價負擔で（約40萬程度）維持費に大きな節約が生じることとなる。

## IV 燃料消費量

燃料消費量すなわち燃料費の問題は船主の運航採算上重要な要素である。

主機械に對しては最近特に粗悪油使用の問題が盛んに採上げられた實用の域に達したが發電機械には從來通りA重油が使用されなければならない。甲板機械自動の場合補助罐で焚かれる油は粗悪油いわゆるC重油で充分である上、また後述の如く機関室補機をも自動化すれば發電機の容量は驚くほど少くなり從つて價格の高いA重油の消費量は大幅に節減される結果となる。（本船の例で180KW 3臺が 60KW 2臺に減少する）

（第2表、第3表、第4表參照）

## V 製造原價その他の問題

海運界が活況を呈することは期間的に見て極めて短く、特に最近のように不況が續く時には船主としては運航經濟性と同時に製造原價を如何に低減し金利負擔を少くするかということは重大な關心事であろうと思われる。電動揚貨機も最近は種々研究改良されてコストも大幅に低減されるに至つたが自動揚貨機のそれに比較され

ば3.5倍ないし4倍い、う比較にならない数字を示し、汽動揚貨機採用の場合に比すればまた發電機および發電機械の容量の減少と相俟つて1船の製造原價に及ぼす影響は相當な額となる。

例えば總屯7000ないし8000屯級の貨物船で揚貨機16臺の外航船では甲板機械電動の場合發電機および發電機械の容量は主機械の型式によつても多少異なるが、それぞれ180KWおよび270馬力が3臺必要であるに反し、甲板機械を汽動とすれば發電機および發電機械は2臺でそれぞれ160KWおよび240馬力となり、別に3號罐程度の補助罐が増設されることになる。

個々の機械の單價の取り方によつて異なるが一般にかかる變更により電動案より汽動案の方を3500ないし4000萬位安くなるといわれている。

これは總船價の約4ないし5%のコストを占めこれが金利償却費等も合せ考慮すれば大きな魅力のある問題と思われる。

## II 機關室補機の汽動化

### 1 概 要

ディーゼル機関の熱交換率は他の電動機に比較し良好であることは已によく知られている事實であるが、しかもなお排氣ガスの持ち去る熱量は燃料の發生する總カロリーの30%近くを占めている。

本船では排氣ガスボイラーを十分に利用しあかもまた前項の甲板機械汽動案の場合の補助罐を活用する意味で、主機械の冷却水ポンプおよび潤滑油ポンプをそれぞれ主軸驅動式とし、それぞれの豫備ポンプとして汽動ウオーション・トン式を採用する他小型補機（例えは燃料油および潤滑油等のサービスポンプ、清淨機類、清ポンプ、衛生ポンプ等）を除く機關室補機を殆んど全部汽動化する。

排氣ガス罐は補助罐と循環水ポンプを介して直結し、補助罐を使用しない航海時といえども補助罐はいつでも排氣ガス罐と同じ壓力温度を保つようにし補助罐の急速な氣蒸を計つている。

本例は外國文献等にも時々紹介されており、特にB&W. DOXFORD等の機関に適用されて優秀な成績を上げている様子である。

(Motor ship Aug. 1952, Motor ship Aug. 1953.  
B&W 技師長 Mr. H. Carstensen 來朝記念講演會報告書参照)

本邦でも三井造船建造御室山丸その他輸出タンカーにその例を見漸く斯界の注目を浴びつつある現状で9次後期船でも當社の楞木汽船註文のもの、日立造船建造の山下汽船、鐵道のもの等が本計畫を實施している。第10

次造船には更に多數の同種船が計畫されている實情である。

### 2 蒸 氣 消 費 量

本計畫のねらいは

イ) 排氣ガス罐を極度に利用して嚴冬時を除く大部分の航海状態では補助罐を使用しないで燃料經濟性を圖ること

ロ) 甲板機械汽動化に伴い必然的に設備される補助罐を有効に利用して發電機械發電設備の容量を合理的に低減させること

の2點にある。

排氣ガス罐は主機械の經濟出力4,250馬力にて毎時700kg/hrの蒸發量がありまた航海中の蒸氣消費量は第1表に示す如くであるので非常な寒冷時でないかぎり補助罐を使用する必要はない。

### 3 燃 料 消 費 量

本方式により主要推進補機を主軸驅動とし電動補機を極力節約することにより、A重油を使用する發電機械の容量は前述の如く極めて少くなり、燃料油の價格の算定如何によつても異なるが最近のロスにおける重油價格を用いて計算すると航海中年間約百萬圓強の利益となる。

本計算には種々の假定が入つているが、第3表、第4表を參照して戴ければ結果的に大きな差は出て来ないことがわかつたと思われる。

### 4 製 造 原 價 に 關 連 す る 問 題

往復動汽動ポンプはそれ自體を取上げて考えると相當なコストになるが前述の如く甲板補機汽動化に伴う補助罐を利用する點が大きな利點となり發電機械の容量が極めて少くなるので、主機械5000馬力の機關部で概算1500萬から2000萬位の製造原價節約が可能となる。

往復動汽機の取扱および保安等の點に關しては種々の論議があり、確かに回轉補機に比し部品の磨損度は大きいかも知れないが、逆に補修取扱に高級な技術を要せず、また大修理でも大抵の場合どこの港でも修理可能であり、場合によつては電氣技術者の乗員數が節減出来るのではないかと思われる。これらの利點並びに原價低減によるその償却費の減少を合せ考慮すると經濟船としては非常に大きな特長を持つた注目すべき例ではないかと考えている。

## III 熱 勘 定

以上述べた本計畫を熱經濟の觀點から理論的に裏付けるために種々な状態における蒸氣消費量および燃料消費

以上の計算を行つて見た。勿論多くの假定を設けた机上案で實船でこの計畫通りの成果が得られるとは思はないが、一應の目安は付きまた當らざとも遠からざる數値は得られると思う。第1表から第4表にその計算の過程が示されている。なお添付の要目表は本計畫に基いて建造された柄木汽船註文日出丸のもので、参考になれば幸甚である。

## V 結 音

第9次後期船着手當時本計畫を實施するに當つては三井船舶の大型タンカー御室山丸に具體的な1例を見るだ

けで、貨物船に適用された具體例を見ず、船價低減のやかましく呼ばれている折柄着想として面白く、理論的な裏付けにも間違はないと思うものの、甚だ心細い状態であつたが、船主監督の力強い支持と關係機器メーカーの助力により大過なく試運轉まで漕ぎつけることが出来た。今本船は三井船舶の不定期航路に就航している。

今後とも本船の協力を得て本計畫の長を伸ばし短を補つて優秀なものとしたい。

幸い第10次造船ではこれと同じ構想の機関部採用側が5, 6隻におよび甚だ意を強くしている次第である。

第1表 航海中および荷役中における發電機負荷および補助汽罐負荷

		汽動案		電動案	
		冬期	夏期	冬期	夏期
航	主冷却用海水ポンプ 主冷却用清水ポンプ 潤滑油ポンプ	220H P 主軸驅動	220H P 主軸驅動	發電機械負荷 217B H P	發電機械負荷 217B H P
	燃料弁冷却用清水ポンプ及燃料油ブースターポンプ	發電機械 蒸氣 負荷 220kg/hr.	發電機械 蒸氣 負荷 110kg/hr.		
	罐用補機械一式	82.3B H P 100kg/hr.	82.3B H P 90kg/hr.		
	その他機関部補機械一式				
	その他所要電力一式				
海	二重低タンク加熱用蒸氣 機関室内各種加熱用蒸氣 甲板雑用蒸氣 損失蒸氣	30kg/hr. 100kg/hr. 200kg/hr. 50kg/hr.	100kg/hr. 50kg/hr. 100kg/hr. 15kg/hr.	300kg/hr. 100kg/hr. 200kg/hr. 20kg/hr.	100kg/hr. 50kg/hr. 100kg/hr. 10kg/hr.
	合計	(航海中における排氣ガス罐の蒸氣発生量 700kg/hr.)			
	發電機械負荷	82.3B H P	82.3B H P	217B H P	217B H P
	補助汽罐負荷	250kg/hr.	—	—	—
	ウ 汽動 5T×30M/min イ ×16台	蒸氣 3840kg/hr.	蒸氣 384 kg/hr.	發電機械負荷 407.6B H P	發電機械負荷 407.6B H P 蒸氣 70kg/hr.
荷	シ 電動 5T×4台				
	チ 3T×12台				
	罐用補機一式	發電機 530kg/hr. 機負荷 71.3B H P	發電機 450kg/hr. 機負荷 71.3B H P		
役	その他機関部補機一式	200kg/hr.	200kg/hr.		
	その他所要電力一式				
	機関室各種加熱用蒸氣	100kg/hr.	50kg/hr.	100kg/hr.	50kg/hr.
	二重低タンク加熱用蒸氣	300kg/hr.	100kg/hr.	300kg/hr.	100kg/hr.
	甲板雑用蒸氣	200kg/hr.	100kg/hr.	200kg/hr.	100kg/hr.
中	損失蒸氣	155kg/hr.	140kg/hr.	20kg/hr.	10kg/hr.
	合計	(航海中における排氣ガス罐の蒸氣発生量 700kg/hr.)			
	發電機械負荷	71.3B H P	71.3B H P	407.6B H P	407.6B H P
中	補助汽罐負荷	5325kg/hr.	488 kg/hr.	700kg/hr.	330kg/hr.

第2表 航海中および荷役中における時間當り燃料油消費量

		罐用	發電機械用	使用日数または時間
航 海 中	汽動案	冬期 22.1kg/hr. 夏期 一	15.6kg/hr. 15.6kg/hr.	50日 150日
	電動案	冬期 一 夏期 一	41.2kg/hr. 41.2kg/hr.	50日 150日
荷 役 中	汽動案	冬期 471.2kg/hr. 夏期 433.9kg/hr.	13.5kg/hr. 13.5kg/hr.	22.5時間 67.5時間
	電動案	冬期 64.0kg/hr. 夏期 29.2kg/hr.	77.4kg/hr. 77.4kg/hr.	22.5時間 67.5時間
備考	使用日数および時間は、年間航海日数200日、荷役時間は全力荷役に換算して90時間とともに内25%を冬期とする。			

第3表 航海中および荷役中における年間燃料油消費量

		罐用	發電機械用
航 海 中	汽動案	26.5 ton	74.9 ton
	電動案	—	197.8 ton
荷 役 中	汽動案	39.9 ton	1.2 ton
	電動案	3.4 ton	7.0 ton

第4表 航海中および荷役中における年間燃料費

最近の「ロスアンゼルス」における重油の價格は

罐用 4,380圓/トン

ディーゼル用 10,000圓/トン

である、これを使用して年間燃料費を算出すれば次のとくである、

		罐用	發電機械用	合計
航 海 中	汽動案	116,100圓	786,500圓	902,600圓
	電動案	—	2,076,900圓	2,076,900圓
荷 役 中	汽動案	174,800圓	12,600圓	187,400圓
	電動案	14,900圓	73,500圓	88,400圓
汽動案による年間利益		1,174,300圓(航)-99,000圓(荷)=1,075,300圓		

S 107 機關部要目表

船主 株式会社 楠木汽船

船種 遠洋航路第一級貨物船ロイド、N.K.

船體寸法 垂線間長 130.0M 型幅 17.8M 型深 11.7M 吃水 8.76M

總屯数 7,750TON 航海速力 13.5Kt 航續距離 18,000浬

名稱	數	型式	容	量	原動機	備考
主機械	1	浦賀スルザー "7SD72" 單動無氣噴射式	定格 5000B.H.P. × 128R/M			C重油使用
補汽罐	1	乾燃室付圓罐 #3	4,300φ × 2,300 w.p. 10kg/cm <sup>2</sup>			

排 気 罐	1	ラ モ ン ト 式	蒸發量約 0.7ton/hr w.p. 10kg/cm <sup>2</sup>		
主 発 電 機 機	2	4サイクルディーゼル	D.O. 230V. 60KW 160B.H P. 750B/M		
主 空 気 壓 縮 機	2	豎型二段壓縮式	220m <sup>3</sup> /h × 30kg/cm <sup>2</sup>		
非 常 用 空 気 壓 縮 機	1	"	20kg/cm <sup>2</sup>	主發電機械直結	
主冷却用海水ポンプ	1	横 型 涡 卷 式	265m <sup>3</sup> /h × 20m	手 動	
"	1	豎型ウォーシントン式	265m <sup>3</sup> /h × 25m	オイルモーター 驅動	
冷 却 用 清 水 ポ ン プ	1	横 型 涡 卷 式	200m <sup>3</sup> /h × 25m	汽 动	
"	1	豎型ウォーシントン式	"	オイルモーター 驅動	
燃 料 介 冷 却 用 清 水 ポ ン プ	2	横 型 涡 卷 式	7m <sup>3</sup> /h × 30m	4HP 電動機	社内製作
潤 滑 油 ポ ン プ	1	横 型 ス ク リ ュ ー 式	275m <sup>3</sup> /h × 145m	主 軸 驅動	
"	1	豎型ウォーシントン式	200m <sup>3</sup> /h × 45m	汽 动	
燃 料 油 ブ ースターポンプ	1	横 型 齒 車 式	1.3m <sup>3</sup> h × 120m	3HP 電動機	
燃 料 油 移 送 ポ ン プ	1	豎型ウォーシントン式	30m <sup>3</sup> /h × 35m	汽 动	
" サ ビ ジ フ サ ー ビ ジ フ サ ー ポ ン プ	1	横 型 齒 車 式	4m <sup>3</sup> /h × 25m	3HP 電動機	
" ピ ユ ー リ フ ィ イ ャ ー	2	シ ّ ー プ レ ス 式	2000l/hr	2HP "	
" ク ラ リ フ ィ イ ャ ー	2	" 吐出側ポンフ付	"	3HP "	
" 清 淨 機 用 ポ ン プ	2	横 串 型 齒 車 式	2 × 2.5m <sup>3</sup> /h × 20m	2HP "	
潤 滑 油 移 送 ポ ン プ	1	横 型 齒 車 式	4m <sup>3</sup> /h × 25m	3HP "	
" 清 淨 機	1	シ ّ ー プ レ ス 開 放 式	1500l/hr	1HP "	
ビ ル デ • バ ラ ス 特 ポ ン フ	1	豎型ウォーシントン式		汽 动	社内製作
消 防 雜 用 ポ ン プ	1	"	140/70m <sup>3</sup> /h × 30/60m	"	"
ビ ル デ ポ ン フ	1	"	30m <sup>3</sup> /h × 35m	"	"
サ ニ タ リ ー ポ ン プ	1	横 型 涡 卷 式	8m <sup>3</sup> /h × 30m	4HP 電動機	"
清 水 ポ ン プ	1	"	5m <sup>3</sup> /30m	3HP "	"
罐 用 給 水 ポ ン プ	2	豎型ウェヤース式	13m <sup>3</sup> /h × 140m	汽 动	"
排 気 罐 用 給 水 ポ ン プ	1	"	2.0m <sup>3</sup> /h × 140m	"	"
排 気 罐 用 循 環 ポ ン プ	2	横 型 涡 卷 式	6m <sup>3</sup> /h × 20m	3HP 電動機	
罐 用 噴 燃 ポ ン プ	1	横 型 齒 車 式	1.0m <sup>3</sup> /h × 140m	3HP "	
"	1	豎型ウェヤース式	"	汽 动	社内製作
罐 用 送 風 機	1	横 型 軸 流 式	20m <sup>3</sup> /min × 60mm Aq	7.5HP 電動機	
潤 滑 油 冷 却 器	2	横 型 表 面 式	O.S. 70m <sup>2</sup>		社内製作
清 水 冷 却 器	2	"	O.S. 70m <sup>2</sup>		"
補 助 復 水 器	1	大 汽 壓 式	O.S. 60m <sup>2</sup>		"
給 水 加 热 器	1	横 型 表 面 式	H.S. 6m <sup>2</sup>		"
清 淨 機 用 燃 料 油 加 热 器	2	横 型 表 面 式	H.S. 4.5m <sup>2</sup>		"
主 機 用 "	1	横 型 表 面 式	H.S. 2.1m <sup>2</sup>		"
罐 用 "	2	豎型表 面 式			
給 水 滉 器	1	カ ス ケ ー ド 式			社内製作
機 關 室 通 風 機	2	豎型軸流可逆式	250m <sup>3</sup> /min × 30 Aq	4HP 電動機	
主 機 開 放 用 起 重 機	1	捲 揚 電 動	3 TON	5HP "	
萬 能 工 作 機	1		8'-0" 旋盤	5HP "	
熔 接 機	1	電 氣 式			
主 空 気 槽	2		9m <sup>3</sup> × 30kg/cm <sup>2</sup>		
補 助 空 気 槽	1		200l × 30kg/cm <sup>2</sup>		
非 常 用 空 氣 槽	1		4 l × 20kg/cm <sup>2</sup>		社内製作

甲板補機

名 称	數	型 式	容 量	原 動 機	備 考
揚貨機	16	クローマン型	5ton × 20m	汽	動
揚錨機	1		18ton × 9m/min	汽	動
繫船機	1		7ton × 25m/min	汽	動
操舵機	1	電動油壓浦賀ヘルショード式 1 ブーム 2 シリンダー型		15H.P. 電動機	

機 關 部 ダ ン ク

名 称	數	容 量	名 称	數	容 量
燃料油セットリングタンク (C重油)	2	9,000	潤滑油セーボールタンク	1	400
燃料油サービスタンク (C重油)	2	8,000	潤滑油サービスタンク	1	200
燃料油セットリングタンク (A重油)	1	3,000	シリンダー油レザーバタンク	1	5,000
燃料油サービスタンク (A重油)	1	2,500	シリンダー油計測タンク	1	200
燃料油セットリングタンク (罐用)	2	2,500	コンプレッサー油タンク	1	100
清淨燃料油タンク (A重油)	1	3,000	石 油 タ ン ク	1	450
燃料油レシデュータンク	1	1,000	シリンダー油ドレンタンク (上部)	1	150
燃料油セーボールタンク	1	400	補機用内部油タンク	1	300
清淨機用燃料油加熱タンク (A重油)	1	400	冷却用清水コンペニセーションタンク	1	1,400
清淨機用空気分離タンク	2	25	燃料弁冷却清水イックスパンションタンク	1	1,500
潤滑油ドレンタンク (二重底)	1	15,000	清淨機用温水タンク	1	150
潤滑油豫備タンク (二重底)	1	12,000	檢 油 タ ン ク	1	200
潤滑油レザーバタンク	1	7,000	清淨潤滑油タンク	1	450
潤滑油セットリングタンク	1	4,500	シリンダー油ドレンタンク (下部)	1	50
補機用潤滑油セットリングタンク	1	450			

新刊案内

# 船用品便覧

監修 豊田重吉  
運輸技術研究所儀裝部  
豫價450圓(送50圓)  
B5判, 上製, 180頁

(内 容)

- 1 總說 2 救命器具 3 消防設備および器具
- 4 船灯および信號灯 5 信號器具 6 船口覆布, 船口覆板, 船口覆蓋 7 舵窓類 8 鎖, 鎖, 索 9 儀裝金物 10 船用塗料 11 船用計器 12 通信器機 13 照明配線器具類

東京都文京區  
向岡町3 天然社 振替  
東京79562番

船舶機器製造状況表(昭和29年12月分)

船舶局關連工業課

機種	臺數	出力(H.P.) 傳熱面積 (M <sup>2</sup> )	重量 (T)	價格(千圓)
蒸氣ボイラ	2	139M <sup>2</sup>	33	9,500
蒸氣レシプロ	3	108H.P.	6.4	3,000
蒸氣タービン	—	—	—	—
内燃機関	1,378	55,741	2,587.2	1,196,455
燃燒玉機關	152	5,511.5	398.1	92,408
機電着機關	354	2,079.5	57.1	28,810
關小計	1,884	63,332	3,042.4	1,317,673
船用補機	588	—	297.4	146,396

# 水槽試験資料 51 (M.S. 87×M.P. 77R&L, M.S. 88×M.P. 78R&L)

船舶編集室

## — 巡視船の模型試験 —

海上保安廳の巡視船としては現在 270 トン, 350 トン, 450 トン, 700 トン等の各型のものが活躍しているが、今回はこのうち 450 トンおよび 700 トン型の模型試験成績を掲げる。M.S. 87 は 450 トン型に、M.S. 88 は 700 トン型に對應するそれぞれ 4.75 米および 5.0 米模型船で、兩船の主要目は、試験に使用した模型推進器の要目とともに第 1 表に、正面線図および船首尾形狀は第 1 図および第 2 図に示す。450 トン型の場合は 650BHP × 320RP

M のディーゼル機関 2 基の、700 トン型には同じく 750 BHP × 270RPM のディーゼル機関 2 基の搭載が予定された。第 1, 2 図に示す如く兩船とも推進器軸はシャフト・ブレッケットで支持され、舵は船體中心線面につけられた流線型吊下舵である。

試験はいずれも満載、常備、輕貨の三状態について施行された。結果は第 3 図および第 4 図に示す。

第 1 表 要

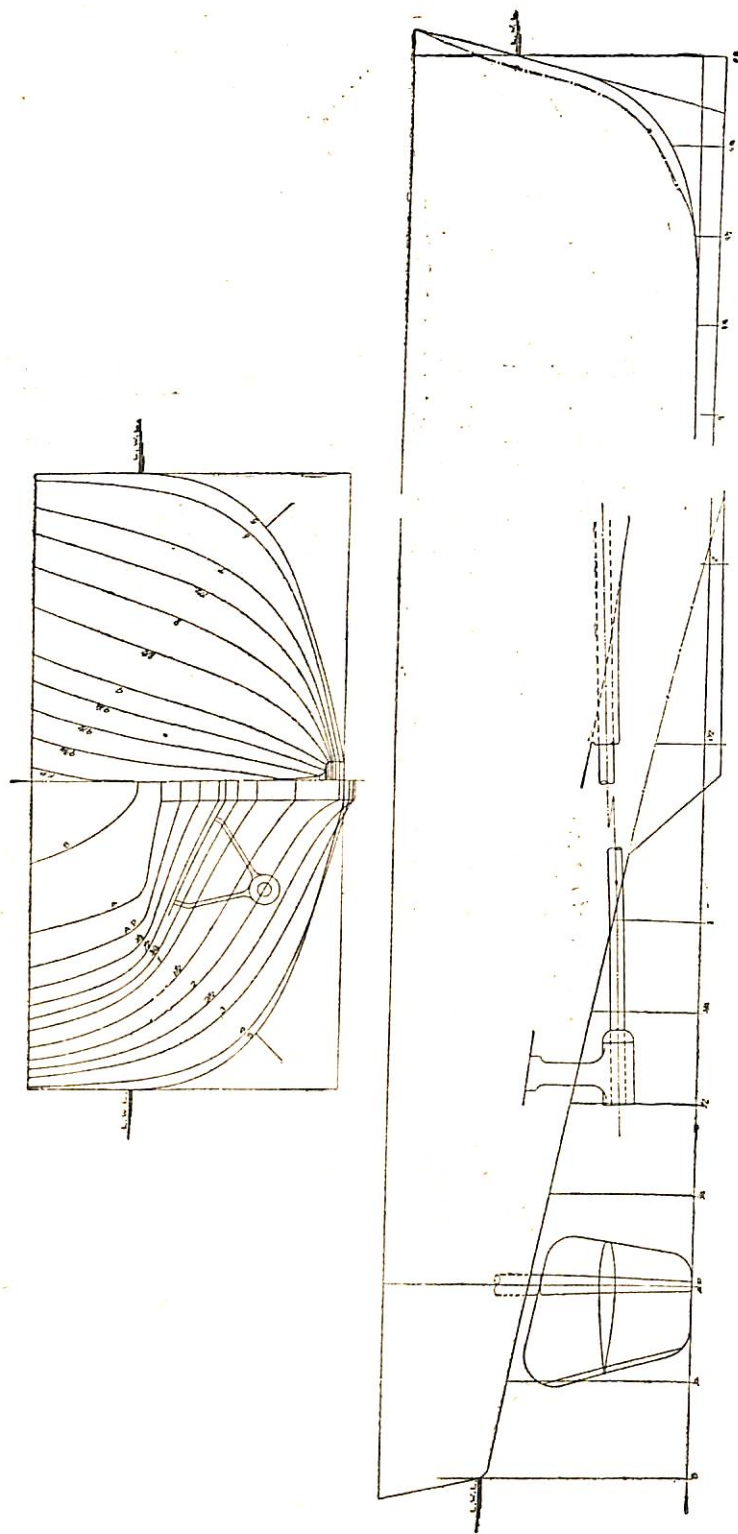
M.S. No.		87	88
長 (L.B.P.)		47.50 米	51.50 米
幅 (B) 外板を含む		8.116 米	9.327 米
常 備 狀 態	吃 水 (d)	2,708 米	3,064 米
	吃水線の長さ (L.W.L.)	50,000 米	57,500 米
	排 水 量 (A)	515.4 越	819 越
	C <sub>b</sub>	.480	.504
	C <sub>p</sub>	.619	.591
	C <sub>W</sub>	.776	.852
	lcb (L.B.P. の % に て, 頭より)	+2.10%	+1.75%
平均外板の厚さ		8 約	13.5 約
$\lambda_s^*$		.14461	.14406
$\lambda'_s^*$		.1836	.1739

\* 印 L.W.L. に基く

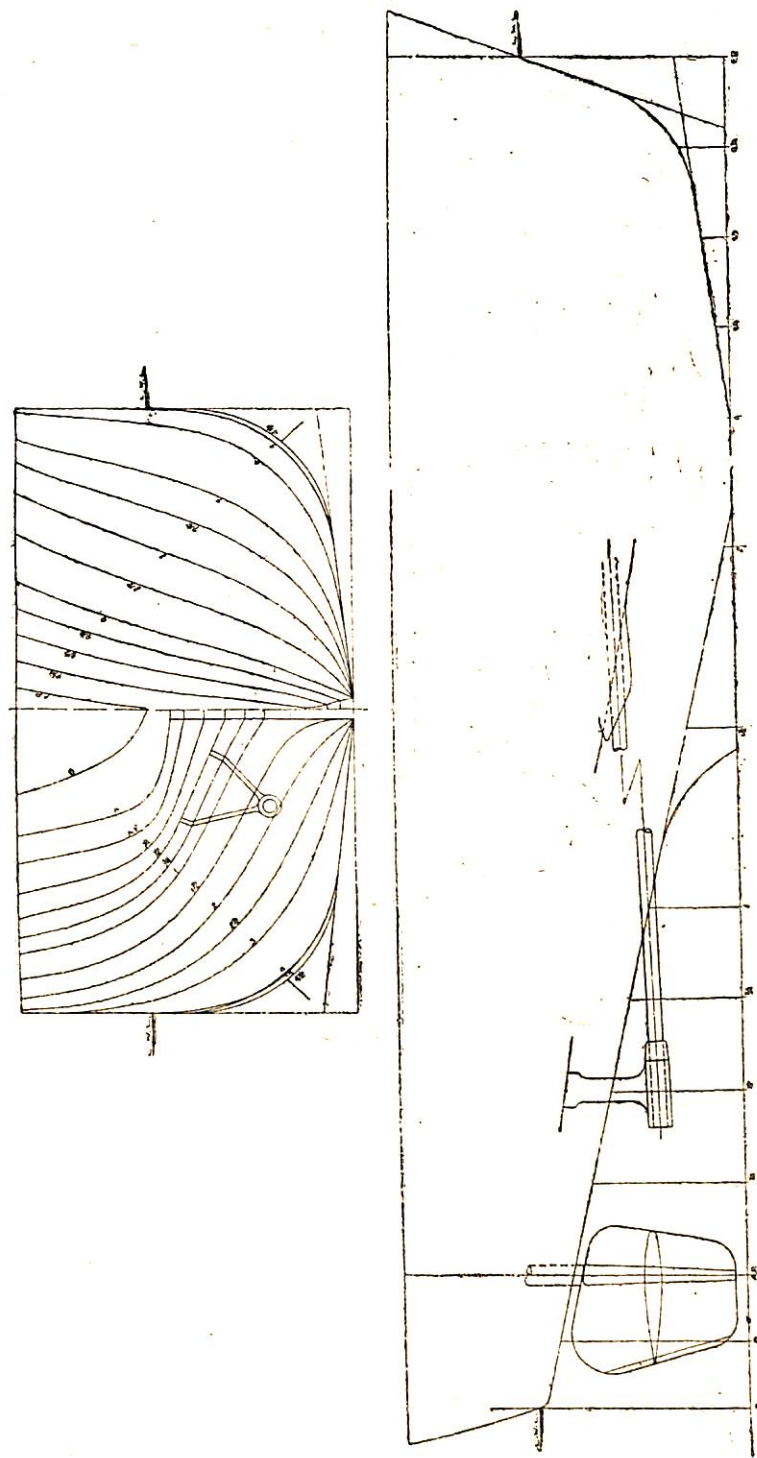
目 表

M.P. No.		77 R&L	78R&L
直 径		1,850 米	2,100 米
ボス比		.216	.200
ピッヂ (一定)		1,610 米	1,940 米
ピッヂ比 (%)		.870	.924
展開面積比		.459	.467
翼厚比		.0470	.0462
傾斜角		10°～0'	10°～0'
翼數		4	4
回轉方向		外廻り	外廻り
翼断面形状		エーロフォイル	エーロフォイル

第1圖 M.S.87正面線圖および船首形勢圖

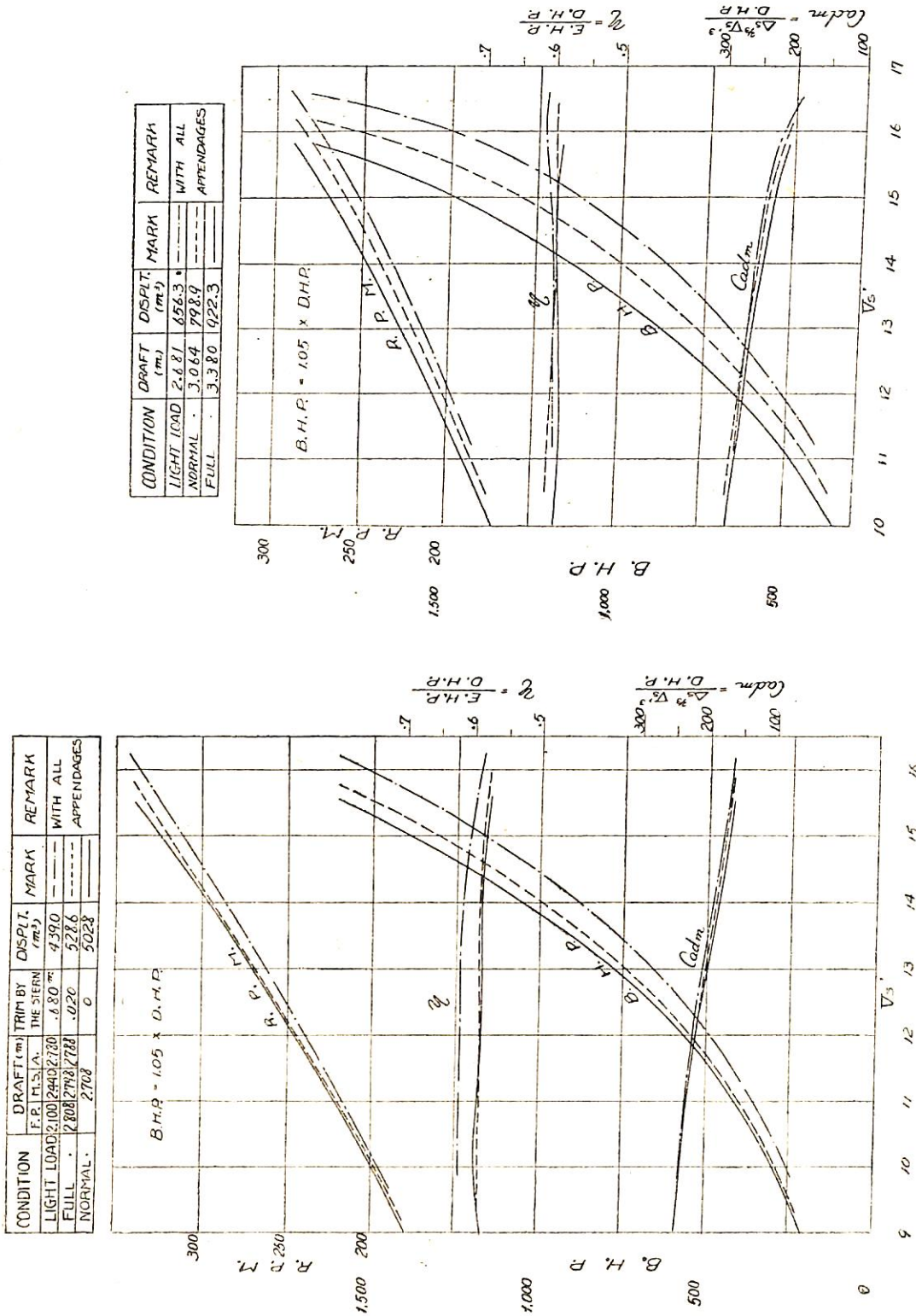


第2圖 M.S. 88 正面線圖および船首船尾形狀圖



第4圖 M.S.88×M.P.78 R&L B.H.P. 等曲線圖

第3圖 M.S.87×M.P.77 R&L B.H.P. 等曲線圖



# 鋼船建造状況月報(30年2月)

運輸省船舶局造船課

## (イ) 起工船

(昭和30年2月中に報告のあつたもの)

造船所	船番	船名	主	總屯數	主機	關用	途	起工年月日
石川島重工	740	日鐵汽船	日本汽船	1,490	D	1,300	貨	30. 2. 11
宇品造船	31	戸田汽船	戸田汽船	200	〃	350	〃	30. 2. 15
瀬戸田造船	65	島田海運	島田海運	410	〃	320	〃	30. 2. 21
名古屋造船	124	協和汽船	協和汽船	690	〃	750	〃	30. 2. 9
吳造船	13	日本水產	日本水產	112	〃	340	漁(底曳)	30. 2. 15
〃	14	〃	〃	112	〃	〃	(〃)	〃
〃	15	〃	〃	112	〃	〃	(〃)	〃
金指造船	207	西幸漁業	西幸漁業	345	〃	650	〃(鮪)	30. 2. 26
〃	201	小笠原漁業	小笠原漁業	250	〃	〃	(〃)	30. 2. 11
函館ドック	221	北海道開發局	北海道開發局	300	—	〃	雜(浚)	30. 2. 1
新潟造船	83	新潟海陸運送	新潟海陸運送	120	—	—	〃(淨)	30. 2. 16
〃	84	〃	〃	〃	—	—	(〃)	〃
日立・因島	3752	リベリヤ向	リベリヤ向	21,000	T	15,000	輸(油)	30. 2. 18
三菱長崎	1456	アメリカ向	アメリカ向	27,400	〃	17,600	〃(〃)	30. 2. 28
N. B. C. 吳	H-35	リベリヤ向	リベリヤ向	32,000	〃	12,500	〃(油兼鑽石)	30. 2. 15
川崎重工	938	香港港	香港港	3,600	D	2,400	〃(貨)	30. 2. 5
瀬戸田造船	64	金剛海運	金剛海運	200	〃	220	貨	30. 1. 11
〃	65	八代汽船	八代汽船	410	〃	240	〃	〃
安藤鐵工	382	運輸省二港建	運輸省二港建	110	—	—	雜(土運)	30. 1. 26
來島船渠	—	横山正三郎	横山正三郎	440	D	350	貨	29. 12. 1
西井船渠	—	山本楠五郎	山本楠五郎	230	D	510	漁(鮪)	29. 7. 29
他13隻(100噸未満)	677	總噸						

合計 34 隻 90,328 總トン

## (ロ) 進水船

(昭和30年2月中に報告のあつたもの)

造船所	船番	船名	總屯數	船主	主機	關用	途	進水年月日
三井・玉野	592	羽黒山丸	7,200	三井船舶	D	11,250	貨	30. 2. 26
新三菱・神戸	862	らぶらた丸	8,800	大阪商船	〃	8,500	〃	〃
日立・因島	3,750	嚴島丸	5,700	日本水產	〃	3,280	漁(冷運)	30. 2. 11
三菱・廣島	121	廣洋丸	7,400	大洋漁業	〃	5,000	〃(〃)	〃
〃・下關	500	第21日進丸	100	日魯漁業	〃	300	〃(手操)	30. 2. 26
〃・〃	501	第22〃	100	〃	〃	〃	〃	〃
大阪造船	98	第8德榮丸	180	沖中金助	〃	450	〃(鮪)	30. 2. 24
林兼造船	847	ながとき丸	345	南方漁業	〃	650	〃(〃)	30. 2. 26
金指造船	197	第1防長丸	350	山口縣漁業公社	〃	〃	〃(〃)	30. 2. 15
〃	200	第10全功丸	350	奥津政五郎	〃	〃	〃(〃)	30. 2. 26
銅管・清水	119	盤城丸	470	福島縣	〃	850	〃(練習)	30. 2. 20
函館ドック	220	一	300	北海道廳	—	—	雜(浚)	30. 2. 10
名村造船	278	一	250	運輸省四港建	—	—	〃(土運)	30. 2. 11
〃	279	一	250	〃	—	—	(〃)	〃
來島船渠	—	第2朝日丸	440	横山正三郎	D	350	貨	30. 1. 28
宇品造船	—	鶴重丸	150	林鹿太郎	〃	200	〃	30. 1. 25

石川島重工	734-7	一	180排水	米國海軍	D	165×3	輸(上陸用) 舟艇	30. 1. 15
"	734-8	一	180	"	"	"	"( "	"
西井船渠	一	第2千秋丸	230	山本楠五郎	"	510	"( 魚 )	29. 12. 22
他14隻(100噸未満) 835總噸								

合計 33隻 33,860總トン

(八) 艱工船

(昭和30年2月中に報告のあつたもの)

造船所	船番	船名	總屯數	船主	主機關	用途	竣工年月日
飯野舞鶴	11	廣南丸	620	廣南汽船	D	600	貨
南進造船	1940	星陸丸	80	三星海運	H	60	"
鹽山船渠	216	泰興丸	750	商船運輸	D	1,000	油
函館船渠	218	第2孝勇丸	175	孝勇漁業	"	450	漁( 魚 )
林業造船	843	第5明石丸	95	大洋漁業	"	310	"( 底曳 )
"	844	第6ク	95	"	"	"( " )	"
西井船渠	-	第2千秋丸	230	山本楠五郎	"	510	"( 魚 )
東造船	29022-1	第8あさひ	95	大洋漁業	"	320	雜(作業)
函館ドック	219	一	45	鐵路開發建設部	-	-	ク(起重機)
共同製作	58	三協丸	8	三協石油	不明	ク(給油)	30. 2. 4
"	59	シバリン丸	3	柴林石油	"	"( " )	30. 2. 3
丸菱造船會	-	-	22	三和石油	H	35	"( " )
名村造船	278	-	250	運輸省、四港建	-	-	30. 2. 9
"	279	-	250	"	-	-	"( " )
新潟造船	82	-	75	日本通運	-	-	ク( 航 )
渡邊製鋼	126	-	230	建設省	-	-	ク( 渡 )
播磨造船	490	DAMAYAN	600	米國陸軍向	D	1,170	輸( 渡 )
"	493	TULONG-TULONG	17	"	" 140×2	ドレッヂランダー	"
"	494	TABANG-TABANG	17	"	"	"( " )	"
三菱長崎	1441	WORLD-JURU	21,000	リベリヤ向	T	15,000	ク( 油 )
石川島重工	734-2	-	180排水	米國海軍向	D	165×3	輸(上陸用) 舟艇
"	734-3	-	"	"	"	"( " )	"
"	734-4	-	"	"	"	"( " )	30. 2. 14
"	734-5	-	"	"	"	"( " )	"
"	734-6	-	"	"	"	"( " )	30. 2. 25
瀬戸田造船	63	星興丸	80	三星海運	H	60	貨
金指造船	186	第1日神丸	320	自羽遠漁協組	D	650	漁( 魚 )
船崎造鐵	197	北拓丸	65	宇登呂漁協組	不明	ク( 不明 )	30. 1. 30
土佐造船	-	第6宇代丸	180	丸大水產	D	400	ク( " )
"	-	第7漁連丸	10	高知縣漁連	不明	雜(給油)	30. 1. 4
石川島重工	734-1	-	180排水	米國海軍向	D	165×3	輸(上陸用) 舟艇
幸陽船渠	728	不明	130	共和產業海運	H	120	油
興洋造船	50	第13大榮丸	80	岸水產	D	250	漁(底曳)

合計 33隻 26,602總トン

# 特許解説

大谷幸太郎  
特許解説

船舶自動バイロットに対する誤動作の安全用附屬装置（昭和29年特許出願公告第8,383号、発明者・フランス、ウニスト、ジュニヤー、出願人・セ、スペリー、コーポレイション——アメリカ）

船舶を直線針路に沿い航行させるために自動バイロット装置により作動させるべき舵の投入角は數度程度、例えれば10度までで充分であることが認められている。従つて自動バイロット装置において機械的または電氣的ななんらかの過失により操縦機関が舵を過動するに至るまで作動するような危険性のある場合でも舵を過動させず、前記數度程度の舵角を取らせそれ以上の舵の回轉を制限する装置を設けることが望ましい。しかもしも操縦者が手動により大きな針路変更を命令する場合には前記の制限装置を作動しないようにすることが必要である。本發明はこれらの目的を達成するようにしたもので以下圖面について説明する。

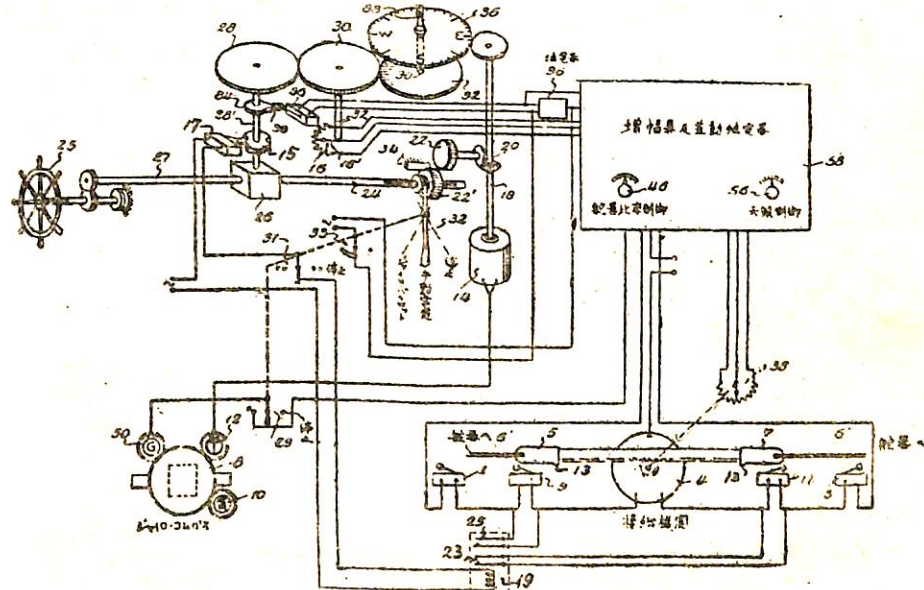
図示の自動バイロット装置はジャイロ・コムパス8の向きを送信する送信器12から中繼電動機14、軸・歯車系を介して摺動子16'を回轉するようにした第1の分壓器16と、舵または操縦機関4に摺動子を連結した第2の分壓器38とによりホワイトストン・ブリッヂを形成する型式のもので、25は手動操縦輪、32は前記中繼電動機14より分壓器16の摺動子16'に至る間の中間連結部分に

作動し自動バイロット装置を自操縦方式、手動電氣操縦方式、停止の3様に切換えることが出来るハンドルであり88は舵器命令指針である。

このような装置において本發明の目的を達するため舵に接続したカム5、7に係合する普通の制限スイッチ1、3の他に更に接近して位置する制限スイッチ9、11を設ける。これらスイッチは當時は閉ぢているが、その中の1個は舵の例えば10度以上のいすれかの方向における運動によりカム5、7上の隆起部13により押下げられて開放する。そしていすれかのスイッチが開かれると操縦機関に至る主回路が開かれようになつて、従つて操縦機関が舵を過動させるような誤動作を生じても舵器の制限スイッチ9または11が規定する小さい確定期限角内に限定され、これにより操舵者が舵を直接に手動的に制限しだきな偏向を生ずる前に針路を修正する時間を與えることが出来る。

次に操舵者が手動電氣制御により操縦しておりかつ手動輪25を通じて大きな針路変更を命令する場合は、制限スイッチ9、11を作動しないようにするために舵器命令指針83に接続した軸、例えは歯車28の軸28'上に2重カム15を設ける。そしてこのカムを手動輪25を回轉することにより回轉させ、その結果これに連動するスイ

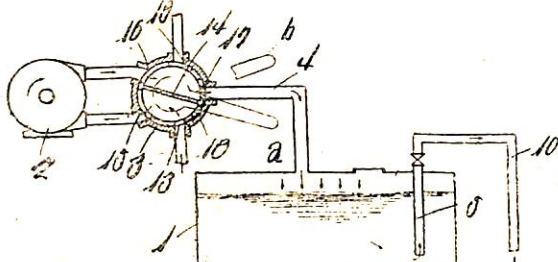
チ17を開ぢて繼電器19を励磁し短絡接點23、25を開ぢ。スイッチ9または11が前述のカムにより開放されても操縦機関に至る主回路が閉じた状態にあるようになる。従つて操舵者が大きな舵角の変更を必要とする場合は前述の制限角以上に舵を偏向させることが出来る。



である。

### 泥物自汲自棄可搬船（昭和30年特許出願公告第717号、出願人・発明者 瀧本正人）

従来の汚物運搬船においては汚物を船底に設けた孔より海中に放棄せたもので、このようなものでは汚物は海面近くに放出されるので浮上つて海面を汚染しましたは海滨に漂着して衛生上甚しく危害をおよぼしたものである。本発明はこのような缺點を除くために汚物放棄パイプを船體より海中に垂下し汚物を適宜の深さにおいて放棄するようにしたものが実験によれば海面下15mの潮流中に放棄するときは汚物は海航に運ばれて海面上に浮上することがない。更に本発明は汚物を汲取運搬車から船體内に自動的に汲入れることが出来るものである。



第1図

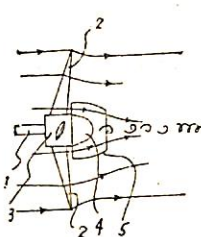
以下図面について説明する  
と船體内に汚物タンク1と旋  
回ポンプ2と加壓真空切替コ  
ック3とを装備し、これらを  
図面のように数個のパイプで  
連結する。10は汚物タンク1  
より外部に出した放棄並びに  
汲入用パイプである。いまポンプ2を運転し切替コック3のハンドルをaの位置に置けば切替コック3内に設けられた可動の隔壁14は図の位置を占め大気は大気吸入孔13よりポンプ吸込孔15を経てポンプ2内に入り、ポンプ排出孔16より吸排孔17、パイプ4を経てタンク1内に壓力をかける。従つて汚物をパイプ10を経て加壓下で海中に放棄することが出来る。

また汚物を汲取運送車よりタンク1内に汲入れる場合は切替コック3のハンドルをbの位置に置けば吸込孔18とパイプ4とが通じ大気吸入孔13は閉ぢる。従つてタンク1内に真空が生じて汚物をパイプ10よりタンク1内に自動的に汲入れができるのである。

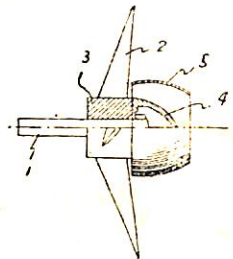
### 船舶用プロペラの効率増進装置（昭和30年特許出

願公告第18号、発明者・小菅正三、出願人・三菱造船株式会社）

従来船舶用プロペラにおいてはプロペラの回轉に伴つてプロペラボスおよびその後方に甚だしい水航の亂れを生じプロペラの効率を低下したものであるが、本発明はプロペラの後方に特殊な形態の環體を装着することによりプロペラ後方附近に生ずる亂航を整流するとともに環の後方開口部に生ずる吸引力によりプロペラ翼根部附近の水流を良好にしてプロペラの効率を増進させようとするものである。



第1図



第2図

図面において1はプロペラ軸、2はプロペラ翼、3はボス、4はボスの後部カバー、5は翼2の後方に出来る限り接近してプロペラ軸1と同心に装着し両端を解放したカップ状の整流環でその前方開口端の直徑はプロペラボス3の直徑よりも大きいがプロペラの直徑より小さくその後方開口端の直徑は前方開口端のそれより小さくしたものである。

このような環5を設けた場合には第2図に示すようにプロペラ後流の中央部附近に発生する渦流は他の部分と疎隔されるとともにこの渦流部の低壓を埋めようとしてこれより高い圧力の部分から水が流れ込むことにより後流に悪影響を與えることを防ぐことが出来る。また環の外部水流の縮流を緩和して導くと同時に環内部の水流の圧力を上昇させ、環の後方開口端における環内外の圧力差を減少させることによりプロペラ後流中央部に発生する渦流の影響を効果的に緩和しその発生位置をプロペラから遠ざけることが出来る。

### 「船舶」の購讀

「船舶」は買切制ですから前もつて書店に豫約購  
讀を御申込みおき下さい。なお、直接弊社へ前金

1年 1,500圓（送料共）

半年 800圓（〃）

お拂込みによる月極購讀の場合は、増頁その他の  
特價の場合にも差額は頂戴いたしません。

- 造船協会鋼船工作法研究委員会編  
A5判 アート 220頁(折込11枚) 450円(送50円)
- 船の熔接工作法**  
福永彦又著 A5 上製 240頁 400圓(送50圓)
- 海圖の見方**  
船舶局監修 A5 上製 320頁 560圓(送50圓)
- 船舶年鑑**(昭和30年版)  
浅井・豊田共著 A5 上製 280頁 450圓(送50圓)
- 天文航法**  
鷲島直人著 A5 箱入 250頁 450圓(送50圓)
- 船位誤差論**  
宇田道隆著 A5 上製 300頁 500圓(送50圓)
- 海洋氣象學**  
和達・畠山・福井監修 A5 450頁 1200圓(送50圓)
- 氣象辭典**  
中谷勝紀著 A5 箱入 230頁 500圓(送50圓)
- 船用チーゼル機関の解説**  
上野喜一郎著 A5 箱入 630頁 850圓(送50圓)
- 船舶安全法規**  
天然社編 B5 上製 220頁 450圓(送40圓)
- 船舶の寫真と要目 第2集**(1953年版)  
天然社編 B5 普及版 300頁 300圓(送40圓)
- 船舶の寫真と要目**(1951年版)  
上田篤次郎著 A5 上製(折込7枚) 500圓(送40圓)
- 船用電氣設備**  
造船協会電気熔接研究委員会編  
A5判総アート 200頁 360圓(送40圓)
- 船の熔接設計要覽**  
小林恒治著 A5 上製 260頁 420圓(送40圓)
- 實用航海術**  
小野寺道敏著 A5 上製 340頁 500圓(送40圓)
- 氣象と海難**  
山縣昌夫著
- 船型學(推進篇)** B5 上製 350頁 850圓(送50圓)
- 船型學(抵抗篇)** B5 上製圖表別冊 700圓(送50圓)
- 上野喜一郎著 A5 上製 280頁 380圓(送30圓)
- 船の歴史(第一巻)古代中世篇**  
上野喜一郎著 A5 上製 300頁 420圓(送50圓)
- 船の歴史(第2巻)近代篇**
- 米國造船造機學會編 米原令敏譯 各 B5 上製  
 " 船用機關工學 (第1分冊) 650圓(送50圓)  
 " (第2分冊) 520圓(送50圓)  
 " (第3分冊) 700圓(送50圓)  
 " (第4分冊) 800圓(送50圓)
- 舶用機關工學**(第5分冊) 900圓(送50圓)
- 船舶局資材課監修 B5 上製 400頁 650圓(送50圓)
- 船舶の資材**  
茂在寅男著 B6 上製 210頁 280圓(送25圓)
- 解説「レーダー」**  
橋本・森共著 A5 上製 200頁 300圓(送30圓)
- 船舶積荷**  
依田啓二著 A5 上製 200頁 280圓(送25圓)
- 海上衝突豫防規則提要**  
小野暢三著 A5 上製 170頁 250圓(送25圓)
- 船用聯動汽機**  
春日・杉浦・雨宮監修 A5 判 500頁 800圓(送50圓)
- 水産辭典**  
矢崎信之著 B6 上製 300頁 250圓(送25圓)
- 船用機關史話**  
天然社編 B5 判 180頁 280圓(送25圓)
- 船用品の解説と紹介**  
朝永研一郎著 A5 上製 210頁 250圓(送25圓)
- 船用機關入門**  
渡邊加藤一著 A5 上製 200頁 280圓(送25圓)
- 荒天航泊法**  
小谷・南・飯田共著 A5 上製 340頁 450圓(送40圓)
- 機關士必携**  
依田啓二著 A5 上製 400頁 450圓(送40圓)
- 船舶運用學**  
小谷信市著 A5 上製 300頁 350圓(送40圓)
- 船用補機**  
小野暢三著 B5 上製折込図 4葉 400圓(送40圓)
- 貨物船の設計**  
高木淳著 A5 上製 240頁 300圓(送40圓)
- 初等船舶算法**  
中谷勝紀著 A5 上製 320頁 350圓(送40圓)
- 船用チーゼル機關**  
中谷勝紀著 A5 上製 200頁 250圓(送25圓)
- 船用燒玉機關**  
神戸高等商船學校航海學部編  
A5 上製 180頁 180圓(送25圓)
- 航海士必携**  
關川武著 B6 上製 140頁 130圓(送25圓)
- 艤装と船用品**

# 船用二元傾斜計 特許出願中

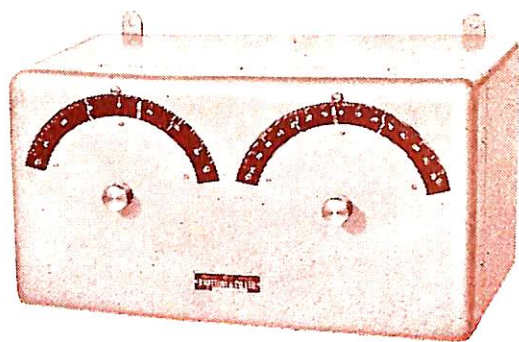
ローリング・ピッチング同時計測

指針は重力型振子式であります

磁力制振器により0.7秒内にて静

止します故振子の慣性による誤差

は殆どありません



大きさ：19×22×30cm 重量：8kg

ローリング計のみの一元式も同一構造で出来ます

株式会社 服部時計店 機械部

東京都中央区銀座西四丁目 電話京橋(56)代表2111(10)

支店 大阪市東区博労町四丁目 電話船場(25)代表2531(4)

出張所 福岡市下名島町四七 電話西代表7225(2)

# PARROT

ENGINE OIL

# パロット

エンデンオイル



益々好評

セニ画

# 特売!!

期間

30.2.1~30.4.30

# 昭和石油



# 石綿製品

石綿製品一般 保温保冷工事

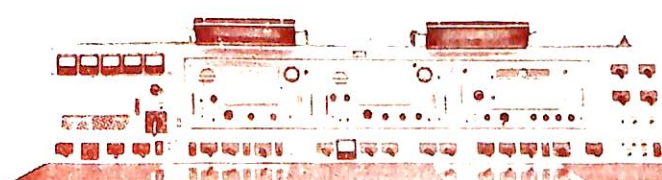
石綿紡織品・ジョイント・シート・石綿板  
各種パッキング・シリカライト保溫材

## 日本アスベスト株式會社

本 支 出 工	社 店 所 場	東電大福名 京話阪岡吉 銀市市 都座福 中央區 (57) 銀市 中 表 代 座 福 島 下 院 大 墓 大 屋 札	銀 座 島 下 福 島 通 福 島 五 二 通 帆 橋 二 洋 通 帆 橋 一 洋 通 帆 橋 八 良 見 奈	六 西 六 丁 目 番 地 番 地 地 寺	目 三 番 地 番 地 地 寺
------------------	------------------	--	--	---	--------------------------------------

# JRC船舶用無線装置

伝統の技術より  
画期的新型機完成！

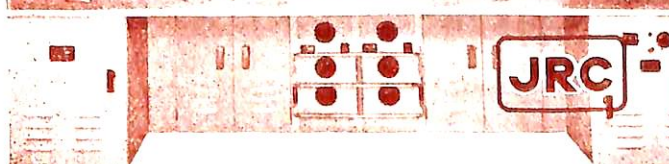


### 営業品目

船舶用送受信機 JRCレーダー<sup>ー</sup>  
オートアラーム受信機 ロラン受信機  
救命艇用無線機 方向探知機  
超短波無線装置 船内指令装置

各種無線装置取付工事・修理一切

本社 東京・三鷹・上連雀 930



# 日本無線

営業所 東京・渋谷・千駄ヶ谷4-693  
大阪支社 大阪・北・堂島中1-22



各種船舶並ニ艦艇ノ新造・修理 陸船用諸機械製作  
鉄構工事・土木建築業 浦賀スルザードイゼル機関製作

## 浦賀船渠株式会社

代表取締役社長 多賀 寛

本社 東京都中央區日本橋通二丁目六番地

TEL. 代表 千代田 (27) 5751・5761

Cables. 和文ニホンバシウラドホ

英文 URAGA DOCK TOKYO

### 浦賀造船所

横須賀市谷戸六番地

TEL. 代表 浦賀 80180  
横須賀 2355~7

### 横浜工場

横浜市神奈川区大野町二番地

TEL. 神奈川 (4) 5331~5

### 神戸事務所

神戸市生田区明石町三二番地

TEL. 元町 (4) 2723・6651

### 大阪張出所

大阪市北区絹菴町五〇番地

TEL. 堀川 (35) 491

### 能美式(船舶安全法規定)

## SMOKE DETECTOR

CO<sub>2</sub>瓦斯消防装置

空氣管式自動火災警報装置

其他警報 消火機器一般  
言及

製作。

工事。

保全。



### 能美防火工業株式会社

電話番号 (03) 216-5011  
(03) 216-5012  
(03) 216-5013  
電傳 (03) 216-5014  
販賣部 (03) 216-5015  
販賣部 (03) 216-5016

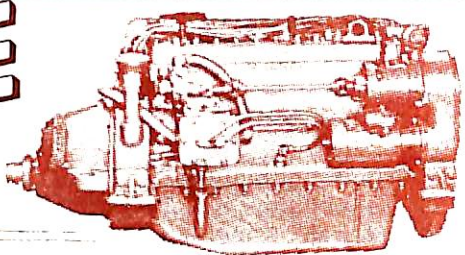
代理店 淡野物産株式会社

ハノソノ  
<HJS>  
ディーゼル  
船舶用  
発電用  
動力用  
50~1000 HP.

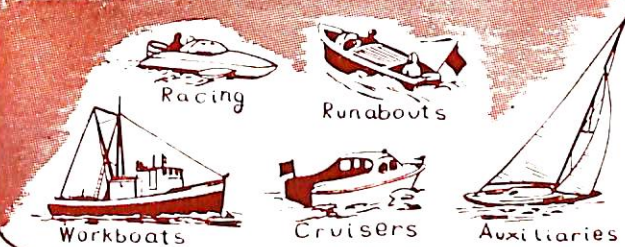
### 阪神内燃機工業株式会社

本社 神戸市長田区一番町三丁目一  
東京支店 東京都千代田区丸ノ内丸ビル601号  
下關出張所 下關市豊前田町第一ビル

# GRAYMARINE



ガソリン・モデル  
16-200馬力  
30種類  
デーゼル・モデル  
30-200馬力  
5種類



日本総代理店  
**日米自動車株式会社**

本店 東京都中央区京橋2丁目5ノ1番地

京橋(56) 3078, 3267  
6035, 7093

支店 大阪市北区曾根崎新地2丁目24番地  
福島(45) 1534, 2971

## 電気防蝕 CATHODIC PROTECTION



保護 Mg 陽極の取付で  
水中部鉄面の腐蝕は停止  
し、従来の錆も脱落しま  
す。

(御 資 料 送 呈)

保護用マグネシウム陽極を取付けた光榮丸油槽底部



**日本防蝕工業株式会社**

設 計

東京都千代田区神田司町一丁目三番地

施 工

電話神田 (25) 5279・3239・4970

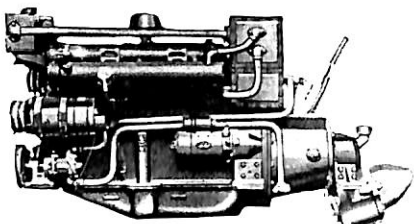
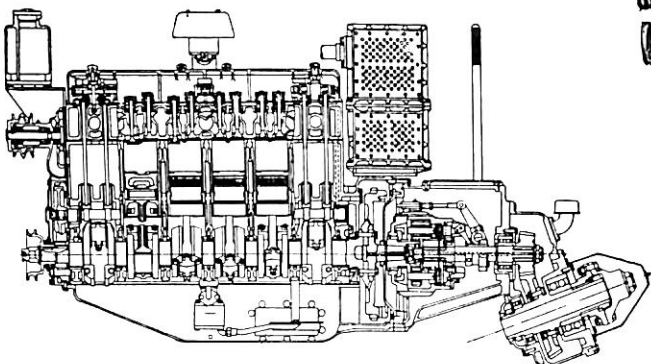
総代理店 三菱商事株式会社

昭和三十年三月月刊第三種郵便物認可  
毎月二十日発行

世界的技術水準に於る  
最優秀純國產小型高速

## いすゞ船用ディーゼル機関

供給、既に3萬数千台、300数万馬力。いすゞディーゼルの声価は国内は固より、遠く諸外国にまで及んでおります。船用もまたいすゞのマークを付し、その名聲を保持して、国内外に多数供給されております。



図は、いすゞDA48MF6VR型  
6気筒80～88馬力(Vドライブ2:1減速)

**DA 78 MF 型 4 気筒 54 馬力**

**DA 48 MF 型 6 気筒 80 馬力**

**DA 48 SMF 型 6 気筒 95 馬力**

減速比率 1.26, 1.58, 2.00, 2.53, 3.15,  
3.88, 4.99, 対1の7種及びVドライブ式  
1.26, 1.58, 2.00 対1の3種があ  
ります。

東京ポート株式会社

東京・銀座・3の2 電話京橋(56)5400番

# CHRONOMETRE DE MARINE GRAND FORMAT



代理店 株式会社 大沢商會

中央区銀座西二ノ五  
電話京橋(56)8351-5

ナルダン マリノクロノメーター

IBM 5541

編集発行人 東京都文京区向ヶ岡町三  
田 岡 健一  
印刷所 東京都千代田区神田金沢町八  
昌平印刷株式会社

本号定価 一五〇円 発行所 天然  
地方定価 一五五円

東京都文京区向ヶ岡町三  
振替 小石川七九五六二番  
電話小石川七九五六二番